



**LATVIJAS UNIVERSITĀTES  
ZINĀTNISKIE RAKSTI**

---

**ACTA UNIVERSITATIS LATVIENSIS**

---

**575**

**МАТЕМАТИСКĀ  
MODELĒŠANA  
МАТЕМАТИЧЕСКОЕ  
МОДЕЛИРОВАНИЕ**

LATVIJAS UNIVERSITĀTE

Fizikas un matemātikas fakultāte  
Diferenciālvienādojumu un tuvināto metožu katedra

MATEMĀTISKĀ MODEĻŠANA.

MATEMĀTISKĀS FIZIKAS LIETISKĀS PROBLĒMAS

Zinātniskie raksti  
575. sējums

Latvijas Universitāte  
Rīga 1992



ЛАТВИЙСКИЙ УНИВЕРСИТЕТ

Физико-математический факультет

Кафедра дифференциальных уравнений и приближенных методов

МАТЕМАТИЧЕСКОЕ МОДЕЛИРОВАНИЕ  
ПРИКЛАДНЫЕ ЗАДАЧИ МАТЕМАТИЧЕСКОЙ ФИЗИКИ

Научные труды  
Том 575

Латвийский университет  
Рига 1992

UNIVERSITY OF LATVIA

Faculty of physics and Mathematics  
Chair of Differential Equations and Numerical Methods

THE MATHEMATICAL SIMULATION,  
APPLIED PROBLEMS OF MATHEMATICAL PHYSICS

Papers of sciences  
575 vol

University of Latvia  
Riga 1902



Matemātiskā modelēšana. Matemātiskās fizikas lietiskās problēmas/ Atb.red. prof. H.Kalis. - Rīga: LŪ, 1992. - 575.sēj. - 150 lpp.

Zinātnisko rakstu krājums ietver Latvijas zinātnieku un augstskolu pasniedzēju un aspirantu zinātniskos darbus, izstrādātus laika periodā no 1991. - 1992. gadam matemātiskajā modelēšanā, risinot dažādas matemātiskās fizikas lietiskās problēmas.

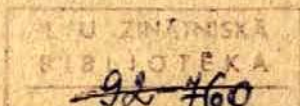
Krājums domāts vecāko kursu studentiem, aspirantiem un zinātniskajiem darbiniekiem.

REDAKCIJAS KOLEĢĻA:

H.Kalis (atb.red), N.Avdopina, A.Buikis, B.Martuzāns



Latvijas  
Universitāte,  
1992



## SATURA RĀDĪTĀJS

N. Avdoņins, H. Kalis. Neizotermiska šķidrums vibrācijas plūsmu skaitliskā analīze.....	11
M. Antimirova, A. Panfjorova. Precīza siltuma daudzuma noteikšana slānim pie siltuma inžekcijas starpfāzu siltumapmaiņas galīgā gadījumā.....	27
A. Buiķis, I. Pegodkina. Mainīgo virzienu metodes izmantošana divu saskarošos slāņu konvektīvās difūzijas problēmas atrisināšanai...	33
M. Buiķis, A. Buiķis. Kubiskā splaina tiešās atkarības izteiksme no interpolējamās funkcijas vērtībām.....	43
A. Buiķis, N. Ulanova. Konservatīvās viduvēšanas metodes pielietojums stūra spgabalā ar plānu slāni .....	47
M. Belovs, L. Stolara, O. Judrups. Plānu cilindrisku čaulu dinamikas asimptotiskie novērtējumi atkarībā no nekustīgi piestiprinātām masām.....	57
A. Cibulis. Par atrisinājuma definēšanas problēmu eliptisku vienādojumu sistēmām ar pārrautām nelinearitātēm.....	69
S. Jušanova. Iekšējie spriegumi monokristālos ar nevienādabīgu sastāvu .....	77
H. Kalis. Lokālās relaksācijas metodes optimālo koeficientu noteikšana siltuma vadīšanas vienādojuma atrisināšanai divslāņu vidē.....	89



A.Reinfelds, H.Zalis, J.F. Iķis. Kāda pārsaules attīstības modeļa kvalitatīva izpēte.....	101
J.Raitums. Par kādu otrās kārtas parasto diferenciālvienādojumu robežproblēmu skaitliskas risināšanas metodi.....	109
I.Volodko. Brīvā MHD siltumkonvekcija pie vertikālās plātes stiprā magnētiskā laukā.....	117
J.Vucāns. Efektīvās termovadītspējas trešās kārtas aproksimācija kvadrātiskai režģveida struktūrai.....	125
A.Zemītis, I.Riekstiņa. Par Galerkina metodes pielietojumu kādas nelineāras problēmas risināšanai.....	133
A.Zemītis. Daži skaitliski eksperimenti ar nelineāru elastīgu materiālu.....	143

## СОДЕРЖАНИЕ

- Авдониин Н.А., Калис Х.Э. Численный анализ вибрационных течений в неизотермической жидкости..... 11
- Антимиров М.Я., Панферова А.А. Точное определение тепло- содержания пласта при тепловой инъекции в случае конечной скорости межфазного тепло- обмена..... 27
- Буйкис А.А., Пагодкина И.Э. Метод переменных направлений для решения диффузионно-конвективной задачи в двух соприкасающихся слоях..... 33
- Буйке М.З., Буйкис А.А. Формула явной зависимости кубического сплайна от значений интерполируемой функции..... 43
- Буйкис А.А., Уланова Н.Л. Применение метода консервативного осреднения для угловой области с тонким слоем..... 47
- Белов М.А., Столярова Л.А., Юдрупс О.М. Асимптотические оценки влияния жёстко прикреплённых грузов на динамику тонкостенной цилиндрической оболочки..... 57
- Цибулис А.Б. К проблеме определения решения для систем эллиптических уравнений с разрывными нелинейностями ..... 69
- Шванов С.П. Внутренние напряжения в монокристаллах с неоднородным составом..... 77
- Калис Х.Э. Определение оптимальных коэффициентов метода локальной релаксации для решения уравнения теплопроводности в двухслойной среде..... 89



Рейнфелд А.А., Калис Х.Э., Рикис Д.Ю. Качественное исследование некоторой модели развития мира.....	101
Райтумс И.У. Об одном алгоритме численного решения краевой задачи для обыкновенного дифференциального уравнения второго порядка.....	109
Володко И.М. Свободная тепловая МГД конвекция около вертикальной пластины в сильном магнитном поле.....	117
Вуцан Я. Аппроксимация третьего порядка для эффективной теплопроводности квадратичной решетчатой структуры.....	125
Земитис А.А., Риекстия И.Т. О применении метода Галеркина для решения одной нелинейной задачи....	133
Земитис А.А. Некоторые численные эксперименты с нелинейным эластичным материалом.....	143

## CONTENTS

- N. Avdonin, H. Kalis. Numerical analysis of vibrational flows of incompressible viscous fluid..... 11
- M. Antimirov, A. Panferova. An exact determination of heat contents of the stratum under thermal injection in the case finite heat transfer between the faces..... 27
- A. Buikis, I. Pogodkina. Die anwertung der methode der veränderlichen richtungen für die lösung des konvektions-Diffusions problems im zweischichtigen gebiet..... 33
- M. Buike, A. Buikis. Eine explizite representationsformel für kubischer spline, die nur alle der interpolierenden funktion enthält..... 43
- A. Buikis, N. Ulanova. The application of the conserved averaging method for the angular region with thin layer..... 47
- M. Belov, L. Stolarova, O. Judrup. The asymptotic estimations of the firmly fixed loads influence on thin-walled cylindrical shell dynamics.... 57
- A. Cibulis. To the problem of the definition of solution for systems of elliptic equations with discontinuous nonlinearities.....69
- S. Jushanov. Inner stresses in inhomogeneous crystals.... 77
- H. Kalis. On obtaining optimal coefficients of local relaxation method for solving heat transfer equation in two-layer medium.....89



- A.Reinfelds, H.Kalis, J.Kriks. Qualitative investigation of some world evolution model.... 101
- I.Raitums. An algorithm for numerical solution of boundary value problems for second order ordinary differential equations..... 109
- I.Volodko. Natural mhd convection near a vertical plate in a strong magnetic field..... 117
- J.Vucāns. Approximation of the third order to effective thermoconductivity of the quadratic lattice structure..... 125
- A.Zemītis, I.Riekstina. The application of Galerkin method for solution of one nonlinear problem..... 133
- A.Zemītis. Some numerical experiments with nonlinear elastic material..... 143

Н.А.Авдонин, Х.Э.Калис  
Латвийский университет

ЧИСЛЕННЫЙ АНАЛИЗ ВИБРАЦИОННЫХ ТЕЧЕНИЙ  
В НЕИЗОТЕРМИЧЕСКОЙ ЖИДКОСТИ

В работе /1/ была предложена осредненная модель гидродинамики, описывающая вторичные течения в жидкости, возникающие под влиянием вибрирующего твердого тела. Численные расчеты по осредненной модели были сопоставлены с результатами эксперимента, проведенного на модельной жидкости вода-глицерин, и дали хорошее совпадение /1/, см. рис.1.

В настоящей работе проведен анализ гидродинамических потоков в неизотермической жидкости в сосуде с радиусом  $R$  при наличии в ней вибрирующего твердого тела с радиусом  $r_0$  и с высотой  $H = Z - Z_0$ , рис.2. Анализ будем проводить на конкретном случае высокотемпературного расплава и кристалла  $\Gamma_4, \Gamma_5$ , погруженного в расплав. Кристалл вибрирует в вертикальном направлении с частотой  $\omega$  и амплитудой  $a$ . Вначале опишем метод расчета и примененные разностные схемы, затем приведем анализ взаимодействия вибрационной и естественной конвекции.

1. Уравнения гидродинамики для вязкой несжимаемой жидкости в переменных скорости после осреднения остаются неизменными и для цилиндрической системы координат имеют вид (знак осреднения опущен):

$$\frac{\partial v_r}{\partial t} + v_r \frac{\partial v_r}{\partial r} + v_z \frac{\partial v_r}{\partial z} = -\frac{\partial p}{\partial r} + \nu \left( \frac{\partial}{\partial r} \left( \frac{1}{r} \frac{\partial}{\partial r} (r v_r) \right) + \frac{\partial^2 v_r}{\partial z^2} \right), \quad (1)$$

$$\frac{\partial v_z}{\partial t} + v_r \frac{\partial v_z}{\partial r} + v_z \frac{\partial v_z}{\partial z} = -\frac{\partial p}{\partial z} + \nu \left( \frac{\partial^2 v_z}{\partial z^2} + \frac{1}{r} \frac{\partial}{\partial r} \left( r \frac{\partial v_z}{\partial r} \right) \right) + g\beta(T-T_0), \quad (2)$$

$$\frac{1}{r} \frac{\partial (r v_r)}{\partial r} + \frac{\partial v_z}{\partial z} = 0, \quad (3)$$



где  $V_r, V_z$  - составляющие скорости,  $p, T, T_0$  - давление, температура среды и температура равновесия,  $g, \nu, \beta$  - коэффициенты ускорения свободного падения, кинематической вязкости, объемного расширения.

Однако на поверхности вибрирующего тела ( $\Gamma_5$ ) вместо условий прилипания должны выполняться следующие условия третьего рода [1]:

$$\nu \frac{\partial V_r}{\partial z} = -\nu \delta^{-1} V_r + \frac{4}{3} \omega^2 \delta^{-1} \omega^2 u^2 r, \quad V_z = 0 \quad (z = z_0, 0 < r < r_0), \quad (4)$$

где  $\delta = (2\nu/\omega)^{1/2}$ .

На остальных границах области ( $\Gamma_1, \Gamma_2, \Gamma_4$ ) выполняются обычные условия прилипания или условия на свободной поверхности жидкости ( $\Gamma_3$ ).

Уравнение теплопроводности

$$C_p \rho \frac{\partial T}{\partial t} = \lambda \frac{\partial}{\partial r} \left( r \frac{\partial T}{\partial r} \right) + \lambda \frac{\partial^2 T}{\partial z^2} - C_p \rho (V_z \frac{\partial T}{\partial z} + V_r \frac{\partial T}{\partial r}) \quad (5)$$

справедливо как в расплаве, так и в кристалле ( $V_r = V_z = 0$ ), где  $\lambda, C_p, \rho$  - соответствующие коэффициенты теплопроводности, теплоемкости и плотности. Для  $T$  на границах  $\Gamma_1, \Gamma_2, \Gamma_3$  ставится условие 3-го рода

$$-\lambda \partial T / \partial n = \alpha (T - T_B), \quad (6)$$

где  $n$  - внешняя нормаль к границе,  $\alpha$  - коэффициенты теплоотдачи,  $T_B$  - внешняя температура.

Уравнение неразрывности (3) выполняется автоматически, если  $V_r = -\frac{1}{r} \frac{\partial \psi}{\partial z}$ ,  $V_z = \frac{1}{r} \frac{\partial \psi}{\partial r}$ , где  $\psi$  - функция тока жидкости. Если без функции тока  $\psi$  ввести еще нормированную функцию вихря  $u = \text{rot}_\theta \vec{v} / r$  ( $\text{rot}_\theta \vec{v}$  - функция завихренности), то из (1-3) следует система уравнений

$$\frac{\partial u}{\partial t} = \frac{\nu}{r^3} \frac{\partial}{\partial r} \left( r^3 \frac{\partial u}{\partial r} \right) - V_r \frac{\partial u}{\partial r} + \nu \frac{\partial^2 u}{\partial z^2} - V_z \frac{\partial u}{\partial z} - \frac{\beta g}{r} \frac{\partial T}{\partial r} \quad (7)$$

$$\frac{1}{r} \frac{\partial^2 \psi}{\partial z^2} + \frac{\partial}{\partial r} \left( \frac{1}{r} \frac{\partial \psi}{\partial r} \right) = -ru. \quad (8)$$

Уравнение (8) аппроксимируется на основной неравномерной сетке  $W_h$  с узлами  $(r_i, z_j)$ ,  $i = \overline{1, N+1}$ ,  $j = \overline{1, M+1}$ , симметрическими разностным уравнениями [2]

$$a_{i+1,j}(\Psi_{i+1,j} - \Psi_{i,j}) - a_{i,j}(\Psi_{i,j} - \Psi_{i-1,j}) + b_{i,j+1}(\Psi_{i,j+1} - \Psi_{i,j}) - b_{i,j}(\Psi_{i,j} - \Psi_{i,j-1}) = -r_i u_{i,j} \tilde{h}_i g_j, \quad i = \overline{2, N}, j = \overline{2, M}, \quad (9)$$

где  $a_{i,j} = \frac{1}{r_{i-0,5}} \frac{g_j}{h_i}$ ,  $b_{i,j} = \frac{1}{r_i} \frac{h_i}{g_j}$ ,  $a_{i+1,j} = \frac{1}{r_{i+0,5}} \frac{g_j}{h_{i+1}}$ ,  
 $b_{i,j+1} = \frac{1}{r_i} \frac{h_i}{g_{j+1}}$ ,  $h_i = r_i - r_{i-1}$ ,  $g_j = z_j - z_{j-1}$ ,  
 $\tilde{g}_j = 0,5(g_{j+1} + g_j)$ ,  $\tilde{h}_i = 0,5(h_{i+1} + h_i)$ ,  $r_1 = 0$ ,  $r_{N+1} = R$ ,  
 $r_{i+0,5} = r_i + h_{i+1}/2$ ,  $r_{i-0,5} = r_i - h_i/2$ ,  $z_{M+1} = Z$ ,  $z_{NN} = z_0$ ,  
 $z_1 = r$ ,  $r_{NN} = r_0$ .

Уравнение (1) аппроксимируется на сдвинутой на полшага относительно основной сетки  $W_h$  сетке  $W_{h/2}$  с узлами

$$(r_{i+0,5}, z_{j+0,5}) \quad i = \overline{1, N}, \quad j = \overline{1, M},$$

причем для составляющих вектора скорости следуют выражения:

$$(v_r)_{i,j+0,5} = -\frac{1}{r_i g_{j+1}} (\Psi_{i,j+1} - \Psi_{i,j}), \quad i = \overline{1, N+1}, \quad j = \overline{1, M},$$

$$(v_z)_{i+0,5,j} = \frac{1}{r_{i+0,5} h_{i+1}} (\Psi_{i+1,j} - \Psi_{i,j}), \quad i = \overline{1, N}, \quad j = \overline{1, M+1}. \quad (10)$$

Для разностной аппроксимации по пространству уравнения (1) используется монотонная разностная схема вида [3,4]

$$\tilde{g}_j \tilde{h}_i \left( \frac{\partial u}{\partial t} \right)_{i,j} = B_{i,j}^{(1)} (u_{i+1,j} - u_{i,j}) - A_{i,j}^{(1)} (u_{i,j} - u_{i-1,j}) + B_{i,j}^{(2)} (u_{i,j+1} - u_{i,j}) - A_{i,j}^{(2)} (u_{i,j} - u_{i,j-1}) - Q_{i,j} u_{i,j} + F_{i,j}, \quad i = \overline{1, N}, \quad j = \overline{1, M}, \quad (11)$$



где

$$\begin{aligned}
 B_{ij}^{(1)} &= \nu \frac{r_{i+1}^3}{r_{i+0,5}^3} \frac{\tilde{g}_j}{h_i^+} S((v_r)_{i+0,5,j} h_i^+ / \nu), \quad A_{ij}^{(1)} = \nu \frac{r_i^3}{r_{i-0,5}^3} \frac{\tilde{g}_j}{h_i^-} \cdot \\
 &\cdot S(-(v_r)_{i-0,5,j} h_i^- / \nu), \quad B_{ij}^{(2)} = \nu \frac{\tilde{h}_i}{g_j^+} S((v_z)_{i,j+0,5} g_j^+ / \nu), \\
 A_{ij}^{(2)} &= \nu \frac{\tilde{h}_i}{g_j^-} S(-(v_z)_{i,j-0,5} g_j^- / \nu), \quad S(z) = z / (e^z - 1), \\
 F_{ij} &= -\frac{\beta g}{r_{i+0,5}} \left( \frac{\partial T}{\partial r} \right)_{ij} \tilde{g}_j \tilde{h}_i, \quad h_i^+ = r_{i+1,5} - r_{i+0,5}, \\
 h_i^- &= r_{i+0,5} - r_{i-0,5}, \quad g_j^+ = z_{j+1,5} - z_{j+0,5}, \quad g_j^- = z_{j+0,5} - \\
 &- z_{j-0,5}, \quad \tilde{h}_i = 0,5(h_i^+ + h_i^-) = h_{i+1}, \quad \tilde{g}_j = 0,5(g_j^+ + g_j^-) = g_{j+1}, \\
 Q_{ij} &= 0, \quad u_{ij} = u(t, r_{i+0,5}, z_{j+0,5}), \dots
 \end{aligned}$$

Для уравнения теплопроводности (5) монотонная аппроксимация на сетки  $W^{h/2}$  имеет вид:

$$\begin{aligned}
 \tilde{g}_j \tilde{h}_i (c_p \rho \frac{\partial T}{\partial t})_{ij} &= \tilde{B}_{ij}^{(1)} (T_{i+1,j} - T_{i,j}) - \tilde{A}_{ij}^{(1)} (T_{i,j} - T_{i-1,j}) + \\
 &+ \tilde{B}_{ij}^{(2)} (T_{i,j+1} - T_{i,j}) - \tilde{A}_{ij}^{(2)} (T_{i,j} - T_{i,j-1}) - \tilde{Q}_{ij} T_{ij} + \tilde{F}_{ij}, \quad (12) \\
 & \quad i = 1, N, \quad j = 1, M
 \end{aligned}$$

где

$$\begin{aligned}
 \tilde{B}_{ij}^{(1)} &= \lambda \frac{r_{i+1}}{r_{i+0,5}} \frac{\tilde{g}_j}{h_i^+} S((\tilde{v}_r)_{i+0,5,j} h_i^+ / \lambda), \\
 \tilde{A}_{ij}^{(1)} &= \lambda \frac{r_i}{r_{i-0,5}} \frac{\tilde{g}_j}{h_i^-} S(-(\tilde{v}_r)_{i-0,5,j} h_i^- / \lambda), \\
 \tilde{B}_{ij}^{(2)} &= \lambda \frac{\tilde{h}_i}{g_j^+} S((\tilde{v}_z)_{i,j+0,5} g_j^+ / \lambda), \quad \tilde{A}_{ij}^{(2)} = \lambda \frac{\tilde{h}_i}{g_j^-} S(-(\tilde{v}_z)_{i,j-0,5} g_j^- / \lambda), \\
 \tilde{Q}_{ij} &= \tilde{F}_{ij} = 0, \quad \tilde{v}_r = v_r c_p \rho, \quad \tilde{v}_z = v_z c_p \rho, \\
 T_{ij} &= T(t, r_{i+0,5}, z_{j+0,5}), \dots
 \end{aligned}$$

С учетом определения функции вихря  $u$ , граничное условие (4) имеет вид ( $\Gamma_5$ )

$$\psi = 0, \quad u = -\delta^{-1} \left( r^{-1} v_r - \frac{4}{8} \pi a^2 \omega^2 r / \nu \right), \quad (13)$$

где 
$$\left( v_r \right) \Big|_{\Gamma_5} = r_{i+0,5}^{-1} (\psi_{i+1, NN-1} + \psi_{i, NN-1}) / (2g_{NN}),$$
  

$$i = \overline{1, NN-1}.$$

Так как граница расчетной области находится между узловыми линиями сетки  $W/2$ , то для граничного условия (6) имеем, например, на  $\Gamma_x$  следующую аппроксимацию:

$$T_{N+1, j} = T_{N, j} - r_{N, j} (T_{N, j} - T_B), \quad (14)$$

где 
$$r_{N, j} = 1 / (0,5 + \lambda / (\alpha h_N^+)), \quad j = \overline{1, M}.$$

Для монотонной аппроксимации необходимо выполнение условия

$$T_{N, j} \geq T_{N+1, j} \geq T_B \quad \text{или} \quad T_{N, j} \leq T_{N+1, j} \leq T_B,$$

т.е.

$$0 \leq r_{N, j} \leq 1 \quad \text{или} \quad \frac{\lambda}{\alpha h_N^+} \geq \frac{1}{2}.$$

Аналогично аппроксимируется температура в приграничных узлах около границ  $\Gamma_3, \Gamma_1$ .

На оси симметрии  $\Gamma_6$ :  $\partial u / \partial r = \partial T / \partial r = 0$  или

$$T_{0, j} = T_{1, j}, \quad u_{0, j} = u_{1, j}, \quad j = \overline{1, M}.$$

Функция тока  $\psi$  на границе равна нулю. На свободной поверхности  $\Gamma_3$ :  $u = 0$ .

Для аппроксимации функции вихря  $u$  на твердой границе используются условия типа Вудса или Тома [5].

На горизонтальных границах  $\Gamma_1, \Gamma_5$  из уравнения (5) с учетом условий прилипания  $\partial \psi / \partial z = 0$  и непротекания  $\psi = 0$  следует:



$$-r^2 u_s = \frac{\partial^2 \psi}{\partial z^2} \Big|_s, \quad -r^2 \frac{\partial u}{\partial z} \Big|_s = \frac{\partial^3 \psi}{\partial z^3} \Big|_s,$$

а из разложения ряда Тейлора:

$$\begin{aligned} \psi_{s1} &= \frac{h^2}{2} \frac{\partial^2 \psi}{\partial z^2} \Big|_s \pm \frac{h^3}{6} \frac{\partial^3 \psi}{\partial z^3} \Big|_s + O(h^4) = \\ &= -\frac{h^2 r^2}{2} u_s \pm \frac{h^3}{6} (-r^2 \frac{\partial u}{\partial z} \Big|_s) + O(h^4) = \\ &= -\frac{h^2 r^2}{2} u_s - \frac{h^3 r^2}{6} \frac{u_{s1} - u_s}{h/2} + O(h^4) = \\ &= -\frac{h^2 r^2}{6} u_s - \frac{h^2 r^2}{3} u_{s1} + O(h^4), \end{aligned}$$

$$\text{т.е. } u_s = -\frac{6}{h^2 r^2} \psi_{s1} - 2u_{s1} + O(h^5), \quad (15)$$

$$\text{Здесь использована формула } \frac{\partial u}{\partial z} \Big|_s = \pm \frac{u_{s1} - u_s}{h/2} + O(h),$$

индексом  $S$  обозначаются величины на твердой границе, а  $S1$  - на ближайшей узловой линии к границе, знак  $+$  относится к нижней стенке  $\Gamma_1$ , а  $-$  - верхней  $\Gamma_5, \Gamma_3$ ;  $h$  - расстояние между узловыми линиями около границы на сетке  $W_h$ .

На вертикальных стенках  $\Gamma_2, \Gamma_4$  из уравнения (8)

с учетом  $\frac{\partial \psi}{\partial r} \Big|_s = \psi_s = 0$  следует:

$$-r^2 u_s = \frac{\partial^2 \psi}{\partial r^2} \Big|_s, \quad -2ru_s - r^2 \frac{\partial u}{\partial r} \Big|_s = \frac{\partial^3 \psi}{\partial r^3} \Big|_s - \frac{1}{r} \frac{\partial^2 \psi}{\partial r^2} \Big|_s,$$

$$\begin{aligned} \text{т.е. } \psi_{s1} &= \frac{h^2}{2} \frac{\partial^2 \psi}{\partial r^2} \Big|_s \pm \frac{h^3}{6} \frac{\partial^3 \psi}{\partial r^3} \Big|_s + O(h^4) = \\ &= -\frac{h^2 r^2}{2} u_s \pm \frac{h^3}{6} (-2ru_s - r^2 \frac{\partial u}{\partial r} \Big|_s - ru_s) + O(h^4) = \\ &= -\frac{h^2 r^2}{2} u_s \pm \frac{h^3}{6} (-3ru_s \mp r^2 \frac{u_{s1} - u_s}{h/2}) + O(h^4) = \\ &= -\frac{h^2 r^2}{6} u_s \mp \frac{h^3 r}{2} u_s - \frac{h^2 r^2}{3} u_{s1} + O(h^4) \end{aligned}$$

$$\text{или } u_s = -\frac{6}{h^2 r^2} \psi_{s1} / (1 \pm 3h/r) - \frac{4}{1 \pm 3h/r} \frac{u_{s1}}{2} + O(h^2),$$

где знак  $+$  относится к левой стенке  $\Gamma_4$ , а  $-$  к правой -  $\Gamma_2$ . (16)

При использовании условий типа Тома на стенках имеем

$$\psi_{s1} = -\frac{\hbar^2 r^2}{2} u_s + O(\hbar^3)$$

или 
$$u_s = -\frac{2}{\hbar^2 r^2} \psi_{s1} + O(\hbar) \quad (17)$$

Формально условие Тома (17) имеет первый порядок точности, но практически - второй /5/.

Так как разностные уравнения (II) выписаны на сетке  $(h/2)$ , то около границы используются следующие поправки в коэффициентах разностных уравнений:

1) на  $\Gamma_1 (j=1, i=1, N)$  с учетом (15), (17):

$$u_{i,0} = 2u_s - u_{i,1} = 2K_i - (4\mathcal{J}+1)u_{i,1},$$

$$-A_{i,1}^{(2)}(u_{i,1} - u_{i,0}) = -A_{i,1}^{(2)}[(4\mathcal{J}+2)u_{i,1} - 2K_i],$$

т.е. в (II) при  $j=1$  появляется член с  $Q_{i,1} = A_{i,1}^{(2)}(4\mathcal{J}+2)$ , а в правой части к  $\bar{F}_{i,j}$  прибавляется  $2A_{i,1}^{(2)}K_i$ , где  $K_i$  - слагаемое, содержащее  $\psi_{s1}$  в граничных условиях (15), (17), а  $\mathcal{J}=0$  - для условий Тома (17),  $\mathcal{J}=1$  - для условий Вудса (15);

2) на  $\Gamma_2 (i=N, j=1, M)$  с учетом (16), (17):

$$u_{N+1,j} = 2u_s - u_{N,j} = 2K_j - (4\mathcal{J}+1)u_{N,j}/(1-3\hbar/r),$$

$$B_{N,j}^{(1)}(u_{N+1,j} - u_{N,j}) = 2K_j B_{N,j}^{(1)} -$$

$$-B_{N,j}^{(1)} u_{N,j} (4\mathcal{J}+2)/(1-3\hbar/r),$$

т.е. в (II) при  $i=N$  появляется член

$Q_{N,j} = B_{N,j}^{(1)}(4\mathcal{J}+2)/(1-3\hbar/r)$ , а в правой части к  $\bar{F}_{i,j}$  прибавляется  $2B_{N,j}^{(1)}K_j$ , где  $K_j$  - слагаемое, содержащее  $\psi_{s1}$  в (16), (17);



3) на  $\Gamma_3 (j=M, i=\overline{NM, N})$  с учетом  $u=0$ :

$$u_{i, M+1} = -u_{i, M}$$

$$B_{i, M}^{(2)} (u_{i, M+1} - u_{i, M}) = -2 B_{i, M}^{(2)} u_{i, M},$$

т.е. в (II)  $Q_{i, M} = 2 B_{i, M}^{(2)}$ ;

4) на  $\Gamma_4 (i=NM, j=\overline{MN, M})$  с учетом (16), (17):

$$u_{NM-1, j} = 2u_s - u_{NM, j} = 2K_j - (4\mathcal{F}/(1+3h/r)+1) \cdot u_{NM, j},$$

$$-A_{NM, j}^{(1)} (u_{NM, j} - u_{NM-1, j}) = 2K_j A_{NM, j}^{(1)} - A_{NM}^{(1)} (4\mathcal{F}/(1+3h/r)+2) u_{NM, j},$$

т.е. в (II) при  $i=NM$

$$Q_{i, j} = A_{i, j}^{(1)} ((4\mathcal{F}+2)/(1+3h/r)+2),$$

а к  $F_{i, j}$  прибавляется  $2K_j A_{i, j}^{(1)}$ ;

5) на  $\Gamma_5 (j=MN-1, i=\overline{1, NM-1})$  с учетом (13):

$$u_{i, MN} = 2u_s - u_{i, j} = 2K_i - u_{i, j},$$

$$B_{i, j}^{(2)} (u_{i, j+1} - u_{i, j}) = -2B_{i, j}^{(2)} u_{i, j} + 2K_i B_{i, j}^{(2)},$$

т.е. в (II) при  $j=MN-1$  имеем

$$Q_{i, j} = 2B_{i, j}^{(2)},$$

а к  $F_{i, j}$  прибавляется  $2K_i B_{i, j}^{(2)}$ ,

где  $K_i$  - правая часть выражения (13);

если граница  $\Gamma_5$  не вибрирует, то с учетом (15), (17):

$$u_{i, MN} = 2u_s - u_{ij} = 2K_i - (4j+1)u_{ij},$$

$$B_{ij}^{(2)}(u_{i, j+1} - u_{ij}) = 2B_{ij}^{(2)}K_i - B_{ij}^{(2)}(4j+2)u_{ij},$$

т.е. в (II) при  $j = MN - 1$ ,

$$Q_{ij} = B_{ij}^{(2)}(4j+2), \quad \text{а к } F_{ij} \text{ прибавляется слагаемое } 2B_{ij}^{(2)}K_i.$$

б) на  $\Gamma_6$  ( $i=1, j=\overline{1, M}$ ) с учетом условий симметрии

$$u_{0j} = u_{1j}, \quad \text{т.е. из условия}$$

$$-A_{1j}^{(1)}(u_{1j} - u_{0j}) = 0 \quad \text{следует, что}$$

$$A_{1j}^{(1)} = 0.$$

Аналогично ставятся граничные условия для температуры. Например, на границе  $\Gamma_2$  из (I2), (I4) следует, что при  $i=N$

$$\tilde{B}_{Nj}^{(2)}(T_{i+1, j} - T_{ij}) = -r_{Nj} \tilde{B}_{Nj}^{(2)}(T_{Nj} - T_B),$$

т.е. в уравнениях (I2) при  $i=N$  появляется член

$$\tilde{Q}_{ij} = r_{Nj} \tilde{B}_{Nj}^{(2)}, \quad \text{а в правой части к } \tilde{F}_{ij} \text{ прибавляется слагаемое } r_{Nj} \tilde{B}_{Nj}^{(2)} T_B.$$

На других границах:

$$1) \quad (j=1)$$

$$T_{i, 0} - T_{i, 1} = r_{i, 1}(T_{i, 1} - T_B), \quad r_{i, 1} = 1/(0,5 + \lambda/(2g_{i, 1})),$$

$$-\tilde{A}_{i, 1}^{(2)}(T_{i, 1} - T_{i, 0}) = -r_{i, 1} \tilde{A}_{i, 1}^{(2)}(T_{i, 1} - T_B),$$

т.е. в уравнениях (I2)

$$\tilde{Q}_{ij} = r_{i, 1} \tilde{A}_{i, 1}^{(2)}, \quad \tilde{F}_{ij} = r_{i, 1} \tilde{A}_{i, 1}^{(2)} T_B;$$

$$2) \quad \Gamma_3 \quad (j=M)$$



$$T_{i,M+1} - T_{i,M} = -r_{i,M} (T_{i,M} - T_B), \quad r_{i,M} = 1 / (0,5 + \lambda / (\alpha \beta_M^+)),$$

$$\tilde{B}_{i,M}^{(2)} (T_{i,M+1} - T_{i,M}) = -r_{i,M} \tilde{B}_{i,M}^{(2)} (T_{i,M} - T_B),$$

т.е. в (I2) имеем

$$\tilde{Q}_{i,j} = r_{i,M} \tilde{B}_{i,M}^{(2)}, \quad \tilde{F}_{i,j} = r_{i,M} \tilde{B}_{i,M}^{(2)} T_B,$$

3)  $T_6 (i=1)$ ,  $T_{0,j} = T_{1,j}$ , что выполняется автоматически, так как

$$\tilde{A}_{1,j}^{(1)} = 0.$$

Для аппроксимации производной  $(\partial T / \partial r)_{i,j}$  в правой части (II) на сетке  $h/2$  используется разностная формула второго порядка точности

$$\left(\frac{\partial T}{\partial r}\right)_{i,j} = \left( \frac{h_i^-}{h_i^-} (T_{i+1,j} - T_{i,j}) + \frac{h_i^+}{h_i^-} (T_{i,j} - T_{i-1,j}) \right) / (h_i^+ + h_i^-). \quad (18)$$

Для вычисления функций  $S(z)$ ,  $S(-z)$  используется степенная аппроксимация [3/

$$S(z) = S(|z|) + \max(-z, 0), \quad S(-z) = S(|z|) + \max(z, 0),$$

где

$$S(|z|) = \max(0, (1 - 0,1|z|)^5).$$

Разностные схемы имеют по крайней мере второй порядок аппроксимации и монотонны, т.к.

$$\begin{aligned} A_{i,j}^{(1)} > 0, \quad B_{i,j}^{(1)} > 0, \quad A_{i,j}^{(2)} > 0, \quad B_{i,j}^{(2)} > 0, \quad Q_{i,j} \geq 0, \\ \tilde{A}_{i,j}^{(1)} > 0, \quad \tilde{B}_{i,j}^{(1)} > 0, \quad \tilde{A}_{i,j}^{(2)} > 0, \quad \tilde{B}_{i,j}^{(2)} > 0, \quad \tilde{Q}_{i,j} \geq 0, \\ a_{i,j} > 0, \quad b_{i,j} > 0. \end{aligned}$$

При аппроксимации уравнений по времени используется односторонние разности, т.е.  $(\partial u / \partial t)_{i,j} \approx (u_{i,j} - u_{i,j}^{\tau}) / \tau$ ,

$$(\partial T / \partial t)_{i,j} \approx (T_{i,j} - T_{i,j}^{\tau}) / \tau,$$

где  $u, T$  - значения  $u, T$  на предыдущем слое времени.

$\tau$  - шаг по времени.

На текущем слое времени разностные уравнения (11), (12) реализованы методом релаксации, а разностные уравнения (9) решались методом Холецкого [2]. Начальные условия:  $u = 0$ ,  $T = 1500 \text{ C}^\circ$ .

Параметры задачи:  $Z = K = 6 \text{ см}$ ,  $Z_0 = 3,9 \text{ см}$ ,  $r_0 = 3 \text{ см}$ ,  $\nu = 14$ ;  $0,36$ ,  $\beta C_p = 1,2$ ;  $\beta g = 0,1$ ,  $\lambda = 0,4$ .

Параметры сетки:  $N = M = 22$ .

Сетка почти равномерная, за исключением узловых линий в окрестности  $j = MN$  и  $l = NM$ , где шаги сетки для трех узловых линий в 2 раза меньше, чем остальные.  $\tau = 0,05$ ,

на  $\Gamma_1$ :  $\alpha = 1$ ,  $T_B = 1500 \text{ C}^\circ$ ,

на  $\Gamma_2$ :  $\alpha = 1$ ,  $T_B = 1500 - K Z_j$ ,  $j = \overline{1, M+1}$ ,  $K = 20 \text{ C}^\circ$ ,

на  $\Gamma_3$ :  $\alpha = 1$ ,  $T_B = 500 \text{ C}^\circ$ .

Узлы разностной сетки  $W_k$  расположены следующим образом:

$r = 0; 0,3; 0,6; 0,9; 1,2; 1,5; 1,8; 2,1; 2,4; 2,7; 2,85;$   
 $3,0; 3,15; 3,3; 3,6; 3,9; 4,2; 4,5; 4,8; 5,1; 5,4; 5,7; 6,0$ ,

$Z = 0; 0,3; 0,6; 0,9; 1,2; 1,5; 1,8; 2,1; 2,4; 2,7; 3,0;$   
 $3,3; 3,6; 3,75; 3,9; 4,05; 4,2; 4,5; 4,8; 5,1; 5,4; 5,7; 6,0$ .

Сходимость метода установления для расчета гидродинамической задачи быстрая (примерно 20 итерационных циклов), но для совместного расчета с учетом температуры — умеренная (около 200 итераций), причем условия типа Булса более точные. Для ускорения сходимости метода необходимо применять монотонные векторно-разностные схемы [4].

2. Приведем результаты расчетов для различных температурных режимов на стенках сосуда и различных значениях вибрационных параметров  $\alpha$  и  $\omega$ .

рис.3 приведена картина *линий* тока вторичного вихревого течения в изотермической жидкости. Как видно, картина течения хорошо согласуется с течением на модельной жидкости (рис.1).

На рис.4 приводятся расчетная картина температурного течения без вибрации.

На рис.5 приведена картина течения при вибрационных параметрах:  $\omega = 50 \text{ М}$ ,  $\alpha = 100$  Кж в изотермической жидкости при перепаде температуры по стенкам типа  $K = 20 \text{ C}^\circ$ .



Вибрационный поток вытеснет поток естественной конвекции из под кристалла, однако интенсивность потока естественной конвекции остается значительной.

На рис.6 приведена картина течения при усиленных параметрах вибрации  $\omega = 150$  Гц,  $\alpha = 100$  КК и при тех же тепловых параметрах. Как видно, вибрационный поток становится преобладающим. Конвективный вихрь малой интенсивности наблюдается на дне сосуда. При дальнейшем увеличении вибрационных параметров конвективные потоки практически полностью подавляются.

Полученные результаты могут иметь существенное значение для технологии выращивания монокристаллов из расплава, когда необходимо устранить отрицательное влияние естественной конвекции на качество монокристалла.

#### СПИСОК ЛИТЕРАТУРЫ

1. Авдонин Н.А., Юлис Х.Э. Анализ вторичных течений в жидкости вблизи вибрирующей поверхности // Сб. научных трудов "Прикладные задачи математической физики". - ЛГУ: Рига, 1989. - 4-17 с.
2. Самарский А.А., Николаев Е.С. Методы решения сеточных уравнений. - М.: Наука, 1978. - 591 с.
3. Патанкар С. Численные методы решения задач теплообмена и динамики жидкости. - М.: Энергоатомиздат, 1984. - 151 с.
4. Юлис Х.Э. Специальные разностные схемы решения краевых задач математической физики // Электронное моделирование. - Киев. - Т.8. - № 3. - 1986. - С. 78-83.
5. Роуч П. Вычислительная гидродинамика. - М.: Мир, 1980. - 616 с.

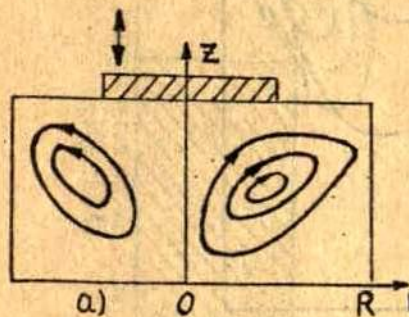


Рис.1. Возникновение вторичного  
вибрационного потока в жидкости:  
а) экспериментальные данные;  
б) расчетные уровни линий тока.

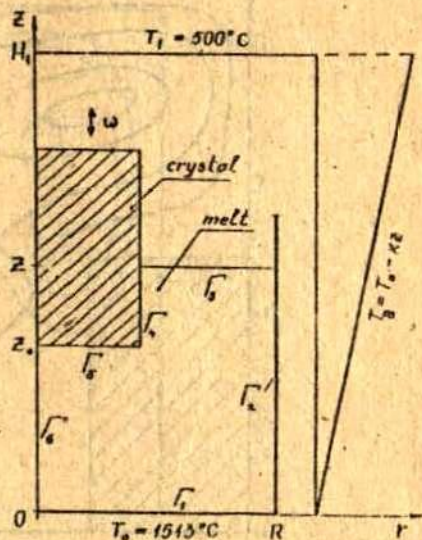


Рис.2. Схема установки.



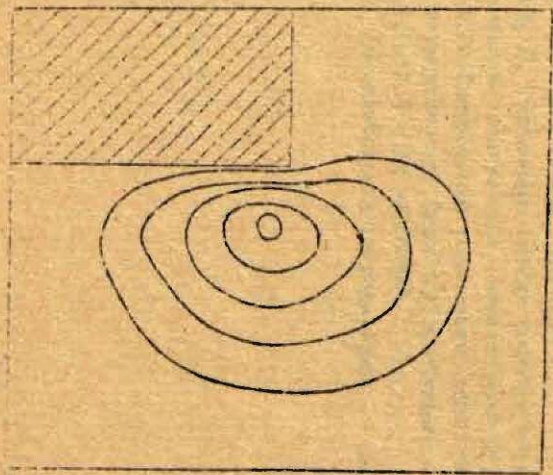


Рис. 3. Поток вращающейся системы; линии тока:  $\Delta T = 0$ ;  
 $\omega = 0.1$ ;  $\alpha = 10^{-3}$   $\mu$ .

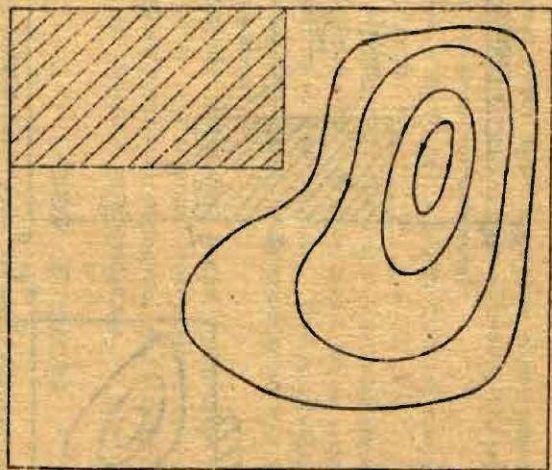


Рис. 4. Поток вращающейся конвекции:  $\Delta T = 20^\circ \text{C}$ ;  
 $\omega = 0$ ;  $\alpha = 0$ .

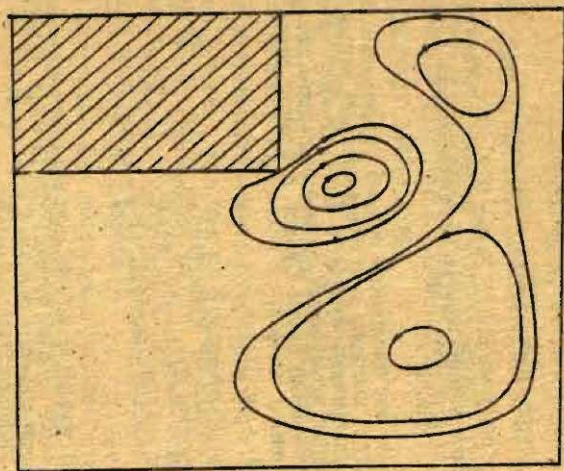
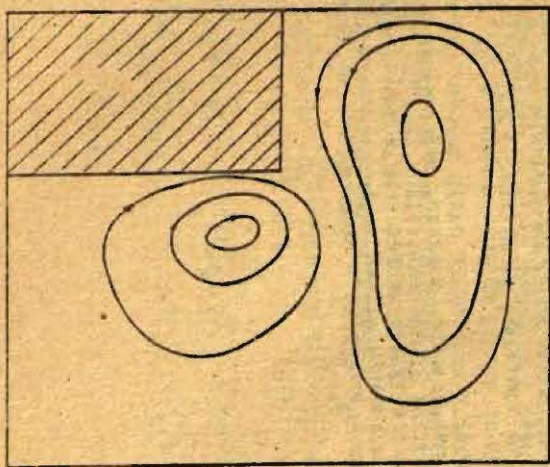


Рис. 4. Линии тока при вибрациях и естественной конвекции:  $\Delta T = 20^\circ\text{C}$ ;  $\omega = 70$  Гц;  $a = 100 \mu$ .

Рис. 5. Линии тока:  $\Delta T = 20^\circ\text{C}$ ;  $\omega = 150$  Гц;  $a = 100 \mu$ .



УДК 537.84:669.713.7

ЧИСЛЕННЫЙ АНАЛИЗ ВИБРАЦИОННЫХ ТЕЧЕНИЙ В НЕИЗОТЕРМИЧЕСКОЙ ЖИДКОСТИ. Авдонин Н.А., Калис Х.Э. // Математическое моделирование. Прикладные задачи математической физики. - Рига: ЛУ, 1992. - Вып.3.

В работе проведен численный анализ гидродинамических потоков несжимаемой, вязкой, неизотермической жидкости при наличии в ней вибрирующего твердого тела. Анализ проведен на основе применения монотонных разностных схем для расчета полной системы уравнений Навье-Стокса с учетом термогравитационной конвекции.

Библ. 5 назв.

NUMERICAL ANALYSIS OF VIBRATIONAL FLOWS OF INCOMPRESSIBLE VISCOUS FLUID. Avdonin N., Kalis H. // The mathematical modelling. Applied problems of mathematical physics. Riga: LU, 1992. - vol.3.

The numerical analysis of the hydrodynamical flow of viscous incompressible nonisothermal fluid with vibrating solid body is carried out. The analysis is based on monotone difference schemes for calculation of the full system of Navje-Stoksa equations with taking into account the thermogravitational convection.

Bib. 5.

NEIZOTERMISKA ŠĪDRUMA VIBRĀCIJAS PLŪSMU SKAITLISKA ANALĪZE. Avdonins N., Kalis H. // Matemātiskā modelēšana. Matemātiskās fizikas lietiskās problēmas. - Rīga: LĪ, 1992. - 3. sēj.

Darbā veikta nesaspiežama viskoza, neizotermiska šķidrums hidrodinamiskās plūsmu skaitliskā analīze atkarībā no cietā ķermeņa vibrācijas. Analīze pamatojas uz monotonu diferencu shēmu izmantošanu pilnās Navje-Stoksa vienādojumu sistēmas aprēķināšanā, ievērojot termogravitācijas konvekciju.

Bibl. 5 nos.

ТОЧНОЕ ОПРЕДЕЛЕНИЕ ТЕПЛОСОДЕРЖАНИЯ ПЛАСТА ПРИ  
ТЕПЛОВОЙ ИНЪЕКЦИИ В СЛУЧАЕ КОНЕЧНОЙ СКОРОСТИ  
МЕЖФАЗНОГО ТЕПЛООБМЕНА

В монографии /1/ найден интегральный поток тепла  $w_0(t)$  от твердой к жидкой фазе при нагнетании теплоносителя в теплоизолированный от кровли и подошвы пласт, а в случае не теплоизолированного пласта проведены лишь некоторые оценки. В данной работе при тех же предположениях, что и в /1/, получено точное выражение  $w_0(t)$  для нетеплоизолированного пласта, а также теплосодержание твердой и жидкой фаз пласта в каждый момент времени  $t$ .

Рассматривается бесконечно глубоко залегающий горизонтальный пласт, расположенный в области  $-\infty < \tilde{x}, \tilde{y} < +\infty$ ,  $-2h \leq \tilde{z} \leq 0$ . Кровля и подошва расположены, соответственно, в областях  $-\infty < \tilde{x}, \tilde{y} < +\infty$ ,  $0 < \tilde{z} < +\infty$  и  $-\infty < \tilde{x}, \tilde{y} < +\infty$ ,  $-\infty < \tilde{z} < -2h$ . Через одну или несколько скважин, трактуемых как линейные источники несжимаемой жидкости, в пласт нагнетается несжимаемая жидкость с постоянной температурой  $T_0$  на оси скважин. Ниже рассматривается случай нагнетания жидкости через одну скважину с объемным расходом  $Q$ , и указаны лишь небольшие изменения в выкладочной части, которые нужно произвести в случае нескольких скважин. Теплофизические свойства кровли и подошвы считаются одинаковыми, и ниже рассматривается только область  $\tilde{z} \geq -h$ .

Введем безразмерные величины:

$$u = \frac{T_k - T_0}{T_0 - T_0}, \quad v = \frac{T_c - T_0}{T_0 - T_0}, \quad w = \frac{T_k - T_0}{T_0 - T_0}, \quad a^2 = a_c^2 / a_{жс}^2,$$

$$z = \tilde{z} / h, \quad Z = \tilde{z} / h, \quad t = a_{жс}^2 \tilde{t} / h^2, \quad \nu = Q c_{жс} / (8 \pi m h \lambda_{жс}), \quad (I)$$

$$\alpha = h^2 \alpha_{1,2} / (\lambda_{жс} m), \quad B = m c_{жс} \alpha / [(1-m) c_c],$$

$$a^{*2} = a_k^2 / a_{жс}^2,$$



где  $T_0$  - начальная температура пласта и кровли,  $T_{ж}, T_c$ ,  $T_k$  - температуры,  $a_{ж}^2, a_k^2, a_c^2$  - коэффициенты теплопроводности жидкости, скелета пласта и кровли,  $\lambda_{ж}, C_{ж}$  - коэффициент теплопроводности и объемная теплоемкость жидкости,  $m$  - пористость и равная ей средняя просветность,  $\alpha_{1,2}$  - коэффициент межфазного теплообмена между жидкостью и скелетом пласта. Тогда математическая постановка задачи примет вид (см. /1/, с. 84):

$$a^{*2} L_0 w = \partial w / \partial t, \quad 0 < r, z, t < +\infty, \quad (2)$$

$$a^2 L_0 v + \beta(u-v) = \partial v / \partial t, \quad 0 < r, t < +\infty, -1 < z < 0, \quad (3)$$

$$L_v u - \alpha(u-v) = \partial u / \partial t, \quad L_v = \frac{\partial^2}{\partial r^2} + \frac{1-2\nu}{r} \frac{\partial}{\partial r} + \frac{\partial^2}{\partial z^2}, \quad (4)$$

$$t=0: u=v=w=0; \quad r=0: u=1; \quad z=-1: \frac{\partial u}{\partial z} = \frac{\partial v}{\partial z} = 0; \quad (5)$$

$$z=0: u=v=w; \quad r^2+z^2 \rightarrow \infty: u, v, w \rightarrow 0. \quad (6)$$

Что касается граничных условий в плоскости  $z=0$  контакта двухфазного пласта и непроницаемой кровли, то (в отличие от /1/) естественно предположить, что поток тепла в кровлю равен сумме потока тепла от жидкой фазы (с долей  $m$ ) и от твердого скелета (с долей  $1-m$ ):

$$\bar{z}=0: -\lambda_k \frac{\partial T_k}{\partial \bar{z}} = -m \lambda_{ж} \frac{\partial T_{ж}}{\partial \bar{z}} - (1-m) \lambda_c \frac{\partial T_c}{\partial \bar{z}}. \quad (7)$$

После перехода к безразмерным величинам из (7) следует:

$$z=0: \lambda^* \partial w / \partial z = m \partial u / \partial z + \lambda(1-m) \partial v / \partial z, \quad (8)$$

где  $\lambda^* = \lambda_k / \lambda_{ж}$ ,  $\lambda = \lambda_c / \lambda_{ж}$ ,  $\lambda_k$  и  $\lambda_c$  - коэффициенты теплопроводности кровли и скелета.

Интегральный поток тепла от жидкости к скелету пласта определяется соотношением (см. /1/):

$$w_0(t) = 2\pi \int_{-1}^0 A(z,t) dz, \quad A(z,t) = \int_0^{\infty} z(u-v) dz. \quad (9.10)$$

Вместо аппарата функций Грина, используемого в /1/, применим для определения  $w_0(t)$  более эффективный метод, используемый ранее в /2/ для точного определения теплосодержания пропластков в многослойном однофазном пласте. Для этого умножим уравнения (2), (3) и (4) на  $z$ , проинтегрируем по  $z$  от нуля до бесконечности и используем условия на бесконечности (6) (предполагая, что  $z \partial u / \partial z$  тоже стремится к нулю на бесконечности). Применяя затем к полученным уравнениям преобразование Лапласа по времени, получим задачу:

$$\bar{w}'' = \frac{p}{a^2} \bar{w}, \quad 0 < z < +\infty, \quad ' = d/dz, \quad (11)$$

$$a^2 \bar{v}'' + \beta(\bar{u} - \bar{v}) = p\bar{v}, \quad -1 < z < 0, \quad (12)$$

$$\frac{2\gamma}{p} \bar{u}'' - \alpha(\bar{u} - \bar{v}) = p\bar{u}, \quad (13)$$

$$z = -1: \bar{u}' = \bar{v}' = 0; \quad z \rightarrow \infty: \bar{u}, \bar{v}, \bar{w} \rightarrow 0; \quad (14)$$

$$z = 0: \bar{u} = \bar{v} = \bar{w}, \quad \lambda^* \bar{w}' = m\bar{u}' + \lambda(1-m)\bar{v}'. \quad (15)$$

Здесь:

$$\bar{f}(z,t) = \int_0^{\infty} z f(z,z,t) dz, \quad \bar{f}(z,p) = \int_0^{\infty} \bar{f}(z,t) e^{-pt} dt. \quad (16)$$

Как и в /1/, дальнейшее решение задачи проведем при  $a^2 = 1$ . Тогда из (12) и (13) можно получить задачу для  $\bar{u} - \bar{v}$ , причем  $\bar{u} - \bar{v} = 0$  при  $z = 0$ , так что уравнение (11) и второе граничное условие в (15) не используется. Тогда, решая задачу (11)–(15), найдем, применяя преобразование Лапласа к (9.10), что



$$\begin{aligned} \bar{w}_0(p) &= \frac{4\pi\nu}{p\gamma^2} \left( 1 - \frac{1}{\gamma \operatorname{ch} \frac{1}{2}\gamma} \right) = \\ &= \frac{4\pi\nu}{p\gamma^2} - \frac{8\pi\nu}{p\gamma^3} \sum_{n=0}^{\infty} (-1)^n e^{-(n+\frac{1}{2})\gamma}, \quad \gamma = \sqrt{p+\alpha+\beta}. \quad (17) \end{aligned}$$

Первое слагаемое в (17) соответствует изображению Лапласа функции  $w_0(t)$  для теплоизолированного пласта (см. /1/), а второе слагаемое — дополнительным потерям тепла в кровлю и подовбу. После обращения (17) получим интегральный поток тепла от жидкости к скелету пласта в виде формулы, вполне пригодной для числовых расчетов:

$$\begin{aligned} w_0(t) &= \frac{4\pi\nu}{s^2} (1 - e^{-st}) - \\ &- 8\pi\nu \sum_{n=0}^{\infty} (-1)^n \left\{ \frac{\sqrt{\pi}}{2s} \left[ e^{-(n+\frac{1}{2})s} \operatorname{erfc} \left( \frac{n+\frac{1}{2}}{2\sqrt{t}} - s\sqrt{t} \right) - \right. \right. \\ &- \left. \left. e^{(n+\frac{1}{2})s} \operatorname{erfc} \left( \frac{n+\frac{1}{2}}{\sqrt{t}} + s\sqrt{t} \right) \right] - e^{-s^2 t} \left[ 2\sqrt{\frac{t}{\pi}} e^{-\frac{s^2}{4t}} - \right. \right. \\ &- \left. \left. \left. (n+\frac{1}{2}) \operatorname{erfc} \frac{n+\frac{1}{2}}{2\sqrt{t}} \right] \right\}, \quad s = \sqrt{\alpha+\beta}. \quad (18) \end{aligned}$$

Найдем теперь теплосодержание жидкой и твердой фаз, определяемые соотношениями:

$$\hat{u}(t) = 2\pi \int_{-1}^0 dz \int_0^{\infty} u u dt, \quad \hat{v}(t) = 2\pi \int_{-1}^0 dz \int_0^{\infty} v v dt. \quad (19)$$

Ограничимся, как и в /1/, случаем

$$\alpha = \beta, \quad m/\lambda^* = (1-m)\lambda/\lambda^* \equiv \kappa. \quad (20)$$

Тогда из (11)-(15) найдем

$$\hat{u}(t) = \frac{1}{2} [w_0(t) + \psi(t)], \quad \hat{v}(t) = \frac{1}{2} [\hat{\psi}(t) - w_0(t)], \quad (21)$$

где  $w_0(t)$  определяется формулой (18) (при  $\alpha = \beta$ ), а

$$\hat{\psi}(t) = 2V \left[ t - \frac{1+M}{2k\alpha^2} \sum_{n=0}^{\infty} M^n \left[ \frac{1}{3} \sqrt{\frac{t}{\pi}} (4t + \alpha_n^2) e^{-\alpha_n^2/4t} - \alpha_n \left( t + \frac{1}{6} \alpha_n^2 \right) \operatorname{erfc} \frac{\alpha_n}{2\sqrt{t}} \right] \right], \quad \alpha_n = 2n+1, \quad M = \frac{2k\alpha^2 - 1}{2k\alpha^2 + 1}. \quad (22)$$

При тепловой инжекции через  $n$  произвольно расположенных скважин с расходами  $Q_i$  ( $i = 0, 1, 2, \dots, n$ ) и постоянной температурой на оси скважин нужно (см. /2/) записать уравнения (2)-(4) в прямоугольных координатах, причем уравнение (4) нужно записать в виде

$$\Delta u - \operatorname{div}(u\vec{v}) - \alpha(u-v) = \partial u / \partial t. \quad (23)$$

Затем надо проинтегрировать эти уравнения по  $x$  и по  $y$  в пределах от  $-\infty$  до  $+\infty$ , применив при интегрировании уравнения (23) плоский аналог формулы Остроградского-Гаусса. В результате получается та же система (II)-(I5), в которой параметр  $V$  заменится на параметр  $V_1 + V_2 + \dots + V_n$  ( $V_i = Q_i a_{ic}^2 / 8\pi n h$ ). Таким образом, решение задачи в этом случае дается формулами (18), (21), (22), в которых нужно сделать указанную замену.

#### СПИСОК ЛИТЕРАТУРЫ

1. Рубинштейн Л.И. Температурные поля в нефтяных пластах. - М. - 1972. - 276 с.
2. Панферова А.А. Точное определение теплосодержания пропластков при тепловой инжекции в многослойный пласт // Изв. АН Латв. ССР. Сер. физ. и техн. наук. - 1966. - № 4. - С. 80-87.

УДК 622.276.65

ТОЧНОЕ ОПРЕДЕЛЕНИЕ ТЕПЛОСОДЕРЖАНИЯ ПЛАСТА ПРИ ТЕПЛОВОЙ ИНЕКЦИИ В СЛУЧАЕ КОНЕЧНОЙ СКОРОСТИ МЕЛКАГО ТЕПЛОПРОВОДИТЕЛЯ.



Антимиров М.Я., Панферова А.А. // Математическое моделирование. Прикладные задачи математической физики. - Рига: ЛУ, 1992. - Вып. 3.

Решена задача об интегральном потоке тепла от жидкой к твердой фазе и о теплосодержании твердой и жидкой фаз при тепловой инъекции в нефтяной пласт при конечной скорости межфазного теплообмена. Пласт находится в тепловом контакте с окружающими породами.

Библиогр. 2 назв.

AN EXACT DETERMINATION OF HEAT CONTENTS OF THE STRATUM UNDER THERMAL INJECTION IN THE CASE FINITE HEAT TRANSFER BETWEEN THE FACES. Antimirov M.Ya., Panferova A.A. // The mathematical simulation. Applied problems of mathematical physics. Riga: LU: 1992.- Vol.3.

An exact solution of the problem of integral heat transmission from liquid face to hard and determination of heat contents of the liquid and hard faces of the stratum under thermal injection in the case finite heat transfer between the faces is given. The stratum has a heat contact with adjacent formation.

Ref. 2.

PRECĪZA SILTUMA DAUDZUMA NOTEIKŠANA SLĀNĪM PĒ SILTUMA INJEKCIJAS STARPFĀZU SILTUMAPMAIBAS GALĪGĀ GADĪJUMĀ. Antimirovs M., Panfjorova A. // Matemātiskā modelēšana. Matemātiskās fizikas lietišķās problēmas. - Rīga: LU, 1992. -

3. sēj.

Atrisināts uzdevums par siltumintegrāļplūsmu no šķidrās uz cietu fāzi un siltumietilpība cietā un šķidrā fāzē pie siltuma injekcijas naftas slānī pie galīga starpfāzu siltumapmaiņas ātruma. Slānis atrodas siltuma kontaktā ar apkārtējo vidi.

A. Baiķis, I. Padoļkina  
Latvijas Universitāte

VAIŅĪGO VIRZIENU METODES IZMANTOŠANA  
DIVU SASKARĒŠOS SLĀŅU KONVEKTĪVĀS DIFŪZIJAS PROBLĒMAS  
ATRISINĀŠANAI

Pēdējā laikā liela uzmanība tiek veltīta tādai ekoloģijas problēmai kā pazemes ūdeņu piesārņošana. Pazemes ūdeņu plūsmas rezultātā piesārņojums var izplatīties lielos attālumos un apdraudēt izmantojamos tīro ūdeņu avotus. Lai novērstu iespējamās ekoloģiskās katastrofas, ir svarīgi tās prognozēt, izmantojot matemātiskos aprēķinus.

Piesārņojuma izplatīšanās pazemes slāņos pieņems matemātiski modelēt ar konvektīvās difūzijas vienādojumiem /1-6/. Zemes garozas ieži ir kārtni un katrai no tām ir savas atšķirīgas īpašības pazemes ūdeņu caurlaidībai. Līdz ar to vienā no slāņiem ūdeņu filtrācija (konvekcija) var notikt ātrāk nekā blakus esošajā, tāpēc arī piesārņojums vienā slānī izplatās ātrāk, otrā lēnāk, vienlaicīgi difūzijas ceļā nonākot arī no viena slāņa otrā. Tāpēc pietiekami precīzos matemātiskajos modeļos jāņem vērā kā piesārņojuma izplatīšanās ar difūziju un konvekciju katrā no slāņiem, tā arī slāņu savstarpējā mijiedarbība.

Apskatīsim pazemes ūdeņu piesārņojošas pasīvas vielas, t.i., tādas, kas nesorbējas uz poru virsmas, filtrācijas procesu divos blakus esošos slāņos, kur katram no tiem ir atšķirīgi difūzijas, porainības koeficienti un konvekcijas ātrumi.

Pieņemsim, ka sākumā brīdī  $t=0$  abu slāņu ieejā - pirmajā un otrajā, notiek piesārņojuma izplūde, t.i., koncentrācija  $C=1$ . Piesārņojums attiecīgi ar filtrācijas ātrumiem  $V_1$  un  $V_2$  katrā slānī kustas  $x$  ass virzienā. Divdimensiju gadījumā piesārņojuma koncentrācijas lauku izmai-



gu abos slāņos ar biežumiem  $H_1$  un  $H_2$  apraksta vienādojumi

$$n_i \frac{\partial \mathcal{L}_i}{\partial t} = D_i \frac{\partial^2 \mathcal{L}_i}{\partial y^2} + S_i \frac{\partial^2 \mathcal{L}_i}{\partial x^2} - V_i \frac{\partial \mathcal{L}_i}{\partial x}, \quad (i=1,2) \quad (1)$$

$$0 < x < L, \quad -H_1 < y < H_2,$$

ar sākuma nosacījumiem

$$\mathcal{L}_1|_{t=0} = \mathcal{L}_2|_{t=0} = 0, \quad (2)$$

robežnosacījumiem

$$\mathcal{L}_1|_{x=0} = \mathcal{L}_2|_{x=0} = f, \quad D_1 \frac{\partial \mathcal{L}_1}{\partial y} \Big|_{y=-H_1} = D_2 \frac{\partial \mathcal{L}_2}{\partial y} \Big|_{y=H_2} = 0, \quad (3)$$

$$\mathcal{L}_1|_{x=L} = \mathcal{L}_2|_{x=L} = 0,$$

un nosacījumiem uz abu slāņu saskarsšanās robežas

$$D_1 \frac{\partial \mathcal{L}_1}{\partial y} \Big|_{y=0} = D_2 \frac{\partial \mathcal{L}_2}{\partial y} \Big|_{y=0}, \quad (4)$$

kur

$n_i$  - aktīvā porainība,

$D_i$  - horizontālās difūzijas koeficienti,

$S_i$  - vertikālās difūzijas koeficienti,

$V_i$  - filtrācijas ātrumi.

Telpas koordinātu ass ir vērstas šādi:  $x$  ass - slāņu saskarsmes horizontālā virzienā,  $y$  ass - vertikāli slāņiem, koordinātu sākumpunkts - slāņu ieeja uz saskarsmes līnijas.

Problēmas (1)-(4) skaitliskai risināšanai nepieciešams pietiekami daudz gan skaitļotāja mašīnlaika, gan atmiņas. Tādēļ turpmāk apskatītā problēma ļauj samazināt atrisinājuma definīcijas apgabalu, līdz ar to arī skaitlisko rezultātu mēsluvus.

Situācijā, kurā saskaršos slāņu īpašības izsaka šādas to parametru attiecības:

$$D_1 \gg D_2 \quad \text{un} \quad V_2 n_1 \leq V_1 n_2$$

problēmas (1)-(4) vietā formulēts matematisks modelis ar "koncentrētu kapacitāti" /7,8/:

$$n_2 \frac{\partial \ell}{\partial t} = D_2 \frac{\partial^2 \ell}{\partial y^2} + S_2 \frac{\partial^2 \ell}{\partial x^2} - V_2 \frac{\partial \ell}{\partial x}, \quad (5)$$

$$0 < x < L, \quad 0 < y < H_2,$$

sākuma nosacījumi

$$\ell|_{t=0} = 0, \quad (6)$$

neklasiskais nosacījums uz slāņu saskaršanās robežas  $y=0$

$$n_1 \frac{\partial \ell}{\partial t} = D_1 \frac{\partial \ell}{\partial y} + S_1 \frac{\partial^2 \ell}{\partial x^2} - V_1 \frac{\partial \ell}{\partial x}, \quad (7)$$

nosacījumi uz pārējām apgabala robežām

$$\ell|_{x=0} = 1, \quad \ell|_{x=L} = 0, \quad (8)$$

$$D_2 \frac{\partial \ell}{\partial y} \Big|_{y=H_2} = 0, \quad (9)$$

kur  $D = D_1 / D_2$ .

Šāda filtrācijas uzdevuma nostāšne (5)-(9) ļauj skaitliski atrisināt filtrācijas problēmu tikai augšējā (kuru raksturo indekss 2) slānī, kurā piesārņojums filtrējas ātrāk nekā apakšējā. Vieses koncentrāciju apakšējā slānī raksturo koncentrācijas funkcija  $\ell(x, 0, t)$  uz augšējā slāņa apakšējās robežas  $y=0$ . Atzīmēsim, ka šī problēma (5)-(9) ir matemātiskās fizikas problēma ar neklasisku robežnosacījumu. Darba mērķis - noskaidrot, kādām filtrācijas problēmas daudzslāņu apgabalu parametru attiecībām uzdevumu (1)-(4) un (5)-(9) atrisinājumu skaitliskie rezultāti ir identiski un kādām nē.

Formulētās problēmas (1)-(4) un (5)-(9) skaitliski risināsim ar režģa metodi. Diferenču shēmu aprēķiniem izmantosim mēģinājuma virzienu metodi. Definēsim vienkārīgu režģi ar soliem  $h_x, h_y, \tau$  un attiecīgi diskretajiem apgabaliem divu slāņu gadījumā

$$W_{kr}^i = \left\{ (x_i, y_n, t_n) \mid x_i = i h_x, \quad i = 0, 1, \dots, N; \quad y_n = H_1 + n h_y, \right. \\ \left. N = 0, 1, \dots, M; \quad t_n = n \tau, \quad n = 0, 1, \dots \right\}$$



un viena slāņa ar neklausisko robežnosacījumu gadījumā

$$W_{h,c}^0 = \left\{ (x_i, y_\kappa, t_n) \mid x_i = ih_x, i=0,1,\dots,N; y_\kappa = kh_y, \kappa=0,1,\dots,M; \right. \\ \left. \text{ar atbilstošu režģu funkciju} \quad t_n = n\tau, n=0,1,\dots \right\}$$

$$W_{h,c}^m = U(x_i, y_\kappa, t_n).$$

Vienādojumu (1) un (5) skaitliskai risināšanai izmantosim operatoru faktorizācijas shēmas [9]:

$$\begin{cases} n \frac{\bar{u} - u}{\tau} = \frac{1}{2} (D\Lambda_2 u + S\Lambda_1 \bar{u} - V(\sigma\Lambda_1^+ \bar{u} + (1-\sigma)\Lambda_1^- \bar{u})) \\ n \frac{\hat{u} - \bar{u}}{\tau} = \frac{1}{2} (D\Lambda_2 \hat{u} + S\Lambda_1 \bar{u} - V(\sigma\Lambda_1^+ \bar{u} + (1-\sigma)\Lambda_1^- \bar{u})) \end{cases} \quad (10)$$

šāda realizācija

$$\begin{cases} \left[ \frac{n}{\tau} E - \frac{1}{2} S\Lambda_1 + \frac{V}{2} (\sigma\Lambda_1^+ + (1-\sigma)\Lambda_1^-) \right] \bar{u} = \left[ \frac{n}{\tau} E + \frac{1}{2} D\Lambda_2 \right] u \\ \left[ \frac{n}{\tau} E - \frac{1}{2} D\Lambda_2 \right] \hat{u} = \left[ \frac{n}{\tau} E + \frac{1}{2} S\Lambda_1 - \frac{V}{2} (\sigma\Lambda_1^+ + (1-\sigma)\Lambda_1^-) \right] \bar{u}, \end{cases} \quad (11)$$

kur

$$\Lambda_1 u = \frac{u_{i+1, \kappa} - 2u_{i, \kappa} + u_{i-1, \kappa}}{h_x^2}, \quad \Lambda_2 u = \frac{u_{i, \kappa+1} - 2u_{i, \kappa} + u_{i, \kappa-1}}{h_y^2},$$

$$\Lambda_1^+ = \frac{u_{i+1, \kappa} - u_{i, \kappa}}{h_x}, \quad \Lambda_1^- = \frac{u_{i, \kappa} - u_{i-1, \kappa}}{h_x},$$

$$u = u^n = U(x_i, y_\kappa, t_n),$$

$$\bar{u} = u^{n+1/2} = U(x_i, y_\kappa, t_n + \frac{\tau}{2}),$$

$$\hat{u} = u^{n+1} = U(x_i, y_\kappa, t_{n+1}),$$

$E$  - vienības operators,

$\sigma$  - diferencu operatora svars.

Ja  $\sigma = \frac{1}{2}$ , diferencu shēma (10) apņems vienādojumus (1) un (5) ar kārtu  $O(h_x^2, h_y^2, \tau^2)$ , attiecīgi, ja  $\sigma = 0$  un  $\sigma = 1$ , ar kārtu  $O(h_x, h_y^2, \tau^2)$ .

Apskatīsim robežnosacījumu skaitlisko realizāciju slānī  $(n + \frac{1}{2})$  mainīgo virzienu metodē problēmai (1)-(4). Aprēķini  $\alpha$  nos virzienā, t.i., ar sistēmas (11) pirmo vienādojumu, ņemot vērā, ka  $u|_{x=0} = 0$  un  $u|_{x=L}$  nav atkarīgi no

$t$ , uz robežām  $x=0$  un  $x=L$

$$\bar{u}|_{x=0} = 1, \quad \bar{u}|_{x=L} = 0.$$

Funkcijas  $\bar{u}$  aprēķini uz robežām  $y = -H_1$ ,  $y = 0$ ,  $y = H_2$  veikti dažādi

1) funkcija  $\bar{u}$  aprēķināta uz robežām ar diskrētās faktORIZācijas metodi, realizējot algoritmu:

$$\left[ \frac{n}{\tau} E - \frac{\sigma}{2} \Lambda_1 + \frac{V}{2} (\sigma \Lambda_1^* + (1-\sigma) \Lambda_1^-) \right] \bar{u} = \left[ \frac{n}{\tau} E + \sigma \tilde{\Lambda}_2 \right] u, \quad (12)$$

kur attiecīgi uz robežām

$$n_1 = n_1 (n = n_2), \quad S = S_1 (S = S_2), \quad V = V_1 (V = V_2), \quad Q = Q_1 (Q = Q_2),$$

$$\tilde{\Lambda}_2 u = \frac{u_{i+1} - u_{i-1}}{h_y^2} \left( \tilde{\Lambda}_2 h_i = \frac{u_{i+1} - u_{i-1}}{h_y^2} \right),$$

bet uz kopējās robežas

$$\left[ \frac{n_1 + n_2}{\tau} E - \frac{S_1 + S_2}{2} \Lambda_1 + \frac{V_1 + V_2}{2} (\sigma \Lambda_1^* + (1-\sigma) \Lambda_1^-) \right] \bar{u}_v = \quad (13)$$

$$= \left[ \frac{n_1 + n_2}{\tau} E + A_1 \tilde{\Lambda}_{21} + A_2 \tilde{\Lambda}_{22} \right] u_v,$$

kur

$$A_1 = Q_1 / h_y^2, \quad A_2 = Q_2 / h_y^2,$$

$$\tilde{\Lambda}_{21} = \frac{Q_1}{4Q_2} u_{i+2} + \left(1 - \frac{Q_1}{Q_2}\right) u_{i+1} + \left(\frac{3}{4} \frac{Q_1}{Q_2} - \frac{5}{4}\right) u_i + \frac{1}{4} u_{i-1},$$

$$\tilde{\Lambda}_{22} = \frac{1}{4} u_{i+2} + \left(\frac{3}{4} \frac{Q_2}{Q_1} - \frac{5}{4}\right) u_{i+1} + \left(1 - \frac{Q_2}{Q_1}\right) u_i + \frac{Q_2}{4Q_1} u_{i-1};$$

2) pieņemot, ka funkcija  $\bar{u}$  ir nepārtraukta un pietiekami gluda, tika veikta  $\bar{u}$  vērtību ekstrapolācija uz robežām, izmantojot jau izrēķinātas vērtības apgabala iekšienē, atrisinot vienādojuma (11) pirmo vienādojumu;

3) tā kā nosacījumi uz robežām  $y = -H_1$ ,  $y = H_2$  nav atkarīgi no  $t$  un pieņemot, ka tas ir tā arī uz slāņu saskarsnās robežās, funkcijas  $\bar{u}$  vērtības rēķinātas pēc formulām:

$$\bar{u}_{i0} = \frac{1}{3} (4 \bar{u}_{i1} - \bar{u}_{i2}), \quad y = -H_1,$$

$$\bar{u}_{iM} = \frac{1}{3} (4 \bar{u}_{iM+1} - \bar{u}_{iM+2}), \quad y = H_2,$$

$$\bar{u}_{i0} = \frac{A_1 (4 \bar{u}_{i-1} - \bar{u}_{i-2}) + A_2 (4 \bar{u}_{i+1} - \bar{u}_{i+2})}{3(S_1 + S_2)}, \quad y = 0.$$

Problēmai (5)-(9) slēgti ( $n = \frac{1}{2}$ ), līdzīgi kā iepriekšējām gadījumam, pārbaudīti šādi varianti:



1) faktorizācija, realizējot uz robežas  $y=0$  algoritmu:

$$\left[ \left( \frac{n_1}{\sigma} E + \xi \frac{n_2}{\sigma} \right) E - \frac{1}{2} (\xi S_1 + \xi S_2) \Lambda_1 + \frac{1}{2} (V_1 + \xi V_2) (\sigma \Lambda_1^* + (1-\sigma) \Lambda_1^-) \right] \bar{u} =$$

$$= \left( \frac{n_1}{\sigma} + \xi \frac{n_2}{\sigma} - \frac{D_1}{h_y} \right) u_{i,1} + \frac{D_1}{h_y} u_{i,2}, \quad i=2,3,\dots,N-1, \quad (14)$$

kur  $\xi = (h_y \cdot D_1) / (2 D_2)$ ,

bet uz robežas  $y = H_2$ , algoritmu

$$\left[ \frac{n_2}{\sigma} E - \frac{S_2}{2} \Lambda_1 + \frac{V_2}{2} (\sigma \Lambda_1^* + (1-\sigma) \Lambda_1^-) \right] \bar{u} = \frac{n_2}{\sigma} u_{i,M} + D_2 \frac{u_{i,M+1} - u_{i,M}}{h_y}. \quad (15)$$

Vienādojumi (12)-(15) atļauj aprēķināt režģa funkciju  $\bar{u}$  uz palīgslāņa  $(n+\frac{1}{2})$  ar diskreto faktorizācijas metodi.

Aprēķini uz slāņa  $(n+1)$ , t.i., sistēmas (11) otrā vienādojuma skaitliska risināšana arī veikta ar diskreto faktorizācijas metodi  $\frac{1}{2}$  ass virzienā. Metodes realizācijai robežnosacījumi uz robežām  $y = -H_1$ ,  $y = 0$  un  $y = H_2$  jāaproskaidē ar diferenciāliem vienādojumiem izskata

$$\hat{u}_{i,\kappa} = \alpha \hat{u}_{i,\kappa+1} + \beta, \quad \kappa=0, \kappa=M-1.$$

Vispirms apskatīsim divslāņu uzdevumu (1)-(4). Uz pirmā, apakšējā apgabala robežēs  $y = -H_1$

$$\hat{u}_{i,1} = \alpha_1 \hat{u}_{i,2} + \beta_1, \quad (16)$$

kur

$$\alpha_1 = \frac{D_1}{\rho_1 \cdot h_y^2}, \quad \beta_1 = \frac{n_1}{\sigma} + \frac{D_1}{h_y^2},$$

$$\beta_2 = \frac{1}{\rho_1} \left[ \frac{n_1}{\sigma} E + \frac{S_1}{2} \Lambda_1 - \frac{V_1}{2} (\sigma \Lambda_1^* + (1-\sigma) \Lambda_1^-) \right] \bar{u}$$

uz otrā, viršējā apgabala augšējās robežēs  $y = H_2$

$$\hat{u}_{i,M} = \alpha_M \hat{u}_{i,M+1} + \beta_M, \quad (17)$$

kur

$$\beta_M = \frac{1}{\rho_M} \left[ -\frac{n_2}{\sigma} E - \frac{S_2}{2} \Lambda_1 + \frac{V_2}{2} (\sigma \Lambda_1^* + (1-\sigma) \Lambda_1^-) \right] \bar{u},$$

$$\alpha_M = \frac{1}{\rho_M} \left( \frac{n_2}{\sigma} + \frac{D_2}{h_y^2} \right), \quad \beta_M = \frac{D_2}{h_y^2}.$$

Uz šo abu apgabalu saskares robežas  $y=0$ , ņemot vērā nosacījumu (4):

$$\hat{u}_{i,1} = \alpha_{11} \hat{u}_{i,1} + \beta_{11}, \quad (18)$$

kur

$$\alpha_{11} = \frac{1}{f_1^2} \left( 2 \eta_1^2 - \frac{2 h_1^2}{\tau} \right), \quad f_1^2 = \Omega_1 (3 - 4 \alpha_{1-1} + \alpha_{2-1} \alpha_{1-1}) + 2 \Omega_2,$$

$$\beta_{11} = \frac{1}{f_1^2} \left[ \frac{2 h_1^2}{\tau} \bar{u}_{i,1} - h_1^2 [S_2 \Lambda_1 - \nu_2 (\sigma \Lambda_1^+ + (1-\sigma) \Lambda_1^-)] \bar{u}_{i,1} + \right. \\ \left. + \Omega_1 (4 \beta_{1-1} - \beta_{2-1} \alpha_{1-1} + \beta_{1-1}) \right],$$

bet  $\alpha_{1-1}$ ,  $\alpha_{1-1}$  un  $\beta_{2-1}$ ,  $\beta_{1-1}$  ir jau aprēķinātie faktorizācijas metodes koeficienti apakšējā apgabalā, nonākot līdz kopējai robežai  $y=0$ .

Otrās problēmas gadījumā (5)-(9) ar neklasisko nosacījumu (7) uz robežas  $y=0$

$$\hat{u}_{i,1} = \alpha_2 \hat{u}_{i,2} + \beta_2, \quad (19)$$

kur

$$\alpha_2 = \frac{\Omega_1}{f_1^2 h_1^2}, \quad f_1^2 = \frac{n_1}{\tau} + \frac{\Omega_1}{\Omega_2} \frac{h_1^2}{2\tau} n_2 + \frac{\Omega_1}{h_1^2},$$

$$\beta_2 = \frac{1}{f_1^2} \left( \left[ \left( \frac{n_1}{\tau} + \frac{\Omega_1}{\Omega_2} \frac{h_1^2}{2\tau} n_2 \right) E + \left( S_1 + \frac{\Omega_1}{\Omega_2} \frac{h_1^2}{2} S_2 \right) \Lambda_1 - \right. \right. \\ \left. \left. - \left( \nu_1 + \frac{\Omega_1}{\Omega_2} \frac{h_1^2}{2} \nu_2 \right) (\sigma \Lambda_1^+ + (1-\sigma) \Lambda_1^-) \right] \bar{u}_1 \right),$$

bet uz robežas  $y=H_2$

$$\hat{u}_{i,1} = \alpha_{11} \hat{u}_{i,1} + \beta_{11}, \quad (20)$$

kur

$$\alpha_{11} = \left( \frac{n_2}{\tau} + \frac{\Omega_2}{h_2^2} \right) \frac{1}{f_{11}^2}, \quad f_{11}^2 = \frac{\Omega_2}{h_2^2},$$

$$\beta_{11} = \frac{1}{f_{11}^2} \left[ - \frac{n_2}{\tau} E - \frac{S_2}{2} \nu_1 + \frac{\nu_2}{2} (\sigma \Lambda_1^+ + (1-\sigma) \Lambda_1^-) \right] \bar{u}_1.$$



Skaitliskie aprēķini ļauj secināt:

1. Ja abu slāņu difūzijas koeficientu attiecība  $D_1/D_2 > 10$ , tad, pieļaujot nelielas citu parametru atšķirības, abu uzdevumu atrisinājumu skaitlisko rezultātu starpība nepārsniedz skaitli ar kārtu  $10^{-2}$  (atrisinājuma funkcija  $P(x, y, t)$  normēta uz 1). Aprēķini ir veikti arī difūzijas koeficientu attiecībai ar kārtu  $10^2$ , kas atbilst situācijai ar normālu difūzijas koeficientu ļoti plānā slānī (pārejot uz vienslāņa problēmu, t.i., veicot viduvēšanu, iespējams liels "nefizikālais" difūzijas koeficients).

2. Jo konvekcijas ātrumu attiecība lielāka, konkrēti jau pie  $\frac{V_2}{V_1} > 3$ , parādās abu uzdevumu atrisinājumu skaitliskajos rezultātos būtiskas atšķirības. Tas, acīmredzot, ir izskaidrojams arī ar skaitliskas difūzijas kļūdu, kas rodas no konvekcijas sašķaidāmā aproksimēšanas ar vienpusējo diferenci "pret plūsmu" /9/.

#### LITERATŪRAS SĀRAKSTS

1. Лунгер Л., Шестаков В.М. Моделирование геофильтрации. - М.: Недра, 1976. - 407 с.
2. Развитие исследований по теории фильтрации в СССР. - М.: Наука, 1969. - 546 с.
3. Фрид М. Загрязнение подземных вод. - М.: Недра, 1981. - 304 с.
4. Шестаков В.М. Динамика подземных вод. - М.: МГУ, 1979. - 369 с.
5. Bear J. Hydraulics of Groundwater. - NY: McGraw-Hill, 1979. - 569 p.
6. De Warrilly G. Quantitative Hydrology. - Academic Press, 1966. - 439 p.

7. Буйкис А.А. Двухтемпературное поле в гетерогенной среде в приближении сосредоточенной емкости // Прикладные задачи теоретической и математической физики. - Рига, 1977. - Вып. I. - 74-83 с.
8. Буйкис А.А., Шmite М.З. Численное решение одной конвективно-диффузионной задачи // Лат. мат. ежегодник, 1984. - Вып. 28. - 10-13 с.
9. Флетчер К. Вычислительные методы в динамике жидкостей. - Т. I. - М.: Мир, 1991. - 502 с.

УДК 518.61

MAINĪGO VIRZIENU METODES IZMANTOŠANA DIVU SASKAROŠOS SLĀŅU KONVEKTĪVĀS DIFUZIJAS PROBLĒMAS RISINĀŠANAI. A. Buiķis, I. Paģodkina // Matemātiskā modelēšana. Matemātiskās fizikas lietiskās problēmas. - Rīga: LU, 1993. - 3. sēj.

Darbā aprakstīti divi matemātiskie modeļi konvekcijas un difūzijas problēmai porainā divslāņainā vidē. Skaitliski pētīta abu nostādņu sakritība.

МЕТОД ПЕРЕМЕННЫХ НАПРАВЛЕНИЙ ДЛЯ РЕШЕНИЯ ДИФУЗИОННО-КОНВЕКТИВНОЙ ЗАДАЧИ В ДВУХ СОПРИКАСАЮЩИХСЯ СЛОЯХ. Буйкис А.А., Паģодкина И.Э. // Математическое моделирование. Прикладные задачи математической физики. - Рига: ЛУ, 1993. - Вып. 3.

В работе рассмотрены две математические модели для конвективной и диффузионной проблемы в пористой двухслойной области. Численно расследовано совпадение обеих постановок.



DIE ANWERTUNG DER METHODE DER VERÄNDERLICHEN  
RICHTUNGEN FÜR DIE LOSUNG DES KONVEKTIONS-DIFFUSIONS  
PROBLEMS IM ZWEISCHICHTIGEN GEBIET. A. Buikis, I. Pagod-  
kina // Mathematische Modellierung. Die praktische  
Problemen der mathematischen physik.-Riga, 1993.- 3.

In der Arbeit sind zwei Problemstellungen für  
Konvektions-Diffusions Gleichung in zweischichtigem  
System betrachtet. Man analysiert die Näherung beider  
Modellen.

М. Э. Буйке, А. А. Буйкис

ФОРМУЛА ЯВНОЙ ЗАВИСИМОСТИ КУБИЧЕСКОГО СПЛАЙНА  
ОТ ЗНАЧЕНИЙ ИНТЕРПОЛИРУЕМОЙ ФУНКЦИИ

В этой работе получено явное представление классического кубического интерполированного сплайна через все значения интерполируемой функции. Она дополняет работу /1/, в которой была получена формула для кубического сплайна, отправляясь от обычного его выражения через вторые производные  $m_i = S_3''(x_i)$ ,  $i = \overline{0, N}$ . В данной работе аналогичная формула получена при помощи выражения через первые производные сплайна  $m_i = S_3'(x_i)$ ,  $i = \overline{0, N}$ .

Пусть на конечном сегменте  $[a, b]$  дано множество узлов интерполирования и значения интерполируемой функции  $f(x)$  в них /2/:

$$a = x_0 < x_1 < \dots < x_{N-1} < x_N = b,$$

$$f(x_0) = f_0, f(x_1) = f_1, \dots, f(x_N) = f_N.$$

Кроме того, даны краевые условия: даны первые или вторые производные на концах сегмента  $[a, b]$ :

$$f'(a) = f'_0, \quad f'(b) = f'_N, \quad (1)$$

$$f''(a) = f''_0, \quad f''(b) = f''_N. \quad (2)$$

Как хорошо известно из литературы, например /2/, обозначая первые производные в узлах интерполирования через  $m_i$ ,

$$m_i = S_3'(x_i), \quad i = \overline{0, N},$$

для сплайна на интервале  $[x_i, x_{i+1}]$ , получаем выражение:

$$S_{\Delta}(f, x) = m_i \frac{(x_{i+1} - x)^2 (x - x_i)}{h_i^2} - m_{i+1} \frac{(x - x_i)^2 (x_{i+1} - x)}{h_i^2} +$$

$$+ f_i \frac{(x_{i+1} - x)^2 [2(x - x_i) + h_i]}{h_i^3} + f_{i+1} \frac{(x - x_i)^2 [2(x_{i+1} - x) + h_i]}{h_i^3} \quad (3)$$



Из непрерывности первой и второй производной сплайна в точках  $x_i$ ,  $i = \overline{1, N-1}$ , находим систему уравнения относительно  $m_i$ ,  $i = \overline{1, N-1}$ :

$$\lambda_i m_{i-1} + 2m_i + \mu_i m_{i+1} = 3\lambda_i \frac{f_i - f_{i-1}}{h_{i-1}} + 3\mu_i \frac{f_{i+1} - f_i}{h_i},$$

где

$$h_i = x_{i+1} - x_i, \quad \lambda_i = \frac{h_i}{h_{i-1} + h_i}, \quad \mu_i = 1 - \lambda_i,$$

или в более удобной форме:

$$\lambda_i m_{i-1} + 2m_i + \mu_i m_{i+1} = \Psi_i (f_i - f_{i-1}) + \Phi_i (f_{i+1} - f_i) + F_i. \quad (4)$$

Здесь

$$\Psi_i = \frac{3\lambda_i}{h_{i-1}}, \quad \Phi_i = \frac{3\mu_i}{h_i}, \quad F_i \equiv 0, \quad i = \overline{1, N-1}. \quad (5)$$

Для замыкания системы (4) необходимо воспользоваться крайними условиями (1) и (2). Если (1) записывать в форме (4), то

$$m_0 = f'_0, \quad m_N = f'_N, \quad (6)$$

$$\begin{aligned} \mu_0 = \lambda_0 = 0, \quad F_0 = 2f'_0, \quad \Psi_0 = \Phi_0 = 0, \\ \mu_N = \lambda_N = 0, \quad F_N = 2f'_N, \quad \Psi_N = \Phi_N = 0. \end{aligned} \quad (7)$$

При условиях (2), дифференцируя (3), получаем:

$$2m_0 + m_1 = 3 \frac{f_1 - f_0}{h_0} - \frac{h_0}{2} f''_0 \quad (8)$$

$$m_{N-1} + 2m_N = 3 \frac{f_N - f_{N-1}}{h_{N-1}} + \frac{h_{N-1}}{2} f''_N$$

или в форме (4):

$$\begin{aligned} \lambda_0 = 0, \quad \mu_0 = 1, \quad \Psi_0 = 0, \quad \Phi_0 = \frac{3}{h_0}, \quad F_0 = -\frac{h_0}{2} f''_0, \\ \lambda_N = 1, \quad \mu_N = 0, \quad \Psi_N = \frac{3}{h_{N-1}}, \quad \Phi_N = 0, \quad F_N = \frac{h_{N-1}}{2} f''_N. \end{aligned} \quad (9)$$

Система (4) вместе с уравнениями (6) или (8), где коэффициенты и правые части вычисляются по формулам (5) и (7) или (9), легко решается классическим методом прогонки. Подставляя найденные выражения  $m_i$  в (3), можем получить значение сплайна на подсегменте  $[x_i, x_{i+1}]$ , зависящее лишь от значений функции  $f(x)$  на концах подсегмента  $[x_i, x_{i+1}]$ .

По аналогии с /I/ получим представление сплайна, показывающее его зависимость от всех значений интерполируемой функции. Для этого будем искать  $m_i$  в форме:

$$m_i = \gamma_i + \sum_{j=0}^N \beta_{ij} f_j \quad (10)$$

Тогда, подставляя (10) в (4) и учитывая линейную независимость  $f_i$ , получаем системы для определения  $\gamma_i$  и  $\beta_{ij}$ . Система для  $\gamma_i$ ,  $i = \overline{0, N}$ :

$$2\gamma_0 + M_0\gamma_1 = F_0,$$

$$\lambda_i \gamma_{i-1} + 2\gamma_i + \mu_i \gamma_{i+1} = 0, \quad i = \overline{1, N-1} \quad (11)$$

$$\lambda_N \gamma_{N-1} + 2\gamma_N = F_N.$$

Система относительно матрицы  $\beta_{ij}$ ,  $i = \overline{0, N}$ ,  $j = \overline{0, N}$ :

$$\lambda_i \beta_{i-1j} + 2\beta_{ij} + \mu_i \beta_{i+1j} = 0, \quad i \neq j-1, j, j+1,$$

$$\lambda_i \beta_{i-1j} + 2\beta_{ij} + \mu_i \beta_{i+1j} = \varphi_i, \quad i = j-1,$$

$$\lambda_i \beta_{i-1j} + 2\beta_{ij} + \mu_i \beta_{i+1j} = \varphi_i - \varphi_i, \quad i = j,$$

$$\lambda_i \beta_{i-1j} + 2\beta_{ij} + \mu_i \beta_{i+1j} = -\varphi_i, \quad i = j+1,$$

или, пользуясь символом Кронекера.

$$\delta_{ij} = \begin{cases} 0, & i \neq j, \\ 1, & i = j, \end{cases}$$

для каждого  $j = \overline{0, N}$ .

$$\lambda_i \beta_{i-1j} + 2\beta_{ij} + \mu_i \beta_{i+1j} = -\varphi_i \delta_{i-1j} + (\varphi_i - \varphi_i) \delta_{ij} + \varphi_i \delta_{i+1j} \quad (12)$$

Здесь  $i = \overline{0, N}$ ,  $\beta_{i-1j} = \beta_{N+1j} = 0$ . Остальные коэффициенты и правые части даны формулами (5), (7) или (9). Видно, что  $\beta_{ij}$ ,  $\gamma_i$  не зависят от значений  $f_i$  интерполируемой функции.

Решив системы (11) и (12), подставляя (10) в (3), получаем выражение для  $S_{\Delta}(f, x)$  в подинтервале  $[x_i, x_{i+1}]$ :

$$S_{\Delta}(f, x) = \frac{(x_{i+1}-x)^2}{h_i^2} \left\{ \frac{x-x_i}{h_i} \left[ h_i \left( \gamma_i + \sum_{j=0}^N \beta_{ij} f_j \right) + 2f_i \right] + f_i \right\} + \\ + \frac{(x-x_i)^2}{h_i^2} \left\{ \frac{x_{i+1}-x}{h_i} \left[ -h_i \left( \gamma_{i+1} + \sum_{j=0}^N \beta_{i+1j} f_j \right) + 2f_{i+1} \right] + f_{i+1} \right\}$$



Это выражение для  $S_{\Delta}(f, x)$  явно зависит от всех значений  $f_{\xi}$ . Более того, величины  $\beta_{\xi j}$  не зависят от правых частей краевых условий (1) или (2).

#### СПИСОК ЛИТЕРАТУРЫ

1. Буйкис А.А. Задачи математической физики с разрывными коэффициентами и их приложения. - Рига: Зинатне, 1992. - 360 с. (в печати)
2. Альберг Дж., Нильсон Э., Уолли Дж. Теория сплайнов и ее приложения. - М.: Мир, 1972. - 316 с.

УДК 519.6

ФОРМУЛА ЯВНОЙ ЗАВИСИМОСТИ КУБИЧЕСКОГО СПЛАЙНА ОТ ЗНАЧЕНИЙ ИНТЕРПОЛИРУЕМОЙ ФУНКЦИИ. Буйке М.З., Буйкис А.А. // Математическое моделирование. Прикладные задачи математической физики. - Рига: ИУ, 1992. - Вып.3.

Получена формула кубического сплайна, которая не содержит 1-ые и 2-ые производные, а в явной форме зависит от значений интерполируемой функции.

KUBISKĀ SPLAINA TIESĀS ATKARĪBAS IZTEIKSME NO INTERPOLĒJAMĀS FUNKCIJAS VĒRTĪBĀM. Buiķe M., Buiķis A. // Matemātiskā modelēšana. Matemātiskās fizikas lietotiskās problēmas: Rīga: IJU, 1992. - 3. sēj.

Iegūta kubiskā splaina atklāta reprezentācijas formula, kura nesatur ne 1., ne 2. atvasinājumus, bet tikai visos interpolējamās funkcijas vērtības mezglu punktos.

EINE EXPLIZITE REPRESENTATIONSFORMEL FÜR KUBISCHER SPLINE, DIE NUR ALLE WERTE DER INTERPOLIERENDEN FUNKTION ENTHÄLT. M. Buiķe, A. Buiķis // Mathematische Modellierung. Die praktische Problemen der mathematischen Physik. Rīga, 1992. - 3.

Es ist explizite Representations-formel für kubischer Spline gegeben, welche nicht erste und zweite Ableitungen, aber nur alle Werte der interpolierender Funktion enthält.

А. А. Буйнис, Н. П. Улянова  
Ин-т математики ЛАН и ЛУ,  
Рига

### ПРИМЕНЕНИЕ МЕТОДА КОНСЕРВАТИВНОГО ОСРЕДНЕНИЯ ДЛЯ УГЛОВОЙ ОБЛАСТИ С ТОНКИМ СЛОЕМ

В различных областях современной техники встречаются многослойные конструкции с отдельными слоями относительно малой толщины. Для исследования систем, полученных при постановке таких задач, с дальнейшим их численным (или аналитическим) решением, удобно перейти к новой постановке с дополнительными условиями типа сосредоточенной емкости [1-3] или их обобщениям, напр. [4-7], иными словами - методу консервативного осреднения.

В этой работе рассмотрена задача для уравнения теплопроводности в угловой области, когда возникает существенная дополнительная сложность реализации осреднения вблизи угла.

1. Исследование температурного поля в угловой области, состоящей из двух или нескольких слоев, различающихся толщиной и материалом, обусловлено определенными трудностями. Основные из них:

- расчет температуры в тонком слое или учет его влияния;
- расчет температуры в угловой области тонкого слоя.

Для облегчения решения задач такого типа предлагается метод консервативного осреднения (МКО) для тонкой граничной подобласти и методика осреднения для расчета температуры в угловой точке. МКО реализуется на следующей задаче теплопроводности с двухслойной угловой областью.

2. Конструкция представляет собой прямой угол, состоящий из двух прямоугольников (сторон), с относительно большой толщиной и относительно малым коэффициентом



теплопроводности материала (в конкретном расчете - бетон). Угол облицован тонким слоем материала с большим коэффициентом теплопроводности (металлическим листом).

Внутренняя поверхность конструкции поддерживается при заданной температуре. Наружная поверхность подвергается интенсивному разогреву (пламя, горячий воздух). Это так называемая задача о «несгораемом сейфе».

Предполагал, что длина конструкции достаточно велика, рассматривается сечение угловой области, т.е. двумерный вариант задачи (рис. 1.).

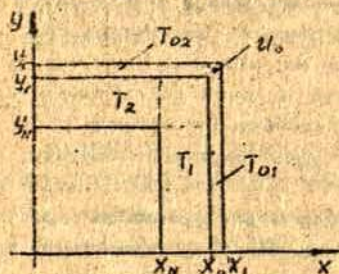


Рис. 1. Схема конструкции.  $T_1$  - температура в вертикальной основной области,  $T_2$  - в горизонтальной основной области,  $T_{01}$  и  $T_{02}$  - температура в тонком слое.

Постановка исходной сопряженной задачи включает в себя двумерные нестационарные уравнения теплопроводности для всех областей и слоев:

$$\rho c \frac{\partial T_1}{\partial t} = \frac{\partial}{\partial x} \left( k \frac{\partial T_1}{\partial x} \right) + \frac{\partial}{\partial y} \left( k \frac{\partial T_1}{\partial y} \right) + F(x, y, t), \quad \begin{cases} x_0 < x < x_1, \\ 0 < y < y_0. \end{cases} \quad (11)$$

$$\rho c \frac{\partial T_2}{\partial t} = \frac{\partial}{\partial x} \left( k \frac{\partial T_2}{\partial x} \right) + \frac{\partial}{\partial y} \left( k \frac{\partial T_2}{\partial y} \right) + F(x, y, t), \quad \begin{cases} 0 < x < x_0, \\ y_0 < y < y_1. \end{cases} \quad (12)$$

$$\rho_0 c_0 \frac{\partial T_{01}}{\partial t} = \frac{\partial}{\partial x} \left( k_0 \frac{\partial T_{01}}{\partial x} \right) + \frac{\partial}{\partial y} \left( k_0 \frac{\partial T_{01}}{\partial y} \right), \quad \begin{cases} x_0 < x < x_1, \\ 0 < y < y_1. \end{cases} \quad (21)$$

$$\rho_0 c_0 \frac{\partial T_{02}}{\partial t} = \frac{\partial}{\partial x} \left( k_0 \frac{\partial T_{02}}{\partial x} \right) + \frac{\partial}{\partial y} \left( k_0 \frac{\partial T_{02}}{\partial y} \right), \quad \begin{cases} 0 < x < x_1, \\ y_0 < y < y_1. \end{cases} \quad (22)$$

вместе с граничными и начальными условиями:

- на внутренних поверхностях - условия I рода:

$$T_1 = T_c, \quad \begin{cases} x = x_1, \\ y < y_n, \end{cases} \quad (31)$$

$$T_2 = T_c, \quad \begin{cases} x < x_n, \\ y = y_1, \end{cases} \quad (32)$$

- на наружных поверхностях - условия теплообмена по Ньютону:

$$k_0 \frac{\partial T_{01}}{\partial x} + \alpha T_{01} = \varphi, \quad \begin{cases} x = x_1, \\ y < y_1, \end{cases} \quad (41)$$

$$k_0 \frac{\partial T_{02}}{\partial y} + \alpha T_{02} = \varphi, \quad \begin{cases} x < x_1, \\ y = y_1, \end{cases} \quad (42)$$

где  $\varphi = \alpha T^*$ ,  $T^*$  - температура наружной среды (напр. воздуха),  
- условия сопряжения между основной областью и слоем:

$$T_1/x_{0-0} = T_{01}/x_{0+0}, \quad y < y_0, \quad (51)$$

$$T_2/y_{0-0} = T_{02}/y_{0+0}, \quad x < x_0, \quad (52)$$

$$k \frac{\partial T_1}{\partial x} / x_{0-0} = k_0 \frac{\partial T_{01}}{\partial x} / x_{0+0}, \quad y < y_0, \quad (51)$$

$$k \frac{\partial T_2}{\partial y} / y_{0-0} = k_0 \frac{\partial T_{02}}{\partial y} / y_{0+0}, \quad x < x_0, \quad (52)$$

начальные условия (при  $t=0$ ):

$$T_1 = T_2 = T_{01} = T_{02} = T_c.$$

Задача в такой постановке аппроксимируется разностной схемой, которая решается методом переменных направлений в каждой двумерной области, пересылая на каждом итерационном шаге значения температур в зоне пересечения из уже просчитанной области в следующую.

В случае, когда толщина основной области отличается от толщины слоя на порядок и больше, решение сопряженной задачи связано с определенными вычислительными трудностями (типичная задача с малым параметром). И метод консервативного осреднения по тонкой граничной подобласти значительно облегчает решение подобных задач, сохраняя при этом в постановке задачи все характеристики осредняемой подобласти.

3. Метод консервативного осреднения для отдельной граничной подобласти подробно изложен в находящейся в



печати монографии /7/.

Введем следующие обозначения для осреднения по координатам  $y$  и  $x$ :

$$\bar{U}_0(y, t) = \frac{1}{\delta_1} \int_{x_0}^{x_1} T_0(x, y, t) dx, \quad \delta_1 = x_1 - x_0, \quad (71)$$

$$\bar{U}_0(x, t) = \frac{1}{\delta_2} \int_{y_0}^{y_1} T_0(x, y, t) dy, \quad \delta_2 = y_1 - y_0, \quad (72)$$

Уравнения для спон (21) с учетом (71), граничных условий на внешней поверхности (31) и условий сопряжения (51), (61), переводятся в граничное условие для основной области (11):

$$k \frac{\partial T}{\partial x} / x_0 = \varphi - \alpha T_0 / x_1 + \delta_1 \frac{\partial}{\partial y} (k_0 \frac{\partial \bar{U}_0}{\partial y}) - \rho_0 c_0 \delta_1 \frac{\partial \bar{U}_0}{\partial t}, \quad (8)$$

Это условие содержит три неизвестные функции:  $\bar{U}_0$ ,  $T$ ,  $T_0/x_1$ .

Для их определения применим линейное распределение температуры по осредняемой координате (напр.  $x$ ):

$$T_0/x_1 = T/x_0 + \frac{\varphi - \alpha T/x_0}{k_1} (x - x_0), \quad k_1 = k_0 + \alpha \delta_1, \quad (9)$$

$$\bar{U}_0 = T/x_0 + \frac{\varphi - \alpha T/x_0}{k_1} \frac{\delta_1}{2} = \bar{U}_0 = \frac{\delta_1}{2k_1} \varphi + \frac{1}{2} (1 + \frac{k_0}{k_1}) T/x_0, \quad (10)$$

Подставляя (9) и (10) в (8), исключим два неизвестных и получим граничное условие для (11) при  $x = x_0$ :

$$k \frac{\partial T}{\partial x} = \frac{\delta_1}{2} (1 + \frac{k_0}{k_1}) \frac{\partial}{\partial y} (k_0 \frac{\partial T}{\partial y}) - \rho_0 c_0 \frac{\delta_1}{2} (1 + \frac{k_0}{k_1}) \frac{\partial T}{\partial t} - \alpha \frac{k_0}{k_1} T + \bar{F}_1, \quad (111)$$

$$\text{где } \bar{F}_1 = \frac{k_0}{k_1} \varphi + \frac{\delta_1^2}{2k_1} \left[ \frac{\partial}{\partial y} (k_0 \frac{\partial \varphi}{\partial y}) - \rho_0 c_0 \frac{\partial \varphi}{\partial t} \right].$$

Для уравнения (12) получаем аналогичное граничное условие при  $y = y_0$ :

$$k \frac{\partial T}{\partial y} = \frac{\delta_2}{2} (1 + \frac{k_0}{k_2}) \frac{\partial}{\partial x} (k_0 \frac{\partial T}{\partial x}) - \rho_0 c_0 \frac{\delta_2}{2} (1 + \frac{k_0}{k_2}) \frac{\partial T}{\partial t} - \alpha \frac{k_0}{k_2} T + \bar{F}_2, \quad (112)$$

где  $\bar{F}z = \frac{k_0}{kz} \varphi + \frac{\delta z^2}{2kz} \left[ \frac{\partial}{\partial x} (k_0 \frac{\partial \varphi}{\partial x}) - \rho_0 c_0 \frac{\partial \varphi}{\partial t} \right]$ ,  $kz = k_0 + \alpha \delta z$ .

Граничные условия (111) и (112) сохраняют все характеристики осредняемой подобласти, а выписанные с учетом основного уравнения имеют второй порядок при разностной аппроксимации.

Преобразование (7-11) сводит решение двумерной сопряженной задачи с малым параметром к решению одного двумерного уравнения, но с неклассическим граничным условием, численное решение которого значительно проще.

4. Предыдущие рассуждения относились к задаче с плоской граничной подобластью. В случае же, когда основная область и подобласть (слой) являются условными (рис. 1), возникает дополнительная проблема консервативного осреднения угловой зоны или определение температуры в условной точке.

Предположим, что распределение температуры в слое  $T_0$  в области угловой точки, может быть аппроксимировано полиномом 2-й степени как по координате  $x$ , так и по координате  $y$  (угловая область является общей для  $T_{01}$  и  $T_{02}$ ).

$$\bar{U}_0(x, t) = \bar{U}_0^{(0)}(t) + \bar{V}_1(t) \frac{x-x_0}{\delta_1} + \bar{V}_2(t) \left( \frac{x-x_0}{\delta_1} \right)^2, \quad (121)$$

$$\bar{U}_0(y, t) = \bar{U}_0^{(0)}(t) + \bar{V}_1(t) \frac{y-y_0}{\delta_2} + \bar{V}_2(t) \left( \frac{y-y_0}{\delta_2} \right)^2, \quad (122)$$

Коэффициенты  $\bar{U}_0$ ,  $\bar{V}_1$  и  $\bar{V}_2$  (аналогично  $\bar{P}_0$ ,  $\bar{V}_1$  и  $\bar{V}_2$ ) осредняются на граничных условиях:

$$\text{из (10): } \bar{U}_0^{(0)}(t) = \frac{\delta_1}{2k_1} \varphi_1 / y_0 + \frac{1}{2} (1 + \frac{k_0}{k_1}) T / (x_0, y_0)$$

и из (121), (62):

$$\bar{V}_1(t) = \frac{2}{\alpha(k_0 + kz)} \left[ 3(k_0 + kz)(U_0 - \bar{U}_0^{(0)}) + \alpha \delta z \bar{U}_0^{(0)} - \delta z \varphi \right], \quad (132)$$

$$\bar{V}_2(t) = -\frac{2}{3k_0 + kz} \left[ 2k_0(U_0 - \bar{U}_0^{(0)}) + \alpha \delta z \bar{U}_0^{(0)} - \delta z \varphi \right], \quad (142)$$



Таким образом, граничное условие (8) при  $x = x_0$ ,  $y = y_0$  принимает вид:

$$\frac{\rho_0 c_0}{2} \frac{\partial T}{\partial t} + \frac{\alpha k_0}{\delta_1(k_0+k_1)} T + \frac{4k_0}{\left(1 + \frac{k_0}{k_1}\right)\left(1 + \frac{k_0}{k_2}\right)} \left[ \frac{3(k_0+k_1)U_0 - 2(2k_0+k_1)\bar{U}_0^{(0)} - \delta_1 \varphi}{(3k_0+k_1)\delta_1^2} \right] + \frac{6k_0}{1 + \frac{k_0}{k_1}} \left[ \frac{2k_2 U_0 - (k_0+k_2)\bar{U}_0^{(0)} - \delta_2 \varphi}{(3k_0+k_2)\delta_2^2} \right] + F_1, \quad (152)$$

$$\text{где } F_1 = \frac{1}{k_0+k_1} \left[ \frac{k_0}{\delta_1} \varphi + \frac{\delta_1 k_0 k_1}{\delta_1(k_0+k_1)} \frac{\partial \varphi}{\partial x} - \rho_0 c_0 \frac{\delta_1}{2} \frac{\partial \varphi}{\partial t} \right]$$

Окончательное уравнение для  $T$  получаем из суммы (152) и аналогичного ему (151), полученного из (10), (12), (6) и (8), т.е. из уравнений, осредненных по координатам  $x$  и  $y$ .

В этих уравнениях (151) и (152) присутствует неизвестная функция  $U_0(t)$  - среднее значение температуры угловой зоны.

Для ее определения проинтегрируем граничное условие (8) с учетом (42) и следующего выражения:

$$U_0(t) = \frac{1}{\delta_2} \int_{y_0}^{y_1} \bar{U}_0(y, t) dy = \frac{1}{\delta_1 \delta_2} \int_{x_0}^{x_1} dx \int_{y_0}^{y_1} T_0(x, y, t) dy.$$

В результате получаем:

$$\rho_0 c_0 \frac{\partial U_0}{\partial t} = -\frac{\alpha}{\delta_1} \left( \bar{U}_0^{(0)} + \bar{V}_1 + \bar{V}_2 \right) + k_0 \left( 2 \frac{\bar{V}_2}{\delta_2^2} - \frac{\bar{V}_1}{\delta_1^2} \right) + \Phi_1,$$

$$\text{где } \Phi_1 = \frac{1}{\delta_1 \delta_2} \int_{y_0}^{y_1} \varphi dy, \quad (161)$$

и аналогично:

$$\rho_0 c_0 \frac{\partial U_0}{\partial t} = -\frac{\alpha}{\delta_2} \left( \bar{U}_0^{(0)} + \bar{V}_1 + \bar{V}_2 \right) + k_0 \left( 2 \frac{\bar{V}_2}{\delta_1^2} - \frac{\bar{V}_1}{\delta_2^2} \right) + \Phi_2,$$

$$\text{где } \Phi_2 = \frac{1}{\delta_1 \delta_2} \int_{x_0}^{x_1} \varphi dx, \quad (162)$$

Полусумма от этих выражений при подстановке (12) и (12а) дает окончательное выражение для  $U_0$ :

$$\rho_0 c_0 \frac{\partial U_0}{\partial t} = \frac{12k_0(2k_1U_0 - (k_0+k_1)\bar{U}_0^{(0)}) - (9k_0 - k_1)\delta_1 \varphi}{2\delta_1^2(3k_0+k_1)} + \frac{12k_0(2k_2U_0 - (k_0+k_2)\bar{U}_0^{(0)}) - (9k_0 - k_2)\delta_2 \varphi}{2\delta_2^2(3k_0+k_2)} = \frac{\partial U_0}{\partial t} \quad (17)$$

Таким образом, для расчета температуры в угловой точке (Т) необходимо рассмотреть следующую систему уравнений:

$$\begin{cases} (10) - \text{для } \bar{U}_0^{(0)} \text{ и } \bar{U}_0^{(2)}, \\ (17) - \text{для } U_0, \\ (15) - \text{для } T. \end{cases}$$

Она не содержит производных по пространственным переменным, что избавляет от необходимости решать уравнения специальными методами, увеличивающими сложность и время расчета. С ее помощью учитываются не только влияния граничных условий, но и характеристики материала слоев и точные размеры этой угловой области.

5. Конкретные расчеты проводились для сопряженной задачи с линейной аппроксимацией температуры в угловой точке и для задачи с применением МКЭ для угловой граничной подобласти, поскольку способ вычисления значения температуры в угловой зоне, или угловом узле, достаточно существенен при использовании сеточных методов расчета температурных полей.

Толщина основной области:  $y_0 - y_1 = x_0 - x_1 = 0,05 \text{ м}$ ,  
 толщина слоя:  $y_1 - y_0 = x_1 - x_0 = 0,005 \text{ м}$ ,  
 материал основной области - бетон:  $k = 0,175 \text{ Вт/м} \cdot \text{К}$ ,  
 $\rho = 1800 \text{ кг/м}^3$ ,  $c = 800 \text{ Дж/кг} \cdot \text{К}$ ,  
 материал слоя - металл:  $k_0 = 40,0 \text{ Вт/м} \cdot \text{К}$ ,  $\rho_0 = 7800 \text{ кг/м}^3$ ,  
 $c_0 = 502,4 \text{ Дж/кг} \cdot \text{К}$ ,  
 коэффициент теплообмена  $\alpha = 16 \text{ Вт/м}^2 \cdot \text{К}$ ,  
 температура внутренней поверхности  $T_1 = 293 \text{ К}$ ,  
 температура солнечного излучения  $T_2 = 773 \text{ К}$ .

Результаты сравнения решений сопряженной и



осредненной задач представлены на рис. 2. Здесь показаны изменения температуры в процессе нагрева для обеих задач в двух точках: в верхнем углу  $(x_0, y_0)$  с максимальной температурой и в нижнем углу  $(x_n, y_n)$  с минимальной температурой.

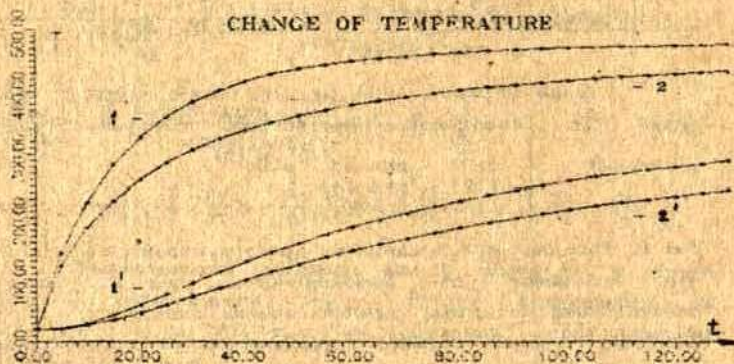


Рис. 2. Изменение температуры стенки в процессе нагрева.

1, 1' — для сопряженной задачи, 2, 2' — для осредненной задачи.  
1, 2 — температура в точке  $(x_0, y_0)$ , 1', 2' — в точке  $(x_n, y_n)$ .

Температура в выбранных точках выше для решения осредненной задачи, поскольку в ней учтена температура в слое. Для сопряженной же задачи дано значение температуры под слоем, в верхней точке основной области. Однако это влияние повышенной температуры переносится и вовнутрь области, что сказывается и на температуре в нижних точках. Для лучшего совпадения результатов можно использовать и другие способы аппроксимации температуры в угловой точке при решении сопряженной задачи.

В целом же результаты расчетов показали, что использование предложенного метода МКЭ, приведенного к решению одной двумерной задачи с неклассическим граничным условием, дает значительные преимущества в численной реализации и при выборе шага по времени.

## СПИСОК ЛИТЕРАТУРЫ

1. Самарский А. А. Об одной задаче распространения тепла // Вест. МГУ. — 1977. — Ч. 1. — № 3. — С. 85-101; Ч. 2. — № 5. — С. 119-129.
2. Самарский А. А. Теория разностных схем. — М.: Наука, 1976
3. Самарский А. А., Андреев В. Б. Разностные методы для эллиптических уравнений. — М.: Наука, 1976
4. Буйкис А. А. Изменение постановки задач математической физики с разрывными коэффициентами в составных областях // Электронное моделирование. — 1986. — № 6.
5. Буйкис А. А. Моделирование процессов фильтрации в сложных средах методом консервативного осреднения: Автореферат диссертации на соискание ученой степени доктора физ. мат. наук. — Казань, 1987
6. Буйкис А. А., Уланова Н. П. Математическое моделирование тепловых процессов вакуумной технологии: Тез. докл. 1 Респ. конф. "Численные методы моделирования технологических процессов." — Рига, 1989.
7. Буйкис А. А. Задачи математической физики с разрывными коэффициентами и их приложения. — Рига: Зинатне, — 1992. — 360с.

УДК 517.974:519.6

ПРИМЕНЕНИЕ МЕТОДА КОНСЕРВАТИВНОГО ОСРЕДНЕНИЯ ДЛЯ УГЛОВОЙ ОБЛАСТИ С ТОНКИМ СЛОЕМ. Буйкис А. А., Уланова Н. П. // Математическое моделирование. Прикладные задачи математической физики. Рига: ЛУ, 1992. Вып. 3.

Исследуется нестационарное температурное поле в двухслойной угловой области. Сравниваются решения двух постановок: исходной с условиями сопряжения, и постановки, полученной по методу консервативного осреднения (осреднения по толщине тонкого слоя).

KONSERVATĪVS VIDĀRŠANAS METODES PIELIETOJUMS  
 STĪVA APMĀSALĀ AR PLĀNU SLĀNI. Buiķis A.A., Ulanova N.P. //  
 Matemātiskā modelēšana. Tomatiskās fizikas II izpū-  
 problems. — Rīga: LU, 1992. — 3. sēj.



Ita nosacījumā temperatūras lauks diviņu  
 apgabalam ar stūri. Tiek salīdzināti divu problēmu  
 atrisinājumi: sākotnējai problēmai ar sākotnējām  
 nosacījumiem un nosacījumiem, kura iegūta ar konservatīvās  
 viduvēšanas metodi (viduvēšana pa plāni: kārtiņas biezumu).

MA 35Q99

THE APPLICATION OF THE CONSERVATED AVERAGING METHOD  
 FOR THE ANGULAR REGION WITH THIN LAYER. Buikis.A.A.,  
 Ulanova N.L. // The mathematical simulation. Applied tasks  
 of mathematical physics. Riga: LU, 1992. - Vol.3.

The transitional temperature field is researching  
 in the double layer angular region. For comparison is  
 representing the solutions of two formulations of the  
 problem: the starting problem with the boundary conjugate  
 conditions and the formulation, which he obtained by the  
 conserved averaging method (the averaging over layer  
 thickness ).

М.А. Белов  
 ЛУ, Рига  
 Л.А. Столярова  
 РТУ, Рига  
 С.М. Кдрупс  
 ЛУ, Рига

АСИМПТОТИЧЕСКИЕ ОЦЕНКИ ВЛИЯНИЯ ЖЕСТКО  
 ПРИКРЕПЛЕННЫХ ГРУЗОВ НА ДИНАМИКУ  
 ТОНКОСТЕННОЙ ЦИЛИНДРИЧЕСКОЙ ОБОЛОЧКИ

В настоящей работе на базе специальных асимптотических аппроксимаций ( $h/R \rightarrow +0$ ) построены простые инженерные формулы анализа задач динамики тонкостенных цилиндрических оболочек с жестко прикрепленными грузами. В математической модели учитываются лишь поперечные перемещения  $W$ . Это, конечно, приводит к существенному упрощению модели, но, как показано в [1,2], такое допущение приемлемо для инженерных расчетов.

Рассмотрен случай ортотропной цилиндрической оболочки толщиной  $h$ , длины  $L$  с радиусом срединной поверхности  $R$ , к боковой поверхности которой в точках с координатами  $(\alpha_j^*, \varphi_j)$ ,  $j=1, 2, \dots, N$  жестким образом прикреплены  $N$  грузов массой  $m_j^*$ . Боковая поверхность нагружается импульсом внешнего давления —  $g^*(\alpha^*, \varphi) \delta(t)$ , где функция  $g^*(\alpha^*, \varphi)$  является  $2\pi$ -периодической по аргументу  $\varphi$ . Переход к безразмерным величинам осуществляется следующим образом: продольная координата  $\alpha = \alpha^*/R$ ,  $\alpha^* \in [0, L]$ , прогиб  $w = W^*/R$ , приведенные массы  $m_j = m_j^*/(h\rho R^2)$ , время  $\tau = t/t_0$ , длина оболочки  $l = L/R$ , амплитуда импульса внешнего нагружения  $g = g^*/g_0$ , где  $\rho$  — размерная плотность материала оболочки и

$$t_0 = R [(1-\nu_1\nu_2)\rho]^{1/2} E_1^{-1/2}, \quad g_0 = h [E_1\rho/(1-\nu_1\nu_2)]^{1/2}. \quad (1)$$



Ниже используются также обозначения :

$$\varepsilon = h^2 / (12R^2), \quad \omega^2 = E_2 / E_1, \quad \gamma = \nu_2 + 2(1 - \nu_1 \nu_2) G / E_1. \quad (2)$$

В дальнейшем  $\varepsilon$  рассматривается как малый параметр.

### I. Математическая модель

Согласно принятым выше допущениям, математическая модель определения прогиба  $w$  при импульсном нагружении боковой поверхности цилиндрической оболочки имеет вид [3] :

$$\varepsilon \hat{L} w + \omega^2 w + \left(1 + \sum_{j=1}^N m_j \delta(\alpha - \alpha_j, \varphi - \varphi_j)\right) \frac{\partial^2 w}{\partial \tau^2} + g(\alpha, \varphi) \delta(\tau) = 0$$

$$\Lambda_1^{(1)} w|_{\alpha=0} = \Lambda_2^{(1)} w|_{\alpha=0} = \Lambda_1^{(2)} w|_{\alpha=l} = \Lambda_2^{(2)} w|_{\alpha=l} = 0,$$

$$\text{где} \quad w|_{\tau=0} = \partial w / \partial \tau|_{\tau=0} = 0; \quad (3)$$

$$\hat{L} = \frac{\partial^4}{\partial \alpha^4} + 2\gamma \frac{\partial^4}{\partial \alpha^2 \partial \varphi^2} + \omega^2 \frac{\partial^4}{\partial \varphi^4}; \quad (4)$$

$(\alpha_j, \varphi_j)$  — безразмерные координаты точек крепления грузов  $\alpha_j \in [0, l]$ ,  $\varphi_j \in [-\pi, \pi]$ ;  $\delta(\alpha, \varphi)$ ,  $\delta(\tau)$ , соответствующие  $\delta$ -функции Дирака,  $\Lambda_k^{(1)}$  и  $\Lambda_k^{(2)}$  — операторы граничных условий на левом ( $\alpha = 0$ ) и правом ( $\alpha = l$ ) торце оболочки.

### 2. Алгоритм решения

Более детально методика решения задачи (3) изложена в [4]. Здесь приведём лишь основные этапы алгоритма решения.

2.1. Применяется интегральное преобразование Лапласа по безразмерному времени  $\tau$ , причём, если  $f(\tau)$  — оригинал, то соответствующее изображение обозначается через  $\bar{f}(p)$ .

2.2. В пространстве изображений по Лапласу строится асимптотическая ( $\varepsilon \rightarrow +0$ ) аппроксимация функции Грина

$$\bar{G} = \bar{G}(\alpha, \varphi; x, \eta, q), \quad q = (p^2 + \omega^2) / \varepsilon, \text{ т.е. решения задачи:}$$

$$\varepsilon \hat{L} \bar{G} + (\omega^2 + p^2) \bar{G} = -\delta(\alpha - x, \varphi - \eta),$$

$$\Lambda_1^{(1)} \bar{G}|_{\alpha=0} = \Lambda_2^{(1)} \bar{G}|_{\alpha=0} = \Lambda_1^{(2)} \bar{G}|_{\alpha=l} = \Lambda_2^{(2)} \bar{G}|_{\alpha=l} = 0. \quad (5)$$

В первом приближении:

$$\bar{G} = \bar{G}_\infty + \bar{x} = \frac{1}{\varepsilon} \bar{\Omega}, \quad \bar{\Omega} = \bar{\Omega}_\infty + \bar{\Pi} \quad (6)$$

где

$$\bar{\Omega}_\infty = \frac{1}{2\pi\sqrt{\omega\eta}} \sum_{k=-\infty}^{+\infty} \frac{z_k^2}{S_k} \text{Kei}\left(\sqrt{\frac{\eta}{\omega^2}} \frac{z_k^2}{S_k}\right), \quad (7)$$

$$z_k = [\omega(\alpha-x)^2 + (\eta-2k\pi)^2]^{1/2}, \quad q = (\rho^2 + \omega^2)/\varepsilon, \quad (8)$$

$$S_k = [\omega^2(\alpha-x)^4 + 2\eta(\alpha-x)^2(\eta-2k\pi)^2 + (\eta-2k\pi)^4]^{1/4}, \quad (9)$$

$$\text{Kei}(z) = \frac{1}{2i} [K_0(e^{i\pi/4} z) - K_0(e^{-i\pi/4} z)], \quad (10)$$

$K_0(x)$  - функция Макдональда,

$$\bar{\Pi} = \sum_{j=1}^4 c_j v_j(\alpha), \quad (11)$$

$$v_1(\alpha) = \exp(-\alpha_1 \alpha), \quad v_2(\alpha) = \exp(-\alpha_2 \alpha), \\ v_3(\alpha) = \exp(\alpha_1(\alpha - \ell)), \quad v_4(\alpha) = \exp(\alpha_2(\alpha - \ell)), \quad (12)$$

$$\alpha_1 = \sqrt{q} \exp(i\pi/4), \quad \alpha_2 = \sqrt{q} \exp(-i\pi/4), \quad (13)$$

а для коэффициентов  $c_j$  имеем СЛАУ

$$\sum_{j=1}^4 a_{\mu j} c_j = b_\mu, \quad \mu = 1, 2, 3, 4; \quad (14)$$

где

$$a_{1j} = \Lambda_1^{(1)} v_j |_{\alpha=0}, \quad a_{2j} = \Lambda_2^{(1)} v_j |_{\alpha=0}, \\ a_{3j} = \Lambda_1^{(2)} v_j |_{\alpha=\ell}, \quad a_{4j} = \Lambda_2^{(2)} v_j |_{\alpha=\ell}, \quad (15)$$

$$b_1 = -\Lambda_1^{(1)} \bar{\Omega}_\infty |_{\alpha=0}, \quad b_2 = -\Lambda_2^{(1)} \bar{\Omega}_\infty |_{\alpha=0}, \\ b_3 = -\Lambda_1^{(2)} \bar{\Omega}_\infty |_{\alpha=\ell}, \quad b_4 = -\Lambda_2^{(2)} \bar{\Omega}_\infty |_{\alpha=\ell}, \quad (16)$$

причём  $\sqrt{q}$  имеет главное значение.

2.3. Используя функцию Грина  $\bar{G} = \bar{\Omega}/\varepsilon$ , получаем следующую асимптотическую ( $\varepsilon \rightarrow +0$ ) аппроксимацию решения задачи (3):

$$\bar{w} = \frac{1}{\varepsilon} \bar{W} = \frac{1}{\varepsilon} \bar{W}(\alpha, \varphi, q, \frac{\varepsilon}{\rho^2}), \quad q = \frac{\rho^2 + \omega^2}{\varepsilon}, \quad (17)$$

где



$$\bar{W} = \bar{W}_0(\alpha, \varphi, \varphi) + \sum_{j=1}^N \bar{x}_j \bar{W}_j(\alpha, \varphi, \varphi), \quad (18)$$

$$\bar{W}_0 = \int_0^{2\pi} \int_{-\pi}^{\pi} \bar{\Omega}(\alpha, \varphi; x, \eta, \varphi) g(x, \eta) dx d\eta, \quad (19)$$

$$\bar{W}_j = m_j \bar{\Omega}(\alpha, \varphi; \alpha_j, \varphi_j, \varphi), \quad (20)$$

а для определения  $\bar{x}_j = \bar{x}_j(q, \varepsilon/\rho^2)$ ,  $j=1, 2, \dots, N$  имеется СЛАУ

$$\sum_{j=1}^N a_{ij} \bar{x}_j - \frac{\varepsilon}{\rho^2} \bar{x}_i = b_i, \quad i=1, 2, \dots, N, \quad (21)$$

где

$$a_{ij} = \bar{W}_j|_{\substack{\alpha=\alpha_i \\ \varphi=\varphi_i}}, \quad b_i = -\bar{W}_0|_{\substack{\alpha=\alpha_i \\ \varphi=\varphi_i}}. \quad (22)$$

2.4. Методика обращения интегрального преобразования Лапласа базируется на структуре изображения (17) и на предположении, что искомый прогиб  $w$  может быть представлен в виде:

$$w = \operatorname{Re} [A(\alpha, \varphi, \varepsilon \tau) e^{-i\omega t}] = \\ = a(\alpha, \varphi, \varepsilon \tau) \cos \omega \tau + b(\alpha, \varphi, \varepsilon \tau) \sin \omega \tau, \quad (23)$$

где  $A(\alpha, \varphi, \varepsilon \tau) = a(\alpha, \varphi, \varepsilon \tau) + i b(\alpha, \varphi, \varepsilon \tau)$  — комплексная амплитуда с малой изменчивостью по  $\tau$ .

В этом случае из (17) имеем

$$\bar{w} = \frac{1}{\varepsilon} \bar{W}(\alpha, \varphi, \varphi, \frac{\varepsilon}{\rho^2}) = \int_0^{+\infty} e^{-\rho \tau} w(\alpha, \varphi, \tau; \varepsilon) d\tau. \quad (24)$$

Полагая в (24)  $\rho = -i\omega + \varepsilon z$ , учитывая (23) и проведя замену переменной интегрирования  $t = \varepsilon \tau$ , получаем:

$$\bar{W}(\alpha, \varphi, -2i\omega z + \varepsilon z^2, \frac{\varepsilon}{-\omega^2 - 2i\omega \varepsilon z + \varepsilon^2 z^2}) = \\ = \frac{1}{2} \int_0^{+\infty} e^{-zt} A(\alpha, \varphi, t) dt + \frac{1}{2} \int_0^{+\infty} e^{-zt} e^{2i\frac{\omega}{\varepsilon} t} A(\alpha, \varphi, t) dt, \quad (25)$$

здесь  $\bar{A} = a - i b$ .

При малых  $\varepsilon$  вторым интегралом в (25) можно пренебречь. В итоге, переобозначая  $z$  через  $\rho$ , получаем, что комплексная амплитуда  $A(\alpha, \varphi, t)$  имеет следующее изображение по Лапласу:

$$\int_0^{\infty} e^{-pt} A(\alpha, \varphi, t) dt = 2 \bar{W}(\alpha, \varphi, -2i\omega\rho + \varepsilon\rho^2, \frac{\varepsilon}{\varepsilon^2\rho^2 - 2i\omega\varepsilon\rho - \omega^2}). \quad (26)$$

Так как в (23) амплитуда  $A(\alpha, \varphi, t)$  необходима лишь для малых значений  $t = \varepsilon\tau$ , то для обращения (26) можно использовать более простые "инженерные" алгоритмы, дающие "хорошие" результаты для малых  $t$ . В частности, если воспользоваться простейшей формулой обращения

$$f(t) \approx (p \bar{f}(p)) \Big|_{p=1/t}, \quad (27)$$

то получим следующую инженерную формулу расчёта вынужденных колебаний оболочки:

$$\omega = \frac{2}{\varepsilon\tau} \operatorname{Re} \left[ e^{-i\omega\tau} \bar{W}(\alpha, \varphi, \frac{1-2i\omega\tau}{\varepsilon\tau^2}, \frac{\varepsilon\tau^2}{1-2i\omega\tau - \omega^2\tau^2}) \right], \quad (28)$$

где функция  $\bar{W}$  определена (16) и для своего вычисления требует лишь решения СЛАУ (14), (21) и вычисления интеграла (19). Из аналитической формулы (28) легко определяются и другие характеристики колебательного процесса.

### 3. Численный эксперимент и его анализ

Основные численные расчёты проводились для следующих параметров оболочки:  $L = 1$  м;  $R = 0,5$  м;  $h = 0,001$  м;  $\rho = 2740$  кг/м<sup>3</sup>;  $\nu_1 = \nu_2 = 0,3$  и для амплитуды импульса

$$g^* = \begin{cases} J^* \cos \varphi & , \quad |\varphi| \leq \pi/2, \\ 0 & , \quad \pi/2 \leq |\varphi| \leq \pi, \end{cases} \quad (29)$$

где  $J^* = 10$  Па·с.

Результаты численных экспериментов представлены в размерном виде на рис. 1 — 7.

Анализ результатов и аналитической формулы решения (28) позволяет сделать некоторые выводы и предложить ряд инженерных оценок динамики точечной цилиндрической оболочки при импульсном нагружении её боковой поверхности.

3.1. При начальных колебаниях оболочки влияние точек крепления грузов и торцов оболочки (граничных условий) локализовано (имеет вид пограничных слоёв). Причём области влияния точек крепления грузов не зависят от их массы (см.



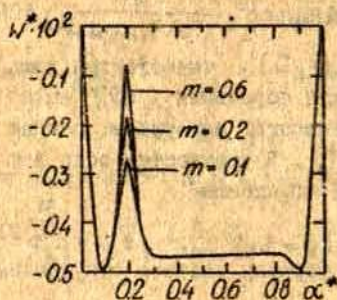


Рис. I.

Прогиб в сечении  $\varphi = 0$  при  $t = 0,01$  с.  $N = 1$ ,  $\alpha_1^* = 0,2$  м,  $\varphi_1 = 0$ . Верхняя линия соответствует массе  $m_1^* = 0,6$  кг, нижняя массе  $m_1^* = 0,1$  кг.  $E_1 = E_2 = 0,2 \cdot 10^7$  Н/м<sup>2</sup>,  $G = 0,1 \cdot 10^7$  Н/м<sup>2</sup>. Торцы оболочки заделаны жёстко.

рис. I, 2 и 4) и вида нагружения, а определяются лишь характеристиками оболочки и зависят от времени. Анализ аналитической формулы решения (28) позволяет дать следующую оценку области влияния жёстко закреплённой в точке  $(\alpha_j^*, \varphi_j)$  массы на динамический процесс (формулы приведены в размерном виде)

$$\Delta_j(\alpha^*, s^*) \leq \Delta(t), \quad (30)$$

где

$$\Delta_j(\alpha^*, s^*) = \sqrt{(\alpha^* - \alpha_j^*)^2 + (s^* - s_j^*)^2}, \quad s^* = R\varphi, \quad s_j^* = R\varphi_j, \quad (31)$$

$$\Delta(t) \sim 4 E_2^{1/8} R^{1/4} h^{1/2} [(1 - \nu_1 \nu_2) \rho]^{-1/8} \psi t^{1/4} \quad (32)$$

$$\psi = (\omega \cos^2 \theta + \sin^2 \theta)^{-1} (\omega^2 \cos^4 \theta + 2\gamma \cos^2 \theta \sin^2 \theta + \sin^4 \theta)^{1/4}, \quad (33)$$

а  $\theta$  — полярный угол при переходе  $\alpha^* - \alpha_j^* = 2 \cos \theta$ ,  $\varphi - \varphi_j = 2 \sin \theta$ .

Итак, в случае тонкостенных оболочек ( $h/R \rightarrow 0$ ) область влияния присоединённой массы на первых колебаниях весьма мала и с течением времени расширяется достаточно медленно (как  $t^{1/4}$ ).

Аналогичные оценки имеют место и для области влияния торцов оболочки. Пусть  $\alpha^* = \alpha_0^*$  — торец цилиндрической оболочки. Тогда область влияния этого торца имеет оценку:

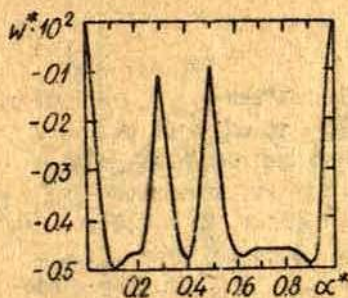


Рис.2.

Прогиб при  $\varphi = 0$ ,  $t = 0,01$  с.  $N = 2$ ;  $\psi_1 = \psi_2 = 0$ ,  
 $\alpha_1^* = 0,3$  м,  $\alpha_2^* = 0,5$  м,  
 $m_1^* = 0,4$  кг,  $m_2^* = 0,5$  кг;  
 $E_1 = E_2 = 0,2 \cdot 10^7$  Н/м<sup>2</sup>,  
 $G = 0,1 \cdot 10^7$  Н/м<sup>2</sup>. Торцы оболочки заделаны жёстко.

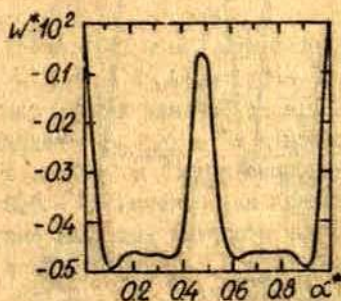


Рис.3.

Прогиб при  $\varphi = 0$ ,  $t = 0,01$  с.  $N = 2$ ,  $\psi_1 = \psi_2 = 0$ ,  
 $\alpha_1^* = 0,46$  м,  $\alpha_2^* = 0,5$  м,  
 $m_1^* = 0,4$  кг,  $m_2^* = 0,5$  кг;  
 $E_1 = E_2 = 0,2 \cdot 10^7$  Н/м<sup>2</sup>,  
 $G = 0,1 \cdot 10^7$  Н/м<sup>2</sup>. Торцы оболочки заделаны жёстко.

$$|\alpha^* - \alpha_0^*| \leq \Delta_1(t), \quad (34)$$

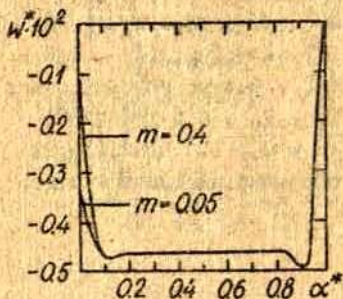
$$\Delta_1(t) \sim 4(R E_1 h^2)^{1/4} [E_2(1-\nu_1\nu_2)\rho]^{-1/8} t^{1/4}. \quad (35)$$

Область влияния граничного условия не зависит от способа закрепления торца оболочки. Это следует из аналитической формулы решения (28) (см. также рис.4).

Численные расчёты, проведённые для оболочки с параметрами:  $R = 0,5$  м,  $L = 1,0$  м,  $h = 0,005$  м,  $\nu_1 = 0,3$ ;  $\nu_2 = 0,45$ ;  $\rho = 2740$  кг/м<sup>3</sup>,  $E_1 = 0,2 \cdot 10^7$  Н/м<sup>2</sup>,  $E_2 = 0,3 \cdot 10^7$  Н/м<sup>2</sup>,  $G = 0,15 \cdot 10^7$  Н/м<sup>2</sup>, при жёсткой заделке торцов

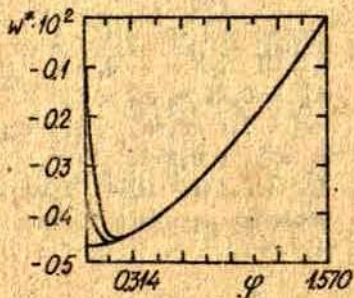


Рис. 4.



Прогиб при  $\varphi = 0, t = 0,01$  с.  
 $N = 1, \alpha_1^* = 0, \varphi_1 = 0$ .  
 Верхняя линия для  $m_1^* = 0,4$  кг, нижняя для  $m_1^* = 0,05$  кг.  $E_1 = 0,2 \cdot 10^7$  Н/м<sup>2</sup>,  
 $E_2 = 0,4 \cdot 10^7$  Н/м<sup>2</sup>,  $\nu = 0,15 \cdot 10^7$  Н/м<sup>2</sup>. Торцы оболочки  $\alpha^* = 0$  свободен, а торцы  $\alpha^* = 1$  м заделан жёстко.

Рис. 5.



Прогиб при  $t = 0,01$  с.  $N = 1, \alpha_1^* = 0,3$  м,  $\varphi_1 = 0; m_1^* = 0,5$  кг. Верхняя линия для сечения  $\alpha^* = 0,3$  м, средняя для сечения  $\alpha^* = 0,25$  м, а нижняя для сечения  $\alpha^* = 0,2$  м. Торцы оболочки заделаны жёстко.  $E_1 = 0,2 \cdot 10^7$  Н/м<sup>2</sup>,  $E_2 = 0,4 \cdot 10^7$  Н/м<sup>2</sup>,  $\nu = 0,15 \cdot 10^7$  Н/м<sup>2</sup>.

оболочки и в отсутствие присоединённых масс показали, что при  $0 \leq t \leq 0,5$  с.

$$|\alpha^* - \alpha_0^*| \leq 0,833 \cdot \Delta_1(t) \quad (36)$$

с относительной погрешностью  $\leq 11\%$ .

При тех же характеристиках оболочки для случая  $N = 1, m_1^* = 0,5$  кг,  $\alpha_1^* = 0,5$  м,  $\varphi_1 = 0$  и  $0 \leq t \leq 0,3$  с.

$$\Delta_1(\alpha^*, t) \leq 0,87 \cdot \Delta(t) \quad (37)$$

с относительной погрешностью  $\leq 12\%$ .

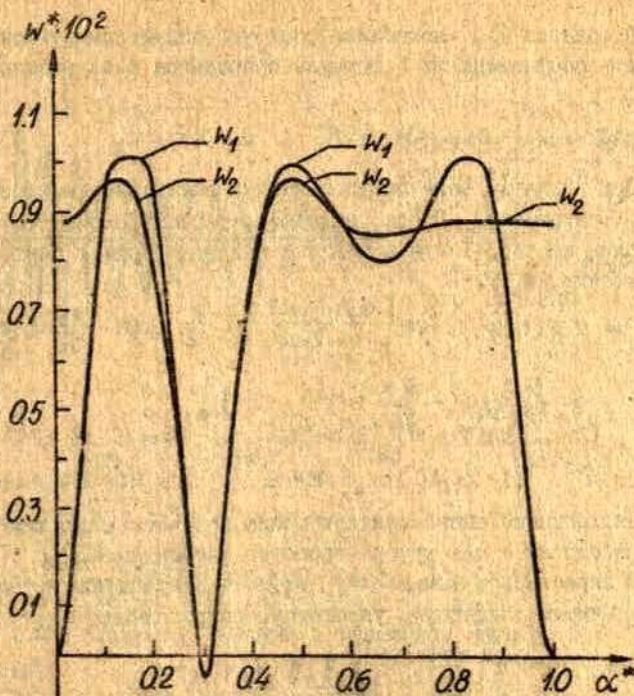


Рис. 6.

Прогиб при  $t = 0,5$  с.  $\varphi = 0$ ,  $N = 1$ ,  $\alpha_1^* = 0,3$  м,  $\varphi_1 = 0$ ,  $m_1^* = 0,4$  кг, линия  $W_1$  вычислена по формуле (28), а  $W_2$  по формуле (41);  $h = 0,005$  м,  $\nu_1 = 0,3$ ;  $\nu_2 = 0,45$ ;  $E_1 = 0,2 \cdot 10^7$  Н/м<sup>2</sup>,  $E_2 = 0,3 \cdot 10^7$  Н/м<sup>2</sup>,  $G = 0,15 \cdot 10^7$  Н/м<sup>2</sup>. Торцы оболочки заделаны жестко.

При  $t = 0,3$  с. зоны влияния торца оболочки и присоединенной массы встречаются, и структура колебательного процесса при  $t > 0,3$  с. усложняется.

3.2. Поверхность тонкостенной цилиндрической оболочки разбивается на области влияния прикрепленных грузов и торцов оболочки (сценки этих областей даны в п.3.1.) и на оставшуюся часть поверхности  $D_5$ . В начальный период, когда области влияния не пересекаются, динамику оболочки можно исследовать отдельно на каждой из выделенных областей (см. рис. 1-6).



В области  $D_3$  колебания оболочки аппроксимируются простейшими соотношениями ( формулы приводятся в безразмерном виде ) :

$$w = -\frac{1}{\omega} g(\alpha, \varphi) \sin \omega \tau, \quad \omega = \sqrt{E_2/E_1}. \quad (38)$$

При принятых выше предположениях аналитическое решение ( 28 ) упрощается. Пусть, например, торец оболочки  $\alpha = 0$  закреплён жёстко. Тогда в области влияния торца в первом приближении имеем:

$$w = 2g(0, \varphi) \tau \operatorname{Re} \left[ \frac{\exp(-i\omega\tau)}{1-2i\omega\tau} \left( \frac{\alpha}{\sqrt{2}} \exp(-\frac{\alpha}{\sqrt{2}} s_1(\tau)) + \frac{\alpha}{\sqrt{2}} \exp(-\frac{\alpha}{\sqrt{2}} s_1(\tau)) - 1 \right) \right], \quad (39)$$

где

$$s_1(\tau) = \tau^{-1/2} (1-2i\omega\tau)^{1/4}, \quad \alpha = e^{i\pi/4}, \quad \bar{\alpha} = e^{-i\pi/4}. \quad (40)$$

Аналогичные аппроксимации можно получить и для второго торца оболочки, и для других способов закрепления.

В окрестности точки  $(\alpha_j, \varphi_j)$  - закрепления груза массы  $m_j$  - имеем следующую, упрощённую аппроксимацию:

$$w = -2\tau \operatorname{Re} \left[ \frac{\exp(-i\omega\tau)}{1-2i\omega\tau} \left\{ g(\alpha, \varphi) + \frac{4m_j g(\alpha_j, \varphi_j)}{\pi(m_j + 8\sqrt{\omega E} s_1(\tau))} \left( \frac{\tau_j}{z_j} \right)^2 \operatorname{Kei} \left( \frac{z_j^2 s_0(\tau)}{\sqrt{E} z_j} \right) \right\} \right], \quad (41)$$

где

$$s_1(\tau) = \tau \frac{\sqrt{1-2i\omega\tau}}{1-2i\omega\tau - \omega^2 \tau^2}, \quad s_0(\tau) = (\tau\omega)^{-1/2} (1-2i\omega\tau)^{1/4}, \quad (42)$$

$$z_j = [\omega^2 (\alpha - \alpha_j)^2 + (\varphi - \varphi_j)^2]^{1/2}, \quad (43)$$

$$z_j = [\omega^2 (\alpha - \alpha_j)^4 + 2\omega (\alpha - \alpha_j)^2 (\varphi - \varphi_j)^2 + (\varphi - \varphi_j)^4]^{1/4}. \quad (44)$$

Сравнение счёта по формулам ( 28 ) и ( 41 ) представлено на рис. 6.

Из ( 41 ) следует аппроксимация движения  $w_j = w_j(\alpha_j, \varphi_j, \tau)$  жёстко присоединённой массы  $m_j$  :

$$w_j = 16 \sqrt{\omega E} \tau^2 g(\alpha_j, \varphi_j) \operatorname{Re} [ \exp(-i\omega\tau) / s_j(\tau) ], \quad (45)$$

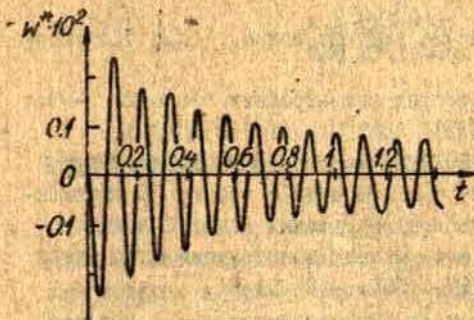


Рис. 7.

Прогнб в точке крепления груза.  $N = 1$ ,  $\alpha_1^* = 0,3$  м,  $\varphi_1 = 0$ ,  $m_j^* = 0,5$  кг,  $E_1 = E_2 = 0,2 \cdot 10^7$  н/м<sup>2</sup>,  $G = 0,1 \cdot 10^7$  н/м<sup>2</sup>. Торцы оболочки сделаны жёстко.

$$S_j(\tau) = (1 - 2i\omega\tau)^{1/2} (1 - 2i\omega\tau - \omega^2\tau^2)(m_j + 8\sqrt{\omega E} S_1(\tau)). \quad (46)$$

Отсюда имеем:

$$\omega_j \sim 16\sqrt{\omega E} \tau^2 g(\alpha_j, \varphi_j) / m_j, \quad \tau \rightarrow +0, \quad (47)$$

$$\omega_j \sim \frac{8\sqrt{2E} g(\alpha_j, \varphi_j)}{m_j \omega^2 \sqrt{\tau}} \cos(\omega\tau - \pi/4), \quad \tau \rightarrow +\infty. \quad (48)$$

Из (47) следует (формула в размерном виде):

$$\frac{\partial^2 \omega_j^*}{\partial t^2} \Big|_{t=0} = - \frac{16 h (E_1 E_2)^{1/4}}{\sqrt{3\rho} m_j^* \sqrt{1 - \nu_1 \nu_2}} g^*(\alpha_j^*, \varphi_j). \quad (49)$$

Отметим, что инерционная сила не зависит от массы прикрепленного груза.

3.3. Анализ формул решения позволяет выделить критическую массу жёстко прикрепленного груза  $m_0^* = R h^2 \rho$ . В расчётном примере  $m_0^* = 0,13$  кг. Если масса груза  $m_j^* < m_0^*$ , то при импульсном нагружении боковой поверхности такой груз можно считать "лёгким". Его воздействие на динамический процесс незначительно, и колебания оболочки близки к соответствующим колебаниям оболочки без грузов. При  $m_j^* \gg m_0^*$  груз является "тяжёлым", и при первых колебаниях оболочки точка крепления груза практически не движется (см. формулы (45) - (48)). Область  $m_j^* \sim m_0^*$  является переходной (см. рис. 1).

#### СПИСОК ЛИТЕРАТУРЫ

1. Алумяе Н.А. О применимости метода расщепления напряжённого состояния при решении осесимметричных задач динамики



- замкнутой цилиндрической оболочки//Изв.АН ЭССР.-1961. - № 3. - С. 171-181.
2. Слепян Л.И. Нестационарные упругие волны. - Л.: Судостроение, 1972. - 374 с.
  3. Амбарцумян С.А. Общая теория анизотропных оболочек. - М.: Наука, 1974. - 448 с.
  4. Белов М.А., Столярова Л.А. Инженерные формулы динамики тонкостенных цилиндрических оболочек с жёстко прикреплёнными грузами при импульсном нагружении боковой поверхности//Проектирование и оптимизация конструкций инженерных сооружений. - Рига.: РГУ, 1990. - С. 51-61.

УДК 539.3: 534.1

АСИМПТОТИЧЕСКИЕ ОЦЕНКИ ВЛИЯНИЯ ЖЁСТКО ПРИКРЕПЛЕННЫХ ГРУЗОВ НА ДИНАМИКУ ТОНКОСТЕННОЙ ЦИЛИНДРИЧЕСКОЙ ОБОЛОЧКИ. Белов М.А., Столярова Л.А., Юдрупс О.М.// Математическое моделирование. Прикладные задачи математической физики. - Рига: ЛУ, 1993.- Вып. 3

На базе специальных асимптотических аппроксимаций разработан достаточно простой аналитический метод расчёта вынужденных колебаний тонкостенной ортотропной цилиндрической оболочки с жёстко прикреплёнными грузами. Проведен анализ влияния жёстко прикреплённых грузов на динамику оболочки.

THE ASYMPTOTIC ESTIMATIONS OF THE FIRMLY FIXED LOADS INFLUENCE ON THIN-WALLED CYLINDRICAL SHELL DYNAMICS. Belov M.A., Stolarova L.A., Judrups O.M.// The mathematical simulation. Applied problems of mathematical physics. - Riga: LU, 1993. Vol. 3

Basing on special asymptotic approximations was worked out sufficiently simple analytic method for calculating of thin-walled cylindrical shell with firmly fixed loads forced oscillations. There was carried out the analysis of the firmly fixed loads influence on shell dynamics.

PLĀNU CILINDRISKU ČAULU DINAMIKAS ASIMPTOTISKIE NOVĒRĒJUMI ATKARĪBĀ NO NEKUSTĪGI PIESTIPRINĀTĀM MASĀM. Belovs M.A., Stolarova L.A., Judrups O.M. // Matemātiskā modelēšana. Matemātiskās fizikas lietiskās problēmas. - Rīga: LU, 1993. - 3. sēj.

Izmantojot speciālas asimptotiskas aproksimācijas, atrasta pietiekami vienkārša analītiska metode, kā aprēķināt plānas ortotropas cilindriskas čaulas uzspiestās svārstības, ja tai ir nekustīgi piestiprinātas masas. Veikta analīze, kā nekustīgi piestiprinātas masas ietekmē čaulas dinamiku.

А.Б.Цибулис  
ИМИ ЛУ, Рига

К ПРОБЛЕМЕ ОПРЕДЕЛЕНИЯ РЕШЕНИЯ ДЛЯ СИСТЕМ  
ЭЛЛИПТИЧЕСКИХ УРАВНЕНИЙ С РАЗРЫВНЫМИ НЕЛИНЕЙНОСТЯМИ

В /1/ был приведен пример "сглаженной системы", состоящей из двух эллиптических уравнений, для которой предельный переход в "классическом смысле" неосуществим. Другими словами, предельный переход в этой системе не приводит к системе такого же вида. Наличие таких примеров несколько проясняет сложность открытой проблемы введения обобщенного решения для систем уравнений с разрывными нелинейностями.

Сложность этой проблемы заключается в том, что не ясно, как же следует доопределить разрывные коэффициенты на так называемых двухфазных зонах. В отличие от системы, известно /2/, что для одного уравнения решение может быть введено так, что все разрывные коэффициенты в двухфазной зоне доопределяются единообразным способом - при помощи одной и той же неизвестной функции.

Ниже приведен пример системы со сглаженными коэффициентами, в которой возможен предельный переход в "классическом смысле", тем не менее не все коэффициенты предельной системы в двухфазной зоне могут быть заданы при помощи одной и той же неизвестной функции.

Существование такого примера вытекает из /1/, однако этот факт там остался незамеченным.

Пусть:

$$\Omega = (0, \pi) ; \quad W = \overset{\circ}{W}'_2(\Omega) ;$$

$$\alpha_1, \alpha_2 > 0, \quad \alpha_1 \neq \alpha_2 ;$$



$$\alpha(t) = \begin{cases} \alpha_1, & t < 0, \\ \alpha_2, & t > 0, \end{cases} \quad \beta(t) = \begin{cases} 1, & t < 0, \\ -1, & t > 0. \end{cases}$$

Пусть разрывные функции  $\alpha, \beta$  аппроксимируются непрерывными функциями  $\alpha^k, \beta^k$  следующим образом:

$$\alpha^k(t) = \alpha_2 \varphi^k(t) + \alpha_1 (1 - \varphi^k(t)), \quad (1)$$

$$\beta^k(t) = (-1) \varphi^k(t) + 1(1 - \varphi^k(t)) = 1 - 2\varphi^k(t), \quad (2)$$

где

$$\varphi^k(t) = \begin{cases} 0, & t \leq 0, \\ kt, & 0 < t < \frac{1}{k}, \\ 1, & t \geq \frac{1}{k}, \end{cases} \quad k=1, 2, \dots \quad (3)$$

Относительно  $u, v \in W$  рассмотрим систему со сглаженными коэффициентами:

$$\int_{-\Omega} \alpha^k(v) (u_x \eta_x + \zeta) dx = 0 \quad \forall \eta \in W \quad (4)$$

$$\int_{-\Omega} (v_x \psi_x + \beta^k(v)) dx = 0 \quad \forall \psi \in W \quad (5)$$

Заметим, что функция

$$v^k(x) = \frac{\sin^2 mx}{k}, \quad m = \sqrt{\frac{\epsilon}{2}}$$

удовлетворяет соотношению (5).

Действительно, так как  $0 \leq v^k \leq \frac{1}{k}$ , то согласно (2), (3)

$$\varphi^k(v^k) = kv^k, \quad \beta^k(v^k) = 1 - 2kv^k, \quad (6)$$

и следовательно:

$$\int_{\Omega} v_x^k \psi_x dx = - \int_{\Omega} v_{xx}^k \psi dx = - \int_{\Omega} \frac{2m^2}{k} (1 - 2 \sin^2 mx) \psi dx =$$

$$= - \int_{\Omega} (1 - 2kv^k) \psi dx = - \int_{\Omega} \beta^k(v^k) \psi dx.$$

ВР (4) (ВР - вариационное равенство), в которое вместо  $v$  подставлена функция  $v^k$ , имеет единственное решение  $u^k$ , см., например, /3/, причем без ограничения общности можно считать, что последовательность  $\{u^k\}$  сходится слабо к некоторому  $u^0$  в пространстве  $W$ .

В силу  $G$ -сходимости /4/ имеем:

$$\int_{\Omega} \alpha^k(v^k) u_x^k \eta_x dx \xrightarrow{k \rightarrow \infty} \int_{\Omega} \alpha^0 u_x^0 \eta_x dx, \quad (7)$$

где  $\alpha^0$  определяется из соотношения

$$\frac{1}{\alpha^k(v^k)} \xrightarrow{k \rightarrow \infty} \frac{1}{\alpha^0} \quad (8)$$

Далее ради простоты изложения будем считать, что  $k$  пробегает лишь те значения натуральных чисел, при которых число  $m$  - целое.

Поскольку  $kv^k = \sin^2 mx \rightarrow \frac{1}{2}$  при  $k \rightarrow \infty$ , то согласно (I), (6)  $\alpha^k(v^k) = (\alpha_2 - \alpha_1) + kv^{k+\alpha_1} \rightarrow \alpha^0 =$   
 $= \frac{\alpha_1 + \alpha_2}{2}$  . Поэтому

$$\int_{\Omega} \alpha^k(v^k) \eta dx \xrightarrow{k \rightarrow \infty} \int_{\Omega} \alpha^0 \eta dx,$$



что наряду с (7) дает следующее предельное соотношение

$$\int_{-\Omega}^{\Omega} (\alpha^{\varepsilon} (v^{\varepsilon}) u_x^{\varepsilon} \zeta_x + \alpha^{\varepsilon} (v^{\varepsilon}) \zeta) dx \xrightarrow{\varepsilon \rightarrow 0} \int_{-\Omega}^{\Omega} (\alpha^0 u_x^0 \zeta_x + \alpha^0 \zeta) dx$$

Покажем, что  $\alpha^0 \neq \alpha^*$ . Действительно, непосредственным вычислением получаем, что при любом целом  $m$

$$\int_0^{\bar{x}} \frac{dx}{(\alpha_2 - \alpha_1) \sin^2 mx + \alpha_1} = \frac{\bar{x}}{\sqrt{\alpha_1 \alpha_2}},$$

поэтому вследствие (8)

$$\int_0^{\bar{x}} \frac{dx}{\alpha^0} = \frac{\bar{x}}{\sqrt{\alpha_1 \alpha_2}}.$$

С другой стороны,

$$\int_0^{\bar{x}} \frac{dx}{\alpha^*} = \frac{2\bar{x}}{\alpha_1 + \alpha_2} \neq \frac{\bar{x}}{\sqrt{\alpha_1 \alpha_2}},$$

и, следовательно,  $\alpha^0 \neq \alpha^*$ , так как  $\alpha_1 \neq \alpha_2$ .

Учитывая, что  $v^{\varepsilon} \rightarrow v^0$  ( $v^0 \equiv 0$ ) сильно в  $W$  и  $\beta^{\varepsilon} (v^{\varepsilon}) \rightarrow \beta^0$  ( $\beta^0 \equiv 0$ ) слабо в  $L_2$  при  $\varepsilon \rightarrow \infty$ , переходя к пределу в системе (4)-(5), получим:

$$\int_{-\Omega}^{\Omega} (\alpha^0 u_x^0 \zeta_x + \alpha^0 \zeta) dx = 0 \quad \forall \zeta \in W \quad (9)$$

$$\int_{-\Omega}^{\Omega} (v_x^0 \chi_x + \beta^0 \chi) dx = 0 \quad \forall \chi \in W$$

Коэффициенты  $\alpha^0$ ,  $\alpha^*$ ,  $\beta^0$  этой системы не могут быть представлены в виде:

$$\rho = \rho^+ \varphi^* + \rho^- (1 - \varphi^*) \quad (10)$$

с одной и той же функцией  $\varphi^* : \Omega \rightarrow [0, 1]$  для  $\rho = \alpha^0, \alpha^*, \beta^0$ . (Здесь через  $\rho^+$ ,  $\rho^-$  обозначены соответственно правый и левый пределы функции  $\rho$  при  $t \rightarrow 0$ ). Это немедленно следует из того, что  $\alpha^0 \neq \alpha^*$ .

Более того, ни при какой функции  $q$  со значениями из замкнутого интеграла с конечными точками  $\alpha_1, \alpha_2$  не может выполняться следующее ВР, предельное для (4)

$$\int_{\Omega} q(x) (u_x^0 \eta_x + \eta) dx = 0 \quad \forall \eta \in W. \quad (11)$$

Допустим, что такая функция  $q$ , удовлетворяющая (11), существует. Тогда непосредственно по определению обобщенной производной

$$(q u_x^0)_x = q \quad (12)$$

В одномерном случае это равенство выполняется для обычной производной почти всюду в  $\Omega$  (см., например, /5, с. 143/).

Заметим, что единственным решением ВР (9) является функция

$$u^0(x) = \frac{\alpha^*}{2\alpha^0} (x^2 - \pi x).$$

Отсюда и из (12) получаем, что для почти всех  $x \in \Omega$

$$q(x) = c \left(x - \frac{\pi}{2}\right)^{-1},$$

где  $\gamma = \alpha^0/\alpha^* - 1$ , а  $c$  — произвольная постоянная.



Поскольку  $f < 0$ , то  $z(\tau) \rightarrow \infty$  при  $\tau \rightarrow \frac{f}{2}$ , что противоречит ограниченности функции  $z$ .

Замечание. Пусть вместо (2) функция  $\beta$  аппроксимируется следующим способом:

$$\beta^*(t) = 1 - 2\varphi^*(t + \frac{1}{2k}). \quad (13)$$

Тогда система (4)-(5) имеет решение  $u^* = (x^2 - \pi x)/2$ ,

$v^* = 0$ , и при  $t \rightarrow \infty$  получим следующую систему:

$$\int_{\Omega} \alpha_1 (u_x \varphi_x + \eta) dx = 0 \quad \forall \eta \in W \quad (14)$$

$$\int_{\Omega} (v_x \varphi_x + \beta^0 \varphi) dx = 0 \quad \forall \varphi \in W \quad (15)$$

с  $\alpha_1$ ,  $\beta^0$  не представимыми в виде (10) с одной и той же функцией  $\varphi^*$ . Тем не менее решение  $(u, v) = (x^2 - \pi x, 0)$  этой системы удовлетворяет другой системе, коэффициенты которой уже представимы в виде (10) (с функцией  $\varphi^* = 1/2$ ), а именно, системе, которая отличается от (14)-(15) лишь тем, что вместо  $\alpha_1$  взято число  $\alpha^*$ .

Более того, последняя система может быть получена как предел сглаженной системы (4)-(5), если  $\beta$  аппроксимируется согласно (13), а  $\alpha$  по формуле

$$\alpha^*(t) = (\alpha_2 - \alpha_1) \varphi^*(t + \frac{1}{2k}) + \alpha_1.$$

## СПИСОК ЛИТЕРАТУРЫ

1. Цибулис А.Б. О предельном переходе в одной системе эллиптических уравнений при сглаживании разрывных нелинейностей // Латв.матем.ежегодник. - 1988. - Вып.32. - С.50-54.
2. Цибулис А.Б. О разрешимости эллиптических уравнений с коэффициентами, терпящими разрывы на поверхностях вида  $U = g(x)$  // Латв.матем.ежегодник. - 1985. - Вып.29. - С.100-111.
3. Ладыженская О.А., Уральцева Н.Н. Линейные и квазилинейные уравнения эллиптического типа // М.:Наука, 1973. - 576 с.
4. Олейник О.А. О распространении тепла в многомерных дисперсных средах // Задачи механики и математической физики. - М., 1976. - С.224-236.
5. Избранные главы анализа и высшей алгебры. - Л.: ЛГУ, 1981. - 200 с.



УДК 517.95

К ПРОБЛЕМЕ ОПРЕДЕЛЕНИЯ РЕШЕНИЯ ДЛЯ СИСТЕМ ЭЛЛИПТИЧЕСКИХ УРАВНЕНИЙ С РАЗРЫВНЫМИ НЕЛИНЕЙНОСТЯМИ. Цибулис А.Б.  
 // Математическое моделирование. Прикладные задачи математической физики. - Рига: ЛУ, 1993. - Вып.3

На основе специально выбранного примера системы эллиптических уравнений с РН (РН - разрывные нелинейности) показано, что различные способы аппроксимации РН, вообще говоря, приводят к различным предельным системам. Это в определенном смысле освещает сложность открытой проблемы введения решения для систем уравнений с РН.

TO THE PROBLEM OF THE DEFINITION OF SOLUTION FOR SYSTEMS OF ELLIPTIC EQUATIONS WITH DISCONTINUOUS NONLINEARITIES. Cibulis A. // The Mathematical simulation. Applied problems of mathematical physics. - Riga: LU, 1993. - Vol.3.

On a basis on the specially selected example of the system of elliptic equations with DN (DN - discontinuous nonlinearities) it is shown that different ways of the approximation of DN lead to the different, generally speaking, limit systems. This elucidate in a certain sense the complexity of the open problem of the definition of the solution for systems of equations with DN.

MSC. 35J45

PAR ATRISINĀJUMA DEFINĒŠANAS PROBLĒMU ELIPTISKU VIENĀDOJUMU SISTĒMĀM AR PĀRRAUTĀM NELINEARITĀTĒM. Cibulis A.  
 // Matemātiskā modelēšana. Matemātiskās fizikas lietiskās problēmas. - Rīga: LU, 1993. - 3.sēj.

Pamatojoties uz speciāli izvēlētas eliptisku vienādojumu sistēmas ar PN (PN - pārtrauktās nelinearitātes) piemēru, pierādīts, ka dažādi PN aproksimācijas veidi, vispārīgi runājot, dod dažādas robežsistēmas. Tas zināmā nozīnē izgaismo atklātās problēmas - kā definēt atrisinājumu eliptisku vienādojumu sistēmām ar PN? - sareģītību.

## ВНУТРЕННИЕ НАПРЯЖЕНИЯ В МОНОКРИСТАЛЛАХ С НЕОДНОРОДНЫМ СОСТАВОМ

В малодислокационных монокристаллах основную роль в нарушении совершенства структуры материала играет неравномерное распределение по объему точечных дефектов. Точечная дефектность проявляется в различных формах: сегрегационное распределение примеси, слоистое распределение по полосам роста, канальная неоднородность, образование примесных субструктур, включения и т.д. Помимо изменения оптических, электрических, магнитных и других физических свойств, неравномерность распределения точечных дефектов приводит к появлению внутренних напряжений, которые снижают прочностные характеристики материала. Величина внутренних напряжений определяется локальными градиентами концентрации дефектов и природой микрон неоднородности.

В работе рассмотрен метод расчета напряженного состояния монокристаллов с распределением дефектов по полосам роста. Этот тип структурной неоднородности наблюдается в металлах, ионных кристаллах, полупроводниках, гранатах при выращивании методами зонной плавки, Чохральского, Вернейля и обусловлен либо неравномерностью распределения легирующей примеси, либо отклонением состава соединения от стехиометрического. Обзор и библиография работ по механизмам возникновения и структуре слоистой неоднородности содержатся в /1,2/.

1. Базисное поле пластической деформации. Рассмотрим бесконечную изотропную среду с распределенными точечными дефектами. В общем случае полная деформация  $\epsilon_{ij}^T$  представима в виде

$$\epsilon_{ij}^T = \epsilon_{ij} + \epsilon_{ij}^P,$$

где  $\epsilon_{ij}$  - упругая деформация;  $\epsilon_{ij}^P$  - несовместная деформация, порождаемая распределенными дефектами. Следуя терминологии, принятой в континуальной теории /3/, величину  $\epsilon_{ij}^P$  будем



называть базисным полем пластической деформации. Числовость поля  $\epsilon_{ij}^p$  является источником внутренних напряжений, поскольку она вызывает упругие деформации  $\epsilon_{ij}^e$  такие, что полная деформация  $\epsilon_{ij}^T$  удовлетворяет условиям совместности.  $\epsilon_{ij}^p$  находится по следующей схеме. Вначале рассматривается изолированный дефект в бесконечной среде. Методами теории упругости определяется порождаемое этим дефектом поле полных перемещений  $\vec{U}_i^T$ . Далее находится полная дисторсия  $\vec{\beta}_{ij}^T = \vec{U}_{i,j}^T$ , симметричная сингулярная часть которой определяет базисное поле пластической деформации  $\epsilon_{ij}^p$  изолированного дефекта. Для дефекта точечного типа сингулярность сосредоточена в точке (для дефекта дислокационного типа - на линии). Базисное поле  $\epsilon_{ij}^p$  среды с равномерно распределенными дефектами вычисляется путем осреднения по ансамблю базисных полей  $\epsilon_{ij}^p$  изолированных дефектов.

Для определения поля  $\vec{U}_i^T$  воспользуемся методом силовых мультиполей [4]. Для дефекта, расположенного в начале координат, имеем

$$\vec{U}_i^T(\vec{r}) = -G_{ij,k}(\vec{r})P_k^{(1)} + \frac{1}{2!}G_{ij,kl}(\vec{r})P_{kl}^{(2)} - \frac{1}{3!}G_{ij,klm}(\vec{r})P_{klm}^{(3)} + \dots \quad (1.1)$$

где  $G_{ij,k}(\vec{r})$  - тензор перемещений Грина;  $P_k^{(1)}$  - дипольный,  $P_{kl}^{(2)}$  - квадрупольный,  $P_{klm}^{(3)}$  - октупольный и т.д. моменты дополнительных сил, с которыми точечный дефект действует на соседние атомы кристаллической решетки. Мультипольные моменты определяются при помощи теории решетки, либо дискретно-непрерывным методом с использованием экспериментальных данных о рассеянии фононов, нейтронов или рентгеновских лучей. Ограничимся рассмотрением дипольного приближения, поскольку оно определяет поля, наиболее медленно убывающие на бесконечности. Подставляя в (1.1) выражение для тензора Грина изотропной среды [4] и сохраняя только первый член разложения, после вычислений находим

$$\vec{\beta}_{ij}^T(\vec{r}) = -\frac{P_k^{(1)}}{8\pi\mu} \left( \delta_{ij,k} \Gamma_{,ppr} - \frac{\lambda+\mu}{\lambda+2\mu} \Gamma_{,ij,ns} \right), \quad (1.2)$$

где  $\lambda, \mu$  - постоянные Ламе;  $\delta_{ij,k}$  - символ Кронекера. Входящие в (1.2) четвертые производные модуля радиус-вектора содержат

формальную и сингулярную составляющие  $\Delta/\epsilon$ :  $\Gamma_{ijkl} = \Gamma_{ijkl}^{(1)} + \Gamma_{ijkl}^{(s)}$ . Сингулярная составляющая равна

$$\Gamma_{ijkl}^{(s)} = -\frac{8\pi}{15} \delta(\vec{r}) (\delta_{ij} \delta_{kl} + \delta_{ik} \delta_{jl} + \delta_{il} \delta_{jk}), \quad (1.3)$$

$\delta(\vec{r})$  - распределение Дирака. Выделяя из (1.2) сингулярную часть по правилу (1.3), находим пластическую дилатацию  $\bar{\beta}_{ij}^p$ , а затем и базисное поле пластической деформации изолированного диполя:

$$\bar{\epsilon}_{ij}^p(\vec{r}) = \frac{1}{2} (\bar{\beta}_{ij}^p + \bar{\beta}_{ji}^p) = \frac{1}{15\mu(\lambda+2\mu)} [(3\lambda+8\mu)P_{ij}^{(11)} - (\lambda+\mu)P_{\alpha\alpha}^{(11)} \delta_{ij}] \delta(\vec{r}). \quad (1.4)$$

Обозначим через  $\delta V$  изменение объема образца, вызванное наличием в нем изолированного дефекта. Из формулы  $\delta V = \int \bar{\epsilon}_{\alpha\alpha}^p(\vec{r}) dV$  и (1.4) находим первый инвариант дипольного момента

$$P_{\alpha\alpha}^{(11)} = 3(\lambda+2\mu)\delta V.$$

Тогда (1.4) можно записать в виде

$$\bar{\epsilon}_{ij}^p(\vec{r}) = \left[ \frac{\delta V}{3} \delta_{ij} + \frac{1}{15\mu} \frac{3\lambda+8\mu}{\lambda+2\mu} D_{ij} \right] \delta(\vec{r}), \quad (1.5)$$

где  $D_{ij} = P_{ij}^{(11)} - \frac{1}{3} P_{\alpha\alpha}^{(11)} \delta_{ij}$  - девиатор дипольного момента.

Теперь рассмотрим среду с распределенными дефектами. Выделим физически малый объем  $v(\vec{r})$ , содержащий достаточно большое число  $N$  дефектов, и проведем по нему осреднение

$$\epsilon_{ij}^p(\vec{r}) = \frac{1}{v} \int_{v(\vec{r}')} \sum_{n=1}^N \bar{\epsilon}_{ij}^p(\vec{r}-\vec{r}'_n) dv'. \quad (1.6)$$

Из (1.5) и (1.6) находим искомое поле  $\epsilon_{ij}^p$  в дипольном приближении

$$\epsilon_{ij}^p(\vec{r}) = \left[ \frac{\delta V}{3} \delta_{ij} + \frac{1}{15\mu} \frac{3\lambda+8\mu}{\lambda+2\mu} D_{ij} \right] c(\vec{r}), \quad (1.7)$$

где  $c = \frac{N}{v}$  - объемная концентрация дефектов.

Первое слагаемое базисного поля (1.7) характеризует чисто дилатационные свойства дефектов, а второе слагаемое описывает искажение формы кристаллической решетки. Для дефектов, принадлежащих к группам симметрии  $\Pi_d$  и  $\Phi_h$ , девиаторы дипольных моментов  $D_{ij} = 0$  [4]. В этом случае базисное поле  $\epsilon_{ij}^p$  соответствует дефектам типа энтроп дилатации

$$\epsilon_{ij}^p(\vec{r}) = \frac{1}{3} \delta V \delta_{ij} c(\vec{r}). \quad (1.8)$$

Дефекты такого типа обычно моделируются сферическими жесткими



включениями, либо системами трех равных двойных взаимно перпендикулярных сил /6,7/.

Если базисное поле пластической деформации, отвечающее заданной дефектной структуре, определено, то расчет напряженно-деформированного состояния сводится к решению континуальных неоднородных уравнений равновесия теории упругости /3/

$$\mu \Delta \vec{u} + (\lambda + \mu) \nabla_{i,j} u_{j,i} = 2\mu \varepsilon_{i,j}^p + \lambda \varepsilon_{s,s,i}^p \quad (1.9)$$

совместно с краевыми условиями, заданными в терминах средних поверхностных сил, либо средних смещений.

2. Внутренние напряжения в цилиндрическом кристалле. Рассмотрим изотропный цилиндрический кристалл радиуса  $R$  и длиной  $L$  с точечными дефектами класса симметрии  $T_d$  или  $\Phi_n$ , концентрация которых  $\sigma(r, z)$  ( $r$  - радиальная,  $z$  - осевая координаты) является осесимметричной и периодической по  $z$  функцией с периодом  $T \ll L$ . Уравнения равновесия (1.9), записанные в инвариантной форме, с учетом (1.8) имеют вид

$$\nabla_r \vec{u}^T + \frac{1}{1-2\nu} \nabla \nabla \cdot \vec{u}^T = 2 \frac{1+\nu}{1-2\nu} \frac{\delta V}{3} \nabla \sigma; \quad \nu = \frac{\lambda}{2(\lambda + \mu)}. \quad (2.1)$$

Боковая поверхность цилиндра свободна от нагрузок

$$\sigma_{rr}(r, z) = 0, \quad \sigma_{rz}(r, z) = 0 \quad \text{при } r = R \quad (2.2)$$

При отсутствии внешних нагрузок условия  $\sigma(r, z) = \sigma(r, z + T)$  и  $T \ll L$  приводят к тому, что влияние краевых условий на торцах цилиндра на напряженно-деформированное состояние быстро убывает по мере удаления от них. В дальнейшей области, непосредственно прилегающие к торцам цилиндра, исключаются из рассмотрения.

Для решения задачи (2.1), (2.2) перемещения  $\vec{u}^T$ , тензор полных деформаций  $\hat{\varepsilon}^T$  и тензор напряжений  $\hat{\sigma}$  представим в виде суперпозиции  $\vec{u}^T = \vec{u}^c + \vec{u}^o$ ,  $\hat{\varepsilon}^T = \hat{\varepsilon}^c + \hat{\varepsilon}^o$ ,  $\hat{\sigma} = \hat{\sigma}^c + \hat{\sigma}^o$ . Поля  $\vec{u}^c$ ,  $\hat{\varepsilon}^c$ ,  $\hat{\sigma}^c$  соответствуют задаче о равновесии бесконечной среды с заданным распределением дефектов  $\sigma(r, z)$ , а  $\vec{u}^o$ ,  $\hat{\varepsilon}^o$ ,  $\hat{\sigma}^o$  - задаче о равновесии бездефектного цилиндра, на боковую поверхность которого действует нормальная  $-\sigma_{rr}^c(R, z)$  и тангенциальная  $-\sigma_{rz}^c(R, z)$  нагрузки.

Поле  $\vec{u}^c$  определяется потенциалом перемещений Гудьера /8/  $\vec{u}^c = \nabla \psi$ , который удовлетворяет уравнению Пуассона

$$\nabla \cdot \nabla \phi = \frac{1+\nu}{1-\nu} \frac{\delta V}{\mathcal{J}} \phi. \quad (2.3)$$

Частное решение этого уравнения имеет вид

$$\phi(r, z) = -R^2 \frac{1+\nu}{1-\nu} \frac{\delta V}{\mathcal{J}} \sum_{k=1}^{\infty} \sum_{n=1}^{\infty} \frac{J_0(\lambda_n r/R)}{\lambda_n^2 + \beta_k^2 R^2} \left[ C_{kn}^{(1)} \cos \beta_k z + C_{kn}^{(2)} \sin \beta_k z \right], \quad (2.4)$$

где  $\beta_k = \frac{2k\pi}{l}$ ;  $\lambda_n$  - положительные корни уравнения  $HJ_0(\lambda) - \lambda J_1(\lambda) = 0$ ,  $H > 0$ ;  $C_{kn}^{(i)}$  - коэффициенты разложения функции  $\phi(r, z)$  в ряд Фурье по  $z$  и в ряд Дини-Бесселя по  $r$ . Напряжения  $\hat{\sigma}^c$  вычисляются через потенциал перемещений  $\phi$  по Фриуле

$$\hat{\sigma}^c = \frac{E}{1+\nu} (\nabla \nabla \phi - \hat{I} \nabla \cdot \nabla \phi), \quad (2.5)$$

где  $\hat{I}$  - единичный тензор второго ранга;  $E$  - модуль Юнга.

Поле  $\hat{u}^0$  находится с помощью представления Папкозича-Нейбера  $\mathcal{N}$ . В осесимметричном случае  $\hat{u}^0 = (u_r^0, 0, u_z^0)$ , причем

$$\begin{aligned} u_r^0(r, z) = \sum_{k=1}^{\infty} \left\{ [\beta_k r I_0(\beta_k r) - 4(1-\nu) I_1(\beta_k r)] (A_k^{(1)} \cos \beta_k z + A_k^{(2)} \sin \beta_k z) + \right. \\ \left. + \beta_k I_1(\beta_k r) (B_k^{(1)} \cos \beta_k z + B_k^{(2)} \sin \beta_k z) \right\}; \\ u_z^0(r, z) = \sum_{k=1}^{\infty} \left[ \beta_k r I_1(\beta_k r) (-A_k^{(1)} \sin \beta_k z + A_k^{(2)} \cos \beta_k z) + \right. \\ \left. + \beta_k I_0(\beta_k r) (-B_k^{(1)} \sin \beta_k z + B_k^{(2)} \cos \beta_k z) \right]. \end{aligned} \quad (2.6)$$

Напряжения  $\hat{\sigma}^0$  связаны с перемещениями  $\hat{u}^0$  соотношением

$$\hat{\sigma}^0 = \frac{E}{1+\nu} \left[ \frac{1}{2} (\nabla \hat{u}^0 + \hat{u}^0 \nabla) + \frac{1}{1-2\nu} \hat{I} \nabla \cdot \hat{u}^0 \right]. \quad (2.7)$$

Входящие в (2.6) постоянные  $A_k^{(i)}$ ,  $B_k^{(i)}$  определяются из краевых условий (2.2) с учетом (2.4), (2.5) и (2.6), (2.7).

3. Асимптотическое решение при плоском распределении дефектов. Пусть  $\phi = \phi(z)$  и  $T/R \ll 1$ . Такое распределение дефектов реализуется в монокристаллах с однородной полосчатой структурой, выращенных в условиях плоского фронта кристаллизации. В этом случае (2.3) вырождается в обыкновенное по  $z$  дифференциальное уравнение, с помощью которого из (2.5) непосредственно находятся компоненты тензора  $\hat{\sigma}^c$

$$\sigma_{rr}^c = \sigma_{\phi\phi}^c = -\frac{E}{1-\nu} \frac{\delta V}{\mathcal{J}} \phi(z), \quad \sigma_{zz}^c = \sigma_{rz}^c = 0. \quad (3.1)$$

Поле  $\hat{\sigma}^c$  порождается действием на боковой поверхности цилиндра нормальной нагрузки  $\frac{E}{1-\nu} \frac{\delta V}{\mathcal{J}} \phi(z)$ . Условие  $T/R \ll 1$  означает, что



эта нагрузка является высокочастотной. Следовательно, радиальное распределение компонент тензора  $\hat{\sigma}^0$  имеет характер краевого эффекта: они быстро убывают по мере удаления от боковой поверхности цилиндра. Выражения для компонент тензора  $\hat{\sigma}^0$  получим из (2.7) путем асимптотического разложения (2.6) по малому параметру  $T/R$ . Используя разложения бесселевых функций  $I_p(x)$  при  $x \gg 1$ , после вычислений с сохранением главных членов асимптотических разложений получим:

$$\begin{aligned} \sigma_{rr}^0 &\approx \frac{E}{1-\nu} \frac{\delta V}{3} \sum_{k=1}^{\infty} \frac{e^{-\zeta_k}}{\sqrt{\rho}} \left[ 1 + \zeta_k + \frac{1}{2} \left( 1 + \frac{3\rho^2 - 7}{4\rho} \right) \right] (C_k^{(1)} \cos \beta_k z + C_k^{(2)} \sin \beta_k z); \\ \sigma_{\phi\phi}^0 &\approx \frac{E}{1-\nu} \frac{\delta V}{3} \sum_{k=1}^{\infty} \frac{e^{-\zeta_k}}{\sqrt{\rho}} \left( 2\nu + \frac{1-\rho}{\rho} \right) (C_k^{(1)} \cos \beta_k z + C_k^{(2)} \sin \beta_k z); \\ \sigma_{zz}^0 &\approx \frac{E}{1-\nu} \frac{\delta V}{3} \sum_{k=1}^{\infty} \frac{e^{-\zeta_k}}{\sqrt{\rho}} \left[ 2 - \zeta_k - \frac{1}{2} \left( 1 + \frac{1+3\rho^2}{4\rho} \right) \right] (C_k^{(1)} \cos \beta_k z + C_k^{(2)} \sin \beta_k z); \\ \sigma_{rz}^0 &\approx \frac{E}{1-\nu} \frac{\delta V}{3} \sum_{k=1}^{\infty} \frac{e^{-\zeta_k}}{\sqrt{\rho}} \left( \zeta_k + \frac{3}{8} \frac{\rho^2 - 1}{\rho} \right) (-C_k^{(1)} \sin \beta_k z + C_k^{(2)} \cos \beta_k z), \end{aligned} \quad (3.2)$$

где  $\zeta_k = \beta_k R(1-\rho)$ ;  $\rho = r/R$ ;  $1-\epsilon < \rho \leq 1$ ;  $\epsilon = T/R$  - размер зоны краевого эффекта;  $C_k^{(i)}$  - коэффициенты Фурье функции  $\sigma(z)$ .

Таким образом, напряженное состояние цилиндра с плоской полосчатой неоднородностью разделяется на два: в основном массиве цилиндра в области  $0 \leq \rho \leq 1-\epsilon$  имеет место плоское напряженное состояние (3.1), а в тонком слое у боковой поверхности  $1-\epsilon < \rho \leq 1$  реализуется объемное напряженное состояние, являющееся суперпозицией (3.1) и (3.2). В частности, на боковой поверхности

$$\begin{aligned} \sigma_{rr}(R, z) = \sigma_{rz}(R, z) = 0; \quad \sigma_{\phi\phi}(R, z) = -(1-2\nu) \frac{E}{1-\nu} \frac{\delta V}{3} \sigma(z); \\ \sigma_{zz}(R, z) = \frac{E}{1-\nu} \frac{\delta V}{3} \sigma(z). \end{aligned}$$

#### 4. Внутренние напряжения в монокристаллах

$Gd_3Ga_5O_{12}$ . Монокристаллы гадолиний-галлиевого граната (ГГГ), выращенные методом Чохральского, имеют низкую плотность дислокаций ( $1+100 \text{ см}^{-2}$  /10,11/) и четко выраженную полосчатую структуру /10,12,13/, обусловленную неоднородностью

химического состава соединения. Рассмотрим монокристалл исходного состава  $Gd_{3+x}Ga_{3-x}O_{12}$ . Монокристалл состава  $Gd_{3+x}Ga_{3-x}O_{12}$  при  $x/x_0$  рассматривается как среда с распределенными дефектами (твердый раствор замещения). Установим выполнение сделанных в п.2 основных предположений. Для ГТГ фактор анизотропии  $A=1.05/14\%$ . При избытке гадолиния замещение ионов галлия происходит в октаэдрических позициях  $1/15$ . Следовательно, ГТГ переменного состава может рассматриваться как изотропная среда с распределенными дефектами класса симметрии  $O_h$ .

При изменении состава на величину  $\Delta x = x - x_0$  относительное изменение размера  $a_0$  решетки равно  $1/16$

$$\frac{\Delta a_0}{a_0} = \left[ \frac{r(Gd^{3+})}{r(Ga^{3+})} - 1 \right] \cdot 0.0284 \Delta x, \quad (4.1)$$

где  $r(Gd^{3+}) = 1.06 \text{ \AA}$  и  $r(Ga^{3+}) = 0.62 \text{ \AA}$  - радиусы катионов  $Gd^{3+}$  и  $Ga^{3+}$   $1/17$ . С другой стороны, для кубической решетки

$$\frac{\Delta a_0}{a_0} = \frac{\delta V}{3} \sigma_0. \quad (4.2)$$

Формулы (4.1), (4.2) и (1.8) устанавливают связь между составом монокристалла ГТГ и базисным полем пластической деформации. Характерный уровень внутренних напряжений соответствует зоне плоского напряженного состояния и, согласно (3.1), (4.2), равен

$$\sigma_0 = \frac{B}{1-\nu} \frac{\Delta a_0}{a_0}. \quad (4.3)$$

В дальнейшем все напряжения нормируются к величине  $\sigma_0$ . Оценим пределы изменения  $\sigma_0$ , исходя из литературных данных. Упругие постоянные ГТГ равны  $1/18$ :  $E = 2.25 \cdot 10^5 \text{ МПа}$ ,  $\nu = 0.28$ . Согласно  $1/16$ , при образовании монокристаллической фазы ГТГ в расплаве перед фронтом кристаллизации концентрация  $Ga_2O_3$  не ниже  $55.5 \text{ мол\%}$  и не выше  $69 \text{ мол\%}$ , что соответствует изменению состава  $x$  жидкой фазы в пределах  $-0.52 \leq x \leq 0.56$ . Используя экспериментальную зависимость  $1/16$  состава  $x$  твердой фазы граната от состава  $x$  жидкой фазы, находим  $0.03 \leq x \leq 0.08$ . При конгруэнтном составе  $Gd_{3.05}Ga_{4.95}O_{12}$  ( $x_0 = 0.05$ )  $-0.02 \leq \Delta x \leq 0.033$ . Из (4.1) и (4.3) получаем оценки для  $\sigma_0$

$$-200 \text{ МПа} \leq \sigma_0 \leq 100 \text{ МПа}. \quad (4.4)$$

При статическом плоском напряженном состоянии хрупкое



растрескивание гранатовых пленок происходит при напряжениях порядка 400 МПа [19], а в опытах на одноосную ползучесть развитое пластическое деформирование наблюдается при температурах  $>1670^\circ\text{K}$  и напряжениях порядка 200 МПа [14]. Оценка (4.4) показывает, что в ИТГ с переменным составом внутренние напряжения могут достигать значений, сопоставимых с критическими.

Исследуем характер пространственного распределения внутренних напряжений. Пусть  $\sigma(r, z)$  изменяется по гармоническому закону вдоль оси  $z$  и по параболическому закону по  $r$

$$\sigma(r, z) = \sigma_0 \cos \beta(z - \delta r^2 / R^2); \quad \beta = 2\pi / T. \quad (4.5)$$

Распределение (4.5) соответствует полосчатой структуре состава монокристалла, выращенного в условиях плоского ( $\delta=0$ ), либо искривленного ( $\delta \neq 0$ ) фронта кристаллизации. При этом предполагается, что на поверхности фронта состав однороден. Параметры  $\sigma_0, T, \delta$  определяются конкретными технологическими условиями выращивания монокристалла.

Радиальное распределение напряжений показано на рис. 1 при  $\delta=0$ . Здесь и в дальнейшем принято  $T = 0.1R$ . Расчет проводился в сечениях  $z=0$  для нормальных и в сечениях  $z=T/4$  для касательных компонент тензора напряжений. При соблюдении условия  $T \ll R$  период неоднородности не влияет на величину максимальных напряжений, которые не зависят также и от искривленности фронта кристаллизации, но при  $\delta \neq 0$  радиальное распределение напряжений становится осциллирующим с частотой  $\sim \delta / T$ .

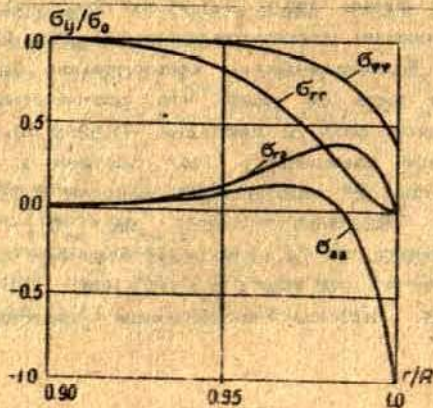


Рис. 1.

При определенных условиях монокристаллы ГГГ пластически деформируются путем сдвигания: /14/. Аналогично, как и в э.щ. металлах, сдвигание идет вдоль диагоналей куба  $\langle 111 \rangle$  по

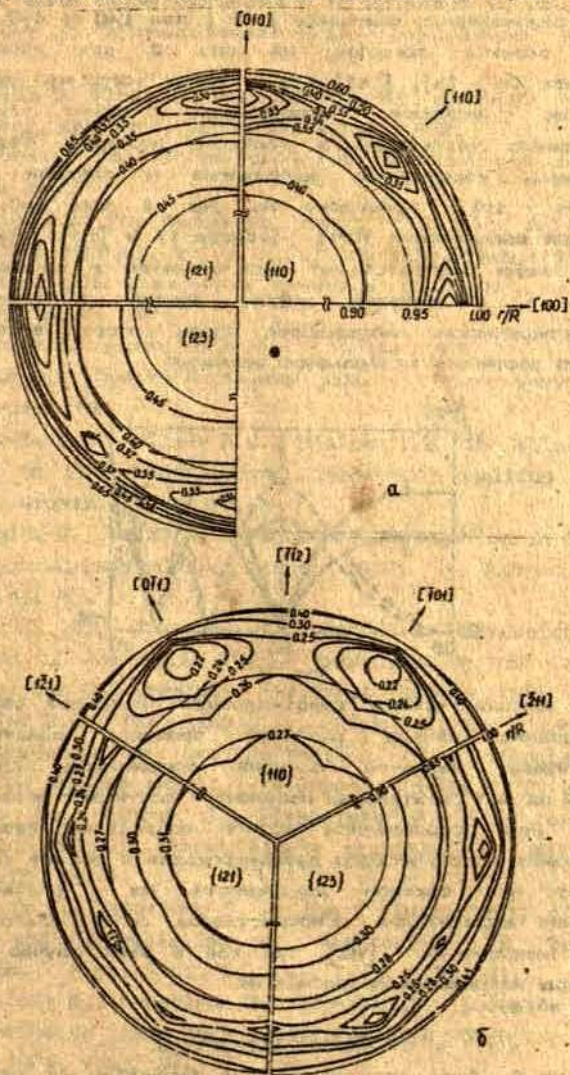


Рис. 2.



плоскостям  $\{110\}$ ,  $\{121\}$ ,  $\{123\}$ . Для каждого семейства систем скольжения рассчитывались максимальные касательные напряжения. Изолинии безразмерных значений  $|\tau/\sigma_0|$  при  $z=0$  и  $\delta=0$  в зоне краевого эффекта показаны на рис. 2 для направлений выращивания  $[001]$  (а),  $[111]$  (б) с учетом того, что указанные направления являются поворотными осями симметрии соответственно четвертого и третьего порядков. Радиальное распределение касательных напряжений в главной системе скольжения  $110$  приведено на рис. 3 при  $\delta=0,1R$  для направлений выращивания  $[001]$  (кривые 1) и  $[111]$  (кривые 2). Сплошные линии соответствуют распределению в сечении  $z=0$ , штриховые - в сечении  $z=1/4$ . Кривые построены для кристаллографических направлений, вдоль которых касательные напряжения достигают наибольшего значения.

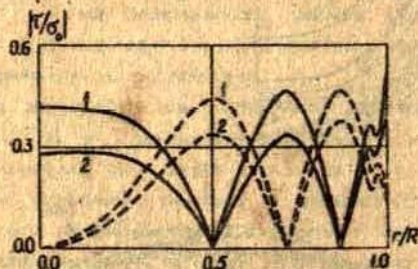


Рис. 3.

При плоском фронте кристаллизации наиболее опасной, с точки зрения начала развития процесса пластического деформирования, является боковая поверхность кристалла, поскольку на ней касательные напряжения достигают максимальных значений. При искривленном фронте возрастает вероятность инициирования пластического деформирования в объеме кристалла вдали от его боковой поверхности. Из рассмотренных направлений выращивания монокристаллов более благоприятным является направление  $[111]$ , так как в этом случае уровень касательных напряжений более низкий.

#### Список литературы

1. Carlberg T. Some aspects on the formation of striations during crystal growth from the melt.- J.Cryst. Growth,

1987, v.85, N 1-2.

2. Мильвидский М.Г., Освенский В.Б. Структурные дефекты в монокристаллах полупроводников. - М: Металлургия, 1984.
3. Де Вит Р. Континуальная теория дисклинаций. - М: Мир, 1977.
4. Teodosiu C. Elastic models of crystal defects. - Berlin, Heidelberg, New York, Springer-Verlag, 1982.
5. Шермергор Т.Д. Теория упругости микронеоднородных сред. - М: Наука, 1977.
6. Eshelby J.D. The continuum theory of lattice defects. - In: Solid State Physics, vol.3. N.Y.: Academic Press, 1956.
7. Косевич А.М. Физическая механика реальных кристаллов. - Киев: Наук. думка, 1981.
8. Новацкий В. Теория упругости. - М: Мир, 1975.
9. Лурье А.И. Пространственные задачи теории упругости. - М: Гостехиздат, 1955.
10. Brandle C.D., Miller D.C., Nielsen J.W. The elimination of defects in Czochralski grown rare-earth gallium garnets. - J.Cryst. Growth, 1972, v.12, N3.
11. Schmidt W., Weiss R. Dislocation propagation in Czochralski grown gadolinium gallium garnet (GGG). - J.Cryst. Growth, 1978, v.43, N5.
12. Takagi K., Fukazawa T., Ishii M. Inversion of the direction of the solid-liquid interface on the Czochralski growth of the GGG crystals. - J.Cryst. Growth, 1976, v.32, N1.
13. Miller D.C., Valentino A.J., Shick L.K. The effect of melt flow phenomena on the perfection of Czochralski grown gadolinium gallium garnet. - J.Cryst. Growth, 1978, v.44, N2.
14. Garem H., Rabier J., Veysiere P. Slip systems in gadolinium gallium garnet single crystals. - J.Water. Sci., 1982, v.17, N3.
15. Rabier J., Veysiere P., Grilhe J. Possibility of stacking faults and dissociation of dislocation in the garnet structure. - Phys. Stat. Sol. (a), 1976, v.35, N1.
16. Allibert M., Chatillon B., Marechal J., Lissalde P., Et. de du diagramme de phase dans le système  $Gd_2O_3-Ga_2O_3$ . - J. Cryst. Growth, 1974, v.23, N4.
17. Состав-дефектность-свойство твердых фаз. Метод кластерных



компонентов. - М: Наука, 1977.

18. Хариков Е.В., Китаева В.Ф., Осико В.В., Рустамов И.Р., Соболев Н.Н. Упругие, фотоупругие и теплофизические характеристики гадолиний-скандий-галлиевого граната // Физика твердого тела. - 1984. - Т.26, вып.5.

19. Tolksdorf W., Bartels G., Espinosa G.R., Holst P., Matejka D., Weiz F. Controlled lattice constant mismatch by compositional changes in liquid phase epitaxially grown single crystal films of rare earth yttrium gallium garnet substrates. - J.Cryst. Growth, 1972, v.17, N1.

УДК 548.571:539.319

ВНУТРЕННИЕ НАПРЯЖЕНИЯ В МОНОКРИСТАЛЛАХ С НЕОДНОРОДНЫМ СОСТАВОМ. Юшанов С.П. // Математическое моделирование. Прикладные задачи математической физики. - Рига: ЛУ, 1992. - Вып.3. Предложен метод расчета внутренних напряжений в бездислокационных кристаллах с заданным распределением точечных дефектов. Построено решение для изотропного цилиндра с дефектами класса симметрии  $T_d$  или  $O_h$ . На примере  $Gd_3Ga_5O_{12}$  получены оценки для величины внутренних напряжений и исследован характер их пространственного распределения. Определены области, наиболее опасные с точки зрения начала пластического деформирования. Ил. 3, библиогр. 19.

IEKŠĒJE SPRIEGUMI MONOKRISTĀLOS AR NEVIENDAĪĪGU SASTĀVU. Jušanovs S. // Matemātiskā modelēšana. Matemātiskās fizikas lietiskās problēmas. - Rīga: LĪ, 1992. - 3. sēj.

Tiek piedāvāta iekšējo spriegumu aprēķinu metode bezdislokāciju kristālos ar uzdotu punkveida defektu sadalījumu. Ir atrasts atrisinājums cilindriskā apgabali ar defektiem no  $T_d$  vai  $O_h$  simetrijas klasēm. Atrisinot konkrētu piemēru  $Gd_3Ga_5O_{12}$  materiālam, ir iegūts iekšējo spriegumu vērtību novērtējums un ir izpētīts to telpiskā sadalījums raksturs. Ir noteikti apgabali, kuros iespējama plastiskā deformācija. 3 il., bibliogr. 19 nos.

INNER STRESSES IN INHOMOGENEOUS CRYSTALS. Jušanov S.P. // In: The mathematical simulation. Applied problems of mathematical physics. Riga: LĪ, 1992. - Vol.3.

The method of stress calculation for crystals with low dislocation density and with prescribed point defects distribution is proposed. The solution for isotropic cylinder with defects of  $T_d$  or  $O_h$  class symmetry is constructed. The magnitude of residual stresses and their spatial distribution are calculated for  $Gd_3Ga_5O_{12}$  crystals. The most dangerous regions where plastic deformation could be developed are analysed. Fig. 3, ref.19.

Х.Э. КАЛИС  
Латвийский университет

ОПРЕДЕЛЕНИЕ ОПТИМАЛЬНЫХ КОЭФФИЦИЕНТОВ МЕТОДА ЛОКАЛЬНОЙ  
РЕЛАКСАЦИИ ДЛЯ РЕШЕНИЯ УРАВНЕНИЯ ТЕПЛОПРОВОДНОСТИ  
В ДВУХСЛОЙНОЙ СРЕДЕ

Для расчета температурного поля в слоях расплава (алюминий и электролит) алюминиевого электролизера рассматривается прямоугольная призма  $\Omega = \{(x, y, z) : |x| \leq L_x, |y| \leq L_y, 0 \leq z \leq H_2\}$ , одну часть из которой  $\Omega_1 = \{(x, y, z) : |x| \leq L_x, |y| \leq L_y, 0 \leq z \leq H_1\}$  занимает жидкий алюминий, а другая  $\Omega_2 = \{(x, y, z) : |x| \leq L_x, |y| \leq L_y, H_1 < z \leq H_2\}$  - электролит. Здесь  $L_x, L_y$  - полупланина и полупирина электролизной ванны,  $H_2$  - высота расплава, которая на порядок меньше чем  $L_x, L_y, H_1$  - высота алюминия. Трехмерные тепловые поля в зависимости от скорости течения расплава и электрического тока описываются уравнениями теплопроводности в двухслойной среде [1/

$$\rho_k c_{p_k} \vec{\nabla} \text{grad } T_k = \text{div}(\lambda_k \text{grad } T_k) + q_k, \quad k=1; 2, \quad (1)$$

где

$T_k = T_k(x, y, z)$  - температура  $K$ -ого слоя ( $K=1$  - слой алюминия;  $K=2$  - слой электролита),

$\rho_k, c_{p_k}, \lambda_k$  - коэффициенты удельной теплоемкости, плотности и теплопроводности сред,

$q_k = j_k^2 / \sigma_k$  - источник Джоулева тепла,

$\vec{j}_k$  - вектор плотности электрического тока,

$\sigma_k$  - коэффициент электропроводности  $K$ -ого слоя,

$\vec{v}_k = (u_k, v_k, 0)$  - вектор скорости осредненного планарного течения расплава,



$u_k = u_k(x, y), v_k = v_k(x, y)$  - составляющие вектора скорости, удовлетворяющие уравнению неразрывности

$$\operatorname{div} \vec{v}_k = \partial u_k / \partial x + \partial v_k / \partial y = 0.$$

Краевая задача теплопроводности замыкается граничными условиями 3-го рода

$$-\lambda \frac{\partial T}{\partial n} = \alpha (T - T_B) \quad (2)$$

и условиями сопряжения на поверхности раздела сред ( $z = H_1$ ) вида

$$\left\{ \begin{array}{l} T_1 = T_2 \\ \lambda_1 \partial T_1 / \partial z = \lambda_2 \partial T_2 / \partial z, \end{array} \right. \quad (3)$$

где  $\vec{n}$  - внешняя нормаль на границе,

$T_B$  - температура примыкающей внешней среды,

$\alpha$  - коэффициент теплоотдачи (если внешний слой изолированный, то  $\alpha = 0$ , а в случае заданной температуры  $\alpha = \infty$ ).

Из (2) следует, что при  $z = 0$  (нижняя граница алюминия) и  $z = H_2$  (поверхность электролита) соответственно

$$\lambda_1 \partial T_1 / \partial z = \alpha_1 (T_1 - T_{B1}), \quad (4)$$

$$-\lambda_2 \partial T_2 / \partial z = \alpha_2 (T_2 - T_{B2}), \quad (5)$$

где коэффициенты теплоотдачи  $\alpha_1, \alpha_2$  и также внешние температуры  $T_{B1}, T_{B2}$  могут зависеть от  $x, y$  координат.

Для понижения размерности применяются операция осреднения по высотам слоев  $H_1, H_2$  и сплайновая аппроксимация по переменной  $z$ . Следовательно, проведя осреднение уравнения (1) в  $K$ -ом слое расплава по высоте слоя  $l_k = H_k - H_{k-1}$  ( $k = 1; 2, H_0 = 0$ ) и применяя интерполяцию с параболическим сплайном [2]

$$T_k(x, y, z) = \bar{T}_k(x, y) + m_k (z - \bar{z}_k) + \frac{q_k}{l_k} \left[ (z - \bar{z}_k)^2 / l_k^2 - \frac{1}{12} \right], \quad (6)$$

имеем

$$2e_k l_k^{-1} + L(\bar{T}_k) + \bar{q}_k = 0, \quad (7)$$

где

$$L(\bar{T}_k) = \frac{\partial}{\partial x} (\lambda_k \frac{\partial \bar{T}_k}{\partial x}) + \frac{\partial}{\partial y} (\lambda_k \frac{\partial \bar{T}_k}{\partial y}) - \rho_k C_{p_k} (u_k \frac{\partial \bar{T}_k}{\partial x} + v_k \frac{\partial \bar{T}_k}{\partial y}),$$

$$\bar{T}_k = L_k^{-1} \int_{H_{k-1}}^{H_k} T_k(x, y, z) dz, \quad \bar{q}_k = L_k^{-1} \int_{H_{k-1}}^{H_k} q_k(x, y, z) dz,$$

$$\bar{z}_k = (H_k + H_{k-1})/2, \quad b_k = L_k / \lambda_k.$$

Коэффициенты сплайна (6)  $m_k, e_k$  с учетом условий (2-5) вычисляются следующим образом:

$$e_1 = -A_1 \bar{T}_1 + B \bar{T}_2 + C_1, \quad e_2 = B \bar{T}_1 - A_2 \bar{T}_2 + C_2, \quad (8)$$

$$\lambda_1 m_1 = [\alpha_1 (\bar{T}_1 - T_{\beta_1}) + e_1 (1 + \alpha_1 b_1 / 6)] (1 + \alpha_1 b_1 / 2)^{-1},$$

$$\lambda_2 m_2 = [\alpha_2 (T_{\beta_2} - \bar{T}_2) - e_2 (1 + \alpha_2 b_2 / 6)] (1 + \alpha_2 b_2 / 2)^{-1},$$

где

$$A_1 = 4\delta^{-1} [1 + \alpha_1 b_1 + \frac{1}{3} b_2 (\alpha_1 + \alpha_2 + \alpha_1 \alpha_2 (b_1 + b_2)) - \alpha_1 \alpha_2 b_2^2 / 4] > 0,$$

$$A_2 = 4\delta^{-1} [1 + \alpha_2 b_2 + \frac{1}{3} b_1 (\alpha_1 + \alpha_2 + \alpha_1 \alpha_2 (b_1 + b_2)) - \alpha_1 \alpha_2 b_1^2 / 4] > 0,$$

$$B = (2 + \alpha_1 b_1)(2 + \alpha_2 b_2) \delta^{-1} > 0, \quad b_1 = (2 + \alpha_1 b_2) b_2 / 3,$$

$$C_1 = \delta^{-1} [\alpha_1 T_{\beta_1} b_2 - \alpha_2 T_{\beta_2} b_1], \quad C_2 = \delta^{-1} [\alpha_2 T_{\beta_2} a_1 - \alpha_1 T_{\beta_1} a_2],$$

$$\delta = \frac{8}{3} [ (b_1 + b_2) (1 + \alpha_1 \alpha_2 b_1 b_2 / 12) + (b_1 + 4b_2 / 3) \alpha_2 b_2 / 4 + (b_2 + 4b_1 / 3) \alpha_1 b_1 / 4 ],$$

$$a_1 = (b_2 + b_1) (1 + \alpha_1 b_1 / 6) + (b_2 / 3 + b_1) (1 + \alpha_1 b_2 / 2), \quad b_2 = (b_1 + b_2) (1 + \alpha_2 b_2 / 6) + (b_2 / 3 + b_1) (1 + \alpha_2 b_1 / 2),$$

$$a_2 = (2 + \alpha_2 b_2) b_1 / 3.$$

В случае граничных условий первого рода (4), (5) надо в формулах (8) перейти к пределу, когда  $\alpha_1$  или  $\alpha_2$  стремятся к бесконечности.



Следовательно, в слоях алюминия и электролита имеем связанную систему двух уравнений ( $B \neq 0$ ) в виде:

$$\begin{aligned} \Delta \bar{T}_1 - \frac{C_1 \rho_1}{\lambda_1} (u_1 \frac{\partial \bar{T}_1}{\partial x} + v_1 \frac{\partial \bar{T}_1}{\partial y}) - \frac{A_1}{x_1} \bar{T}_1 + \frac{B}{x_1} \bar{T}_2 + \frac{C_1}{x_1} + \frac{\bar{q}_1}{\lambda_1} &= 0 \\ \Delta \bar{T}_2 - \frac{C_2 \rho_2}{\lambda_2} (u_2 \frac{\partial \bar{T}_2}{\partial x} + v_2 \frac{\partial \bar{T}_2}{\partial y}) + \frac{B}{x_2} \bar{T}_1 - \frac{A_2}{x_2} \bar{T}_2 + \frac{C_2}{x_2} + \frac{\bar{q}_2}{\lambda_2} &= 0, \end{aligned} \quad (9)$$

где  $x_k = l_k \lambda_k / 2$ ,  $k = 1; 2$ .

Уравнения (9) решаются соответственно в  $(x, y)$  сечениях областей  $\Omega_1$  и  $\Omega_2$  при граничных условиях вида (2)

$$\lambda_k \frac{\partial \bar{T}_k}{\partial n} = \alpha_k (\bar{T}_k - \bar{T}_{Bk}), \quad k = 1; 2, \quad (10)$$

где  $\bar{T}_{Bk}$  - средняя внешняя температура в  $k$ -ом слое.

Для решения краевой задачи (9), (10) методом сеток применяются монотонные разностные схемы, которые реализуются методом локальной релаксации.

Для ускорения сходимости итерационного процесса определяются оптимальные коэффициенты релаксации при помощи "замораживания" коэффициентов разностных уравнений.

1. Пусть  $u_1 = v_1 = u_2 = v_2 = 0$ , т.е. течение расплава отсутствует. Тогда систему уравнений (9) можно переписать в векторном виде

$$\Delta \vec{T} + \mathcal{A} \vec{T} + \vec{F} = 0, \quad (11)$$

где

$$\vec{T} = \begin{pmatrix} \bar{T}_1 \\ \bar{T}_2 \end{pmatrix}, \quad \vec{F} = \begin{pmatrix} C_1 x_1^{-1} + \bar{q}_1 \lambda_1^{-1} \\ C_2 x_2^{-1} + \bar{q}_2 \lambda_2^{-1} \end{pmatrix}, \quad \mathcal{A} = \begin{pmatrix} -A_1 x_1^{-1} & B x_1^{-1} \\ B x_2^{-1} & -A_2 x_2^{-1} \end{pmatrix}.$$

Собственные значения матрицы  $\mathcal{A}$  имеют вид:

$$\mu_{1,2} = -0,5 \left[ \frac{A_1}{x_1} + \frac{A_2}{x_2} \pm \left( \left( \frac{A_1}{x_1} - \frac{A_2}{x_2} \right)^2 + \frac{4B^2}{x_1 x_2} \right)^{1/2} \right]. \quad (12)$$

Соба собственные значения действительные и отрицательные, или

$$B^2 \leq A_1 A_2.$$

Данное неравенство выполняется, причем знак равенства достигается только в предельном случае, когда  $\alpha_1 = \alpha_2 = 0$ .

Соответствующие собственные векторы матрицы  $\mathcal{A}$  можно расположить в столбцах матрицы

$$W = \begin{pmatrix} Bx_1^{-1} & Bx_2^{-1} \\ \mu_1 + A_1 x_1^{-1} & \mu_2 + A_1 x_1^{-1} \end{pmatrix},$$

для которой

$$\det W = Bx_1^{-1}(\mu_2 - \mu_1) \neq 0,$$

$$W^{-1} = \begin{pmatrix} \mu_2 + A_1 x_1^{-1} & -Bx_1^{-1} \\ -(\mu_1 + A_1 x_1^{-1}) & Bx_1^{-1} \end{pmatrix}.$$

Применяя линейное преобразование

$$\vec{T} = W \vec{S} \quad (\vec{S} = W^{-1} \vec{T}), \quad (13)$$

система уравнений (II) с учетом

$$\mathcal{A}W = WM \quad \text{или} \quad W^{-1}\mathcal{A}W = M = \begin{pmatrix} \mu_1 & 0 \\ 0 & \mu_2 \end{pmatrix}$$

принимает вид

$$W \Delta \vec{S} + \mathcal{A}W \vec{S} + \vec{F} = 0$$

или

$$\Delta \vec{S} + M \vec{S} + W^{-1} \vec{F} = 0. \quad (14)$$

Следовательно, система уравнений (14) расщепляется в виде двух отдельных уравнений

$$\Delta S_m + \mu_m S_m + \tilde{F}_m = 0 \quad (m = 1, 2), \quad (15)$$

где

$$S_m, \tilde{F}_m - \text{составляющие векторов } \vec{S}, W^{-1} \vec{F}.$$

Соответствующие граничные условия (10) в общем случае не разделяются, т.к.

$$\frac{\partial \vec{S}}{\partial n} = D(\vec{S} - W^{-1} \vec{T}_B), \quad (16)$$

где матрица  $D = W^{-1} \Lambda W$  ( $\Lambda = \begin{pmatrix} \alpha_1 \lambda_1^{-1} & 0 \\ 0 & \alpha_2 \lambda_2^{-1} \end{pmatrix}$ ),  $\vec{T}_B = \begin{pmatrix} T_{B1} \\ T_{B2} \end{pmatrix}$ )

имет диагональный вид только тогда, когда  $\alpha_2 \lambda_2^{-1} = \alpha_1 \lambda_1^{-1}$ .



Так как обычно вид граничных условий мало влияет на значение оптимального коэффициента метода релаксации [3], то при определении такого коэффициента граничные условия (10), (16) заменяются граничными условиями первого рода.

Рассмотрим аппроксимацию второго порядка уравнения (15) на равномерной сетке

$$\omega_h = \{(x_i, y_j) : x_i = ih_1 - L_x, y_j = jh_2 - L_y, \\ i = \overline{1, N_1-1}, j = \overline{1, N_2-1}, h_1 = 2L_x/N_1, h_2 = 2L_y/N_2\} \quad (17)$$

в следующем виде  $(S_m \equiv S, \mu_m \equiv \mu, \tilde{F}_m \equiv f)$ :

$$\frac{h_2}{h_1} (S_{i+1,j} - 2S_{i,j} + S_{i-1,j}) + \frac{h_1}{h_2} (S_{i,j+1} - 2S_{i,j} + S_{i,j-1}) + \\ + h_1 h_2 (\mu S_{i,j} + f_{i,j}) = 0, \quad i = \overline{1, N_1-1}, j = \overline{1, N_2-1}, \quad (18)$$

где  $S_{i,j} = S(x_i, y_j), f_{i,j} = f(x_i, y_j)$ .

Применяем к разностным уравнениям (18) метод релаксации

в виде  $S_{i,j}^{(k+1)} = (1-\omega) S_{i,j}^{(k)} + \omega S_{i,j}^Z \quad (k=0; 1; 2 \dots), \quad (19)$

где  $S_{i,j}^Z = (2(h_2 h_1^{-1} + h_1 h_2^{-1}) - h_1 h_2 \mu)^{-1} \left[ \frac{h_2}{h_1} (S_{i-1,j}^{(k+1)} + S_{i+1,j}^{(k)}) + \right. \\ \left. + \frac{h_1}{h_2} (S_{i,j-1}^{(k+1)} + S_{i,j+1}^{(k)}) + h_1 h_2 f_{i,j} \right]$

- итерационное приближение по методу Зейделя,  
 $\omega$  - коэффициент релаксации  $(0 < \omega < 2)$ ,

$S_{i,j}^{(0)}$  - заданное начальное приближение.

Для ошибки  $Z_{i,j}^{(k)} = S_{i,j}^{(k)} - S_{i,j}$  имеет место итерационный процесс (19) с учетом, что величина  $Z_{i,j}^Z$  не содержит сла-

гаемое  $h_1 h_2 f_{ij}$ , а граничные значения  $z_{ij}^{(k)}$  при  $i=0; N_1$ ,  $j=0; N_2$  равны нулю. Разностные уравнения (19) для ошибки можно переписать в векторной форме

$$\vec{z}^{(k+1)} = S \vec{z}^{(k)} \quad (k=0; 1; 2; \dots),$$

где  $S$  - матрица перехода, а  $\vec{z}^{(k)}$  - вектор с размерностью  $N = (N_1 - 1)(N_2 - 1)$  и составляющими  $z_{ij}^{(k)}$ .

Пусть 
$$\vec{z}^{(k+1)} = \lambda \vec{z}^{(k)}, \quad (20)$$

где  $\lambda$  - собственное значение матрицы  $S$ , а решение разностных уравнений (19) ищем в виде гармоник [4]:

$$z_{ij}^{(k)} = A_{ij} \sin \frac{\pi k_1 i}{N_1} \sin \frac{\pi k_2 j}{N_2},$$

$$k_\alpha = 1, N_\alpha - 1, \alpha = 1; 2.$$

После подстановки в (19) ( $f_{ij} \equiv 0$ ) с учетом (20) имеем:

$$(\lambda - 1 + \omega) A_{ij} \sin \frac{\pi k_1 i}{N_1} \sin \frac{\pi k_2 j}{N_2} =$$

$$= \frac{\omega}{2(h_2 h_1^{-1} + h_1 h_2^{-1}) - h_1 h_2} \left\{ \frac{h_2}{h_1} \left[ \lambda A_{i-1, j} \sin \frac{\pi k_1 (i-1)}{N_1} + \right. \right.$$

$$+ A_{i+1, j} \sin \frac{\pi k_1 (i+1)}{N_1} \left. \right] \sin \frac{\pi k_2 j}{N_2} + \frac{h_1}{h_2} \left[ \lambda A_{i, j-1} \sin \frac{\pi k_2 (j-1)}{N_2} + \right.$$

$$\left. + A_{i, j+1} \sin \frac{\pi k_2 (j+1)}{N_2} \right] \sin \frac{\pi k_1 i}{N_1} \left. \right\}. \quad (21)$$

Если для определения произвольных коэффициентов  $A_{ij}$  предполагать, что

$$A_{ij} = \sqrt{\lambda} A_{i-1, j} = \frac{1}{\sqrt{\lambda}} A_{i+1, j} = \sqrt{\lambda} A_{i, j-1} = \frac{1}{\sqrt{\lambda}} A_{i, j+1}, \quad (22)$$

то из (21) следует уравнение для определения собственного значения  $\lambda$  в виде

$$\lambda - \omega \varepsilon_k \sqrt{\lambda} - (1 - \omega) = 0, \quad (23)$$

где 
$$\varepsilon_k = \frac{h_2 h_1^{-1} \cos(\pi k_1 / N_1) + h_1 h_2^{-1} \cos(\pi k_2 / N_2)}{h_2 h_1^{-1} + h_1 h_2^{-1} - h_1 h_2} \kappa / 2, \quad \kappa = (k_1, k_2).$$



При  $\mu \leq 0$  следует, что  $|\varepsilon_k| < 1$ .

При  $\omega = 1$  (метод Зейделя) имеем  $\lambda = \varepsilon_k^2 < 1$ , и итерационный метод Зейделя сходится.

Для определения оптимального параметра релаксации  $\tilde{\omega}$  надо минимизировать функцию  $\rho(\omega) = \max_{k_1, k_2} |\lambda|$ ,

где  $\lambda = \left[ \frac{1}{2} \omega \varepsilon_k \pm \sqrt{\delta_k} \right]^2$ ,  $\delta_k = \left( \frac{1}{2} \omega \varepsilon_k \right)^2 - \omega + 1$ ,  $k = (k_1, k_2)$ .

При  $\omega > 1$  надо рассматривать 2 случая:

1)  $\delta_k < 0$ , тогда значения  $\lambda$ -комплексно сопряженные, и  $|\lambda| = \omega - 1$ ;

2)  $\delta_k \geq 0$ , тогда значения  $\lambda$  действительные, и

$$\rho(\omega) = \left[ \frac{1}{2} \omega \tilde{\varepsilon} + \left( \left( \frac{1}{2} \omega \tilde{\varepsilon} \right)^2 + 1 - \omega \right)^{1/2} \right]^2,$$

где

$$\tilde{\varepsilon} = \frac{h_2 h_1^{-1} \cos(\pi/N_1) + h_1 h_2^{-1} \cos(\pi/N_2)}{h_2 h_1^{-1} + h_1 h_2^{-1} - h_1 h_2 \mu / 2}. \quad (24)$$

При  $\delta_k \geq 0$ ,  $\min \rho(\omega) = \rho(\tilde{\omega})$ , где  $\tilde{\omega}$  определяется из уравнения

$$\delta_0 = \left( \frac{1}{2} \tilde{\omega} \tilde{\varepsilon} \right)^2 + 1 - \tilde{\omega} = 0$$

или

$$\tilde{\omega} = \frac{2}{1 + \sqrt{1 - \tilde{\varepsilon}^2}}. \quad (25)$$

В этом случае  $\rho_0 = \rho(\tilde{\omega}) = \left( \frac{1}{2} \tilde{\omega} \tilde{\varepsilon} \right)^2 = \tilde{\omega} - 1$ .

Такой результат получил Д.Инг при  $h_1 = h_2 = h$  и  $\mu = 0$  [3].

Следовательно, метод оптимальной релаксации (19) имеет следующий векторный вид:

$$\vec{s}^{(k+1)} = \tilde{\Omega} \vec{s}^k + \tilde{\Omega}^* \vec{s}^{(k)} \quad (k=0; 1, \dots), \quad (26)$$

где

$$\tilde{\Omega} = \begin{pmatrix} \tilde{\omega}_1 & 0 \\ 0 & \tilde{\omega}_2 \end{pmatrix}, \quad \tilde{\Omega}^* = E - \tilde{\Omega} = \begin{pmatrix} 1 - \tilde{\omega}_1 & 0 \\ 0 & 1 - \tilde{\omega}_2 \end{pmatrix},$$

$$\tilde{\omega}_m = 2 / \left( 1 + \left( 1 - \tilde{\varepsilon}_m^2 \right)^{1/2} \right), \quad \tilde{\varepsilon}_m = \left( h_2 h_1^{-1} \cos(\pi/N_1) + h_1 h_2^{-1} \cos(\pi/N_2) \right) / \left( h_2 h_1^{-1} + h_1 h_2^{-1} - h_1 h_2 \mu / 2 \right), \quad (m=1; 2)$$

Умножая (16) слева на матрицу  $W$  и учитывая (13), имеем

$$\vec{T}^{(k+1)} = W \tilde{\Omega} W^{-1} \vec{T}^z, W \tilde{\Omega}^* W^{-1} \vec{T}^{(k)} \quad (k \geq 0), \quad (27)$$

где

$$W \tilde{\Omega} W^{-1} = \frac{\bar{\omega}_2 - \bar{\omega}_1}{\mu_2 - \mu_1} \begin{pmatrix} -(\mu_1 + A_1 x_1^{-1}) & B x_1^{-1} \\ B x_2^{-1} & \mu_1 + A_1 x_1^{-1} \end{pmatrix} + \tilde{\Omega},$$

$$W \tilde{\Omega}^* W^{-1} = E - W \tilde{\Omega} W^{-1},$$

так как  $(\mu_1 + A_1 x_1^{-1})(\mu_2 + A_1 x_1^{-1}) + B^2 x_1^{-1} x_2^{-1} = 0$ .

Если переписать (27) по составляющим вектора  $\vec{T}$ , то:

$$\begin{aligned} \vec{T}_1^{(k+1)} &= \frac{\bar{\omega}_2 - \bar{\omega}_1}{\mu_2 - \mu_1} [ -(\mu_1 + A_1 x_1^{-1})(\bar{T}_1^z - \bar{T}_1^{(k)}) + \\ &+ B x_1^{-1} (\bar{T}_2^z - \bar{T}_2^{(k)}) ] + \bar{\omega}_1 \bar{T}_1^z + (1 - \bar{\omega}_1) \bar{T}_1^{(k)}, \\ \vec{T}_2^{(k+1)} &= \frac{\bar{\omega}_2 - \bar{\omega}_1}{\mu_2 - \mu_1} [ B x_1^{-1} (\bar{T}_1^z - \bar{T}_1^{(k)}) + (\mu_1 + A_1 x_1^{-1})(\bar{T}_2^z - \\ - \bar{T}_2^{(k)}) ] + \bar{\omega}_2 \bar{T}_2^z + (1 - \bar{\omega}_2) \bar{T}_2^{(k)}, \quad (k \geq 0). \end{aligned} \quad (28)$$

2. С учетом течения расплава принимается, что

$$c_{p1} s_1 \lambda_1^{-1} u_1 = c_{p2} s_2 \lambda_2^{-1} u_2 = \bar{u}, \quad c_{p1} s_1 \lambda_1^{-1} v_1 = c_{p2} s_2 \lambda_2^{-1} v_2 = \bar{v}.$$

Тогда систему уравнений можно переписать в следующем векторном виде

$$\Delta \vec{T} - \bar{u} \frac{\partial \vec{T}}{\partial x} - \bar{v} \frac{\partial \vec{T}}{\partial y} + \mathcal{B} \vec{T} + \vec{F} = 0$$

После преобразования (13) имеем для составляющих вектора  $\vec{S}$  уравнение типа (15) в виде

$$\Delta s - \bar{u} \partial s / \partial x - \bar{v} \partial s / \partial y + \mu s + f = 0,$$

а соответствующие монотонные разностные уравнения (18) имеют вид

$$\begin{aligned} &h_2 h_1^{-1} f_1 (s_{i+1,j} - 2s_{ij} + s_{i-1,j}) - \frac{1}{2} \bar{u} h_2 (s_{i+1,j} - \\ &- s_{i-1,j}) + h_1 h_2^{-1} f_2 (s_{i,j+1} - 2s_{ij} + s_{i,j-1}) - \frac{1}{2} \bar{v} h_1 (s_{i,j+1} - \\ &- s_{i,j-1}) + h_1 h_2 (\mu s_{ij} + f_{ij}) = 0, \end{aligned} \quad (29)$$



где  $\delta_1, \delta_2$  - соответствующие возмущенные коэффициенты [5]:

$$\delta_\alpha = |a_\alpha| \Delta h / |a_\alpha| \quad (\text{А.М. Ильин}),$$

$$\delta_\alpha = |a_\alpha| + (1 + |a_\alpha|)^{-1} \quad (\text{А.А. Самарский}),$$

$$\delta_\alpha = 1 + |a_\alpha| \quad (\text{односторонние разности}),$$

$$\delta_\alpha = 1 \quad (\text{центральные разности}),$$

$$a_1 = \frac{1}{2} \bar{u} h_1, \quad a_2 = \frac{1}{2} \bar{v} h_2, \quad |a_\alpha| \leq \delta_\alpha, \quad \alpha = 1, 2.$$

Теперь разностные уравнения с учетом релаксации имеют вид:

$$S_{ij}^{(k+1)} = (1-\omega) S_{ij}^{(k)} + \omega S_{ij}^z \quad (k \geq 0),$$

где

$$S_{ij}^z = \frac{1}{2(h_2 h_1^{-1} \delta_2 + h_1 h_2^{-1} \delta_1) - h_1 h_2 / \kappa} \left[ \frac{h_2}{h_1} (\delta_1 + a_1) S_{i-1, j}^{(k+1)} + \frac{h_2}{h_1} (\delta_1 - a_1) S_{i+1, j}^{(k)} + \frac{h_1}{h_2} (\delta_2 + a_2) S_{i, j-1}^{(k+1)} + \frac{h_1}{h_2} (\delta_2 - a_2) S_{i, j+1}^{(k)} + h_1 h_2 f_{ij} \right]. \quad (30)$$

Аналогично предыдущему предполагая, что

$$A_{ij} = \sqrt{\lambda \frac{\delta_1 + a_1}{\delta_1 - a_1}} A_{i-1, j} = \sqrt{\frac{\delta_1 - a_1}{\lambda (\delta_1 + a_1)}} A_{i+1, j} = \\ = \sqrt{\lambda \frac{\delta_2 + a_2}{\delta_2 - a_2}} A_{i, j-1} = \sqrt{\frac{\delta_2 - a_2}{\lambda (\delta_2 + a_2)}} A_{i, j+1},$$

имеем уравнение (23), где

$$E_\kappa = \left[ h_2 h_1^{-1} \sqrt{\delta_1^2 - a_1^2} \cos \frac{\pi \kappa_1}{N_1} + h_1 h_2^{-1} \sqrt{\delta_2^2 - a_2^2} \cos \frac{\pi \kappa_2}{N_2} \right] \cdot \\ \cdot \left( \frac{h_2}{h_1} \delta_1 + \frac{h_1}{h_2} \delta_2 - \frac{h_1 h_2}{2} \kappa \right)^{-1}, \quad \kappa = (\kappa_1, \kappa_2). \quad (31)$$

Следовательно, при  $\kappa \leq 0$  следует формула оптимального параметра релаксации (25), где

$$\tilde{\varepsilon} = \frac{h_2 h_1^{-1} \sqrt{\delta_1^2 - a_1^2} \cos \frac{\pi}{N_1} + h_1 h_2^{-1} \sqrt{\delta_2^2 - a_2^2} \cos \frac{\pi}{N_2}}{h_2 h_1^{-1} + h_1 h_2^{-1} - h_1 h_2 / \kappa / 2}. \quad (32)$$

Также сохраняется формулы (28) с заменой  $\tilde{\varepsilon}_m$  выражением (32), где  $\mu = \mu_m$ ,  $m = 1; 2$ .

В случае переменных коэффициентов, т.е. когда величины  $\bar{u}, \bar{v}, \mu, \lambda_1, \lambda_2, \rho_1, \rho_2, c_{p1}, c_{p2}, A_1, A_2, B, C_1, C_2$  зависят от  $(x, y)$ , формулы локальной релаксации (25), (28) сохраняются (параметры  $\bar{\omega}, \tilde{\varepsilon}$  тоже зависят от  $(x, y)$  или  $(i, j)$ ). Численные расчеты для электролизера на 175 кА при  $L_x = 5$ ,  $L_y = 2,2$ ,  $H_1 = 0,2$ ,  $H_2 = 0,25$ ,  $\rho_1 = 2300$ ,  $\rho_2 = 2100$ ,  $\lambda_1 = 60$ ,  $\lambda_2 = 6$ ,  $h = 0,25$ ,  $c_{p1} = 1060$ ,  $c_{p2} = 1653$ ,  $\sigma_1 = 3,3 \cdot 10^6$ ,  $\sigma_2 = 200$ ,  $\bar{T}_1^{(e)} = \bar{T}_2^{(e)} = 900$ ,  $T_{01} = T_{02} = 300$ ,  $\alpha_1 = 4$ ,  $\alpha_2 = 10$  показали, что при выборе коэффициента из формулы (25) метод локальной релаксации при  $\bar{u} = \bar{v} = 0$  сходится примерно 10 раз быстрее, чем метод Зейделя ( $\omega_1 = \omega_2 = 1$ ).

Аналогичную методику можно применять для решения уравнения теплопроводности в многослойной среде.

#### СПИСОК ЛИТЕРАТУРЫ

1. Ватажин А.Б., Любимов Г.А., Регирер С.А. Магнитогидродинамические течения в каналах. - М.: Наука, 1970, - 672 с.
2. Буйкис А.А. Интерполяция интегральных средних кусочно-гладкой функции параболическим сплайном // Латвийский математический ежегодник. - 1985. - Вып. 29. - С. 194-197.
3. Вазов В., Форсайт Дж. Разностные методы решения дифференциальных уравнений в частных производных. - М.: ИЛ, 1963. - 487 с.
4. Рихтмайер Р., Мортон К. Разностные методы решения краевых задач. - М.: Мир, 1972, - 418 с.
5. Калис Х.Э., Луринс Г.Р. Определение оптимального релаксационного параметра для некоторых монотонных разностных схем // Латвийский математический ежегодник. - 1981. - Вып. 25. - С. 167-178.



УДК 518.61

ОПРЕДЕЛЕНИЕ ОПТИМАЛЬНЫХ КОЭФФИЦИЕНТОВ МЕТОДА ЛОКАЛЬНОЙ РЕЛАКСАЦИИ ДЛЯ РЕШЕНИЯ УРАВНЕНИЯ ТЕПЛОПРОВОДНОСТИ В ДВУХ-СЛОЙНОЙ СРЕДЕ. Калис Х. // Математическое моделирование. Прикладные задачи математической физики. - Рига: ЛУ, 1992. - Вып. 3.

Для расчета температурного поля в двухслойной среде (твердой и жидкой) алюминиевого электролизера применяется операция осреднения по высоте слоев, сплайновой аппроксимация и монотонная разностная схема. Разностная схема реализуется методом локальной релаксации, оптимальные коэффициенты которой определяются минимизацией модуля перехода разностных уравнений с постоянными коэффициентами.

Библ. 5 назв.

ON OBTAINING OPTIMAL COEFFICIENTS OF LOCAL RELAXATION METHOD FOR SOLVING HEAT TRANSFER EQUATION IN TWO-LAYER MEDIUM. Kalis H. // The mathematical simulation. Applied problems of mathematical physics. Riga: LU, 1992. - vol. 3.

Height averaging, spline approximation and monotonous difference schemes are applied in calculations of temperature field in the two-layer medium (liquid or solid) of aluminium reduction cells. The difference scheme is realized with the help of local relaxation method with optimal coefficients, obtained by minimization of the transition module for difference scheme with constant coefficients.

Ref. 5.

LOKĀLĀS RELAKSĀCIJAS METODES OPTIMĀLO KOEFICIENTU NOBIKŠANA SIŅUMA VADĪSANAS VIENĀDOJUMA ATRISINĀŠANAI DIVSIJĀNU VIDĒ. Kalis H. // Matemātiskā modelēšana. Matemātiskās fizikas lietišķās problēmas. - Rīga: LU, 1992. - 3. sēj.

Temperatūras lauka aprēķināšanai alumīnija elektrolīzera divslāņu vidē (cietai vai šķidrā) tiek pielietota viduvēšanas operācija, aproksimācija ar splainiem un monotona diferencu shēma. Diferencu shēma tiek realizēta ar lokālo relaksācijas metodi, kuras optimālie koeficienti tiek noteikti, minimizējot pārejas moduli shēmai ar konstantiem koeficientiem.

Bibl. 5 nosauk.

A. Reinfelds, H. Kelis, J. Kriķis

Institute of Mathematics  
 Latvian Academy of Sciences  
 19 Turģeneva St., 226524 Riga

## QUALITATIVE INVESTIGATION OF SOME WORLD EVOLUTION MODEL

### 0. Introduction.

The purpose of this paper is to analyze some system of ordinary differential equations, which arises in modeling complex social - economical systems. Mathematical models of such evolution systems have been developed in the works of J.W. Forrester [1] and D.L. Meadows [2]. Special case was considered in [3]. The present paper is devoted to analysis of a case, when we investigate the interaction of industry, human and natural resources at monotonous industrial development.

### 1. Preliminaries.

Let  $x$ ,  $y$  and  $z$  denote the natural, human and industrial factor in relative quantities at time  $t$ . Practical meaning has only non-negative values of variables.

We consider a  $C^k$  ( $k \geq 1$ ) smooth system of differential equations governing this interaction in  $R_+^3$

$$\begin{cases} \dot{x} = f_1(x) - \delta y + \lambda_1 z \\ \dot{y} = x f_2(y) + \lambda_2 z \\ \dot{z} = h(x, y, z). \end{cases} \quad (1)$$

The continuously differentiable functions  $f_1: R_+ \rightarrow R$ ,  $f_2: R_+ \rightarrow R$  describes the logistic law of natural and human resources growth.  $\delta > 0$  specify the influence of human factor to rate of natural resources, variable parameters  $\lambda_1, \lambda_2 \in R$  control the influence of industry to natural and human factor. The functions  $f_1, f_2$  and  $h: R_+^3 \rightarrow R$  have additional properties:  $f_1(0) = f_2(0) = 0$ ,  $\lim_{x \rightarrow +\infty} f_1(x) = \lim_{y \rightarrow +\infty} f_2(y) = -\omega$ ,  $f_1'(0) > 0$ ,  $f_2'(0) > 0$ ,  $h(0, y, z) = h(x, 0, z) = h(x, y, 0) = h(x, y, c_3) = 0$ ,  $\partial h(x, y, c_3) / \partial z < 0$  and  $h(x, y, z) > 0$  if  $x > 0$ ,  $y > 0$ ,  $0 < z < c_3$ . The derivatives  $f_1', f_2'$  are strongly monotone decreasing. Let us note that there are numbers  $0 < a_1 < c_1$  such as  $f_1'(a_1) = 0$ ,  $f_1(c_1) = 0$ . At point  $a_1$  function  $f_1$



has a maximum.

Note that the system (1) has invariant manifold  $z = c_3$ . If initial conditions are  $x(0) > 0$ ,  $y(0) > 0$  and  $0 < z(0) < c_3$ , corresponding solution may be one of the following type:

- $\lim_{t \rightarrow +\infty} z(t) = c_3$ .
- $\exists T > 0$  such that  $x(T) = 0$ .
- $\exists T > 0$  such that  $y(T) = 0$ .

In case a) trajectory tends to limit set on invariant manifold. In the cases b), c) trajectory crosses plane  $x = 0$  or  $y = 0$  at finite moment of time. It means that natural or human resources vanishes in finite interval of time. Besides in the case when  $\lambda_2 = 0$  there are trajectories, which tend to plane  $x = 0$  as  $t \rightarrow +\infty$  ( $\lim_{t \rightarrow +\infty} z(t) = z_\omega \leq c_3$ ,  $\lim_{t \rightarrow +\infty} y(t) = \lambda_1 \delta^{-1} z_\omega = y_\omega$ ), if  $\delta f_2(y_\omega) \leq \lambda_1 \partial h(0, y_\omega, z_\omega) / \partial x$ .

## 2. Main results.

First of all let us consider the system of differential equations on invariant manifold  $z = c_3$  in the quadrant  $x \geq 0$ ,  $y \geq 0$ .

$$\begin{cases} \dot{x} = f_1(x) - \delta y + \lambda_1 c_3 \\ \dot{y} = x f_2(y) + \lambda_2 c_3 \end{cases} \quad (2)$$

The equilibrium points are solutions of system

$$\begin{cases} f_1(x) - \delta y + \lambda_1 c_3 = 0 \\ x f_2(y) + \lambda_2 c_3 = 0 \end{cases} \quad (3)$$

To solve a system (3) geometrically means to find common points of two principle isoclines. Corresponding Jacobi matrix is

$$J(x, y) = \begin{pmatrix} f_1'(x) & -\delta \\ f_2'(y) & x f_2''(y) \end{pmatrix}$$

Let us compute Jacobi matrix determinant

$$\det J(x, y) = x f_1'(x) f_2''(y) + \delta f_2'(y)$$

and trace

$$\text{Tr } J(x, y) = f_1'(x) + x f_2''(y)$$

The signs of  $\det J$  and  $\text{Tr } J$  in equilibrium points help determine its type. Curve  $\det J(x, y) = 0$  divides first quadrant

into three domains, in each of which  $\det J(x,y)$  preserve sign. Besides curve  $\text{Tr } J(x,y) = 0$  divides domain, where  $\det J(x,y) > 0$  into two parts. Let us note that type of structurally stable equilibrium depends only of its location in first quadrant.

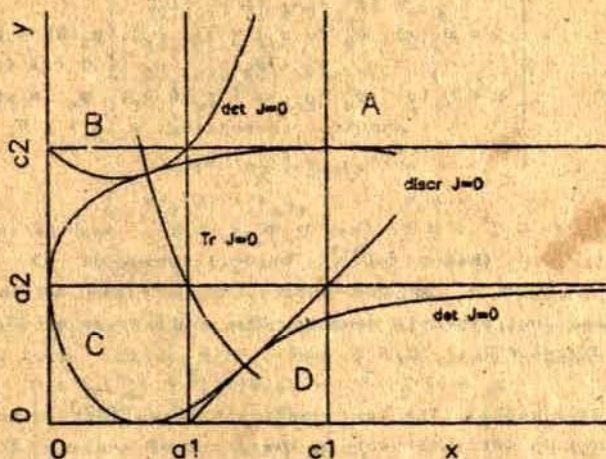


Figure 1. Type of (2) equilibrium depending of location.

Table 1

Domain	$\det J$	$\text{Tr } J$	equilibrium
A	$> 0$	$< 0$	attractor
B	$< 0$		saddle
C	$> 0$	$> 0$	repeller
D	$< 0$		saddle

Attractor (repeller) may be node or focus. If the inequality  $(f_1'(x) - xf_2'(y))^2 > 4\delta f_2(y)$  holds, attractor (repeller) is node, but in the case  $(f_1'(x) - xf_2'(y))^2 < 4\delta f_2(y)$  the attractor (repeller) is focus. In the case of  $(f_1'(x) - xf_2'(y))^2 = 4\delta f_2(y)$ , attractor (repeller) is node if in addition  $f_1', f_2'$  are Holder continuous.

The domains boundary are continuous function graphs. To take into account properties of functions  $f_1$  and  $f_2$  and using implicit function theorem, we obtain the following:



Table 2

Boundary:	Equations of boundary and growth properties
$\partial A \cap \partial C$	$y = \psi_1(x)$ , $\psi_1: I \rightarrow \mathbb{R}_+$ , $a_1 \in I \subseteq \mathbb{R}_+$ , $\psi_1(a_1) = a_2$ , $\psi_1$ is strongly monotone decreasing if $x \leq a_1$
$\partial B$	$x = \psi_2(y)$ , $\psi_2: [c_2, +\infty[ \rightarrow ]a_1, +\infty[$ , $\psi_2(c_2) = a_1$ , $\psi_2(y) > a_1$ if $y > c_2$
	$y = \psi_3(x)$ , $\psi_3: [0, a_1] \rightarrow ]a_2, c_2]$ , $\psi_3(0) = \psi_3(a_1) = c_2$ , $a_2 < \psi_3(x) < c_2$ if $0 < x < a_1$
$\partial D$	$y = \psi_4(x)$ , $\psi_4: ]a_1, +\infty[ \rightarrow [0, a_2[$ , $\psi_4$ is strongly monotone increasing, $\psi_4(a_1) = 0$ .
	$\lim_{x \rightarrow +\infty} \psi_4(x) = a_2$

If  $f_1, f_2 \in C^k$ ,  $k \geq 1$ , then  $\psi_2, \psi_3, \psi_4 \in C^{k-1}$ , and if in addition  $f_2'(y) < 0$ , then  $\psi_1 \in C^{k-1}$ . The equilibrium on  $\partial C$ , when

$\text{Tr } J(x, y) \neq 0$ , is node-saddle, because one of isocline is convex, but other is concave. The equilibrium on  $\partial B$ , when

$\text{Tr } J(x, y) \neq 0$ ,  $f_1, f_2 \in C^2$  and

$$\Delta_1 = x(f_2')^2 f_1'' + f_1'(2(f_2')^2 - f_2' f_2) \neq 0,$$

is node-saddle. The last condition means that principle isoclines do not intersect in the point of contact. The equilibrium on  $\partial A \cap \partial C$  is complex focus, when  $\det J \neq 0$ ,  $f_1, f_2 \in C^3$

and

$$\Delta_2 = f_1'(\delta(f_1'')^2 - \delta f_1' f_2'' - 2\delta(f_2')^2 - x^2 f_2'(f_2'')^2 + 3\delta f_2' f_2) + \det J(x f_2' f_2'' + \delta f_1''') \neq 0.$$

$\Delta_2$  has the same sign as magnitude of Lyapunov. If  $\Delta_2 < 0$ , focus is attractor, but if  $\Delta_2 > 0$ , focus is repeller. For explaining the type of equilibrium in the case  $\Delta_1 = 0$  or  $\Delta_2 = 0$ , we need higher derivatives.

In the case when  $\lambda_2 \geq 0$ , there is no cycle because there is separatrix going from saddle to node. If  $\lambda_2 < 0$ , cycle bifurcates from complex focus. If  $\Delta_2 > 0$ , there may appear cycle-repeller, but in the case  $\Delta_2 < 0$ , there may appear cycle-attractor. The latter means that for respectively chosen parameters  $\lambda_1, \lambda_2$ , industry tends to stationary state, while human and natural factors change periodically with the same period.

Let  $\Omega = \{(x, y) \in \partial B \mid \Delta_1 = 0\}$ .

Theorem. Let  $f_1, f_2 \in C^3$ ,  $(f_2''')^2 + (f_2' + f_1'')^2 > 0$  and

mes  $\Omega = 0$ . Then there exists  $C^1$  smooth function  $\Lambda : \mathbb{R} \rightarrow \mathbb{R}$  such as  $\lambda_1 > \Lambda(\lambda_2)$  and the system (1) has structurally stable attractor.

*Proof.* In parameter  $\lambda_1, \lambda_2$  plane, the curve of bifurcation separates a region which contains an attractor. The branches of curve will be found from systems

$$\begin{cases} f_1(x) - \delta y + \lambda_1 c_3 = 0 \\ x f_2(y) + \lambda_2 c_3 = 0 \\ x f_1'(x) f_2'(y) + \delta f_2(y) = 0 \\ x f_2'(y) + f_1'(x) \leq 0 \end{cases}$$

and

$$\begin{cases} f_1(x) - \delta y + \lambda_1 c_3 = 0 \\ x f_2(y) + \lambda_2 c_3 = 0 \\ x f_2'(y) + f_1'(x) = 0 \\ x f_1'(x) f_2'(y) + \delta f_2(y) \geq 0. \end{cases}$$

It is possible to solve this if the results of Table 2 are taken into account. We get equations of bifurcation curve in parametric form. Let us differentiate the above system. We get

$$\begin{cases} f_1'(x) dx - \delta dy + c_3 d\lambda_1 = 0 \\ f_2'(y) dx + x f_2''(y) dy + c_3 d\lambda_2 = 0 \\ (x f_1'(x))' f_2'(y) dx + (x f_1'(x) f_2''(y) + \delta f_2'(y)) dy = 0 \end{cases}$$

Hence, if  $\Delta_1 \neq 0$ , we obtain

$$d\lambda_1/d\lambda_2 = -\delta(x f_2'(y))^{-1}.$$

As the right hand side is continuous and mes  $\Omega = 0$ , then bifurcation curve is  $C^1$  smooth. Analogous to previous case we obtain for second branch

$$d\lambda_1/d\lambda_2 = \frac{x f_1' f_2'' + \delta(f_2' + f_1'')}{x f_2' f_2'' + f_1'(f_2' + f_1'')}$$

At the point of intersection of curves  $\det J = 0$  and  $\text{Tr} J = 0$ , both branches of bifurcation curve have the same tangent.

*Remark.* The branches of bifurcation curve getting from the first system is  $C^1$  smooth even if  $f_1, f_2 \in C^1$ , and derivatives are strongly monotone. Then  $f_1$  and  $f_2$  have second derivative almost everywhere.

The theorem gives necessary conditions for existing attractor. Next our aim is to find a region in parameter plane  $\lambda_1, \lambda_2$  for which solution starting at the point  $x(0) =$



$= y(0) = z(0) = 1$  tends to attractor. We consider the case  $f_1(x) = x(1-x)$ ,  $f_2(y) = y(1-y)$ ,  $b(x,y,z) = xyz(2-z)$ ,  $\delta = 1$  and perform numerical calculation on PC IBM AT. We applied some modification of Runge - Kutta method [5] and use program DOP15 with automatical choice of a step of integration. In algorithm there is employed chaining step of integration with given precision  $\epsilon$ . The numerical results in time interval  $t \in [0,10]$  with precision  $\epsilon = 10^{-3}$  and  $\epsilon = 10^{-5}$  are obtained and compared. They differ in fourth sign, and therefore, the main results are obtained with precision  $\epsilon = 10^{-3}$ . The above values are given in

Table 3.

$\lambda_1$	$\lambda_2$	$t$	$x$	$y$
0.7	-0.2	7.43	1.56	0.517
0.35	-0.15	7.26	1.16	0.502
0.25	-0.10	7.58	0.864	0.408
0.3	-0.05	8.38	0.665	0.813
0.4	0	4.83	0.74	1.00
0.45	0.05	8.97	0.679	1.13
0.55	0.1	4.56	0.923	1.18
0.65	0.25	5.85	0.911	1.39
0.7	0.30	4.89	0.986	1.42
0.75	0.40	5.36	0.979	1.53
0.8	0.45	4.33	1.06	1.55
0.8	0.50	3.64	1.13	1.56
0.85	0.55	4.28	1.08	1.62
0.85	0.60	5.31	1.02	1.69
0.9	0.70	4.93	1.05	1.75
0.9	0.75	6.67	0.974	1.84

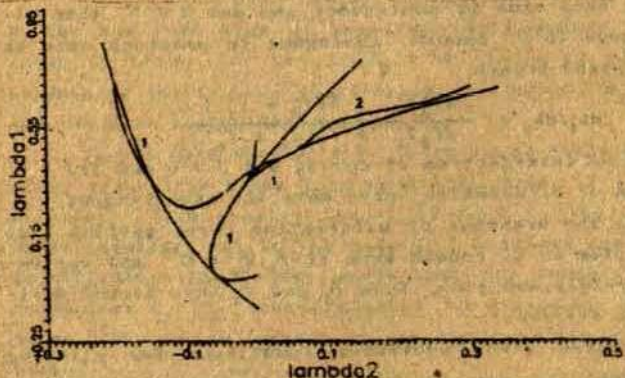


Figure 2. Curves of bifurcation.

Here curve 1 - graph of function  $\Lambda$  (bifurcation curve of theorem), curve 2 - a numerically computed boundary of region for which solutions started at the point  $x(0) = y(0) = z(0) = 1$  tends to attractor.

#### Acknowledgment.

This work has been completed with the financial support of the Science Council of Latvia under grant 90.224.

#### References

1. J.W. Forrester. World Dynamics. - Cambridge, Mass.: Wright-Allen Press, 1971.
2. D.H. Meadows, D.L. Meadows, J. Randers, W.W. Behrens III. The limits to growth. - New York: Universe Books, 1989.
3. G. Andriksen, L. Rastrigin. Non-linear Model of Regional Ecological System: Synergetic Approach. // International summer school on mathematical modeling and scientific computation. September 23 - 28, 1990. Albena (near Varna), Bulgaria. - Sofia, 1990. - P. 189 - 192.
4. Н. Н. Баутин, Е. А. Леонтевич. Методы и приемы качественного исследования динамических систем на плоскости. - М.: Наука, 1976 - 496 с.
5. E. Hairer, S.P. Norsett, G. Wanner. Solving ordinary differential equations I. Nonstiff problems. - Berlin: Springer Verlag, 1987. - 480 p.

Received 12.05.92

УДК 517.939.4+538.4

КАЧЕСТВЕННОЕ ИССЛЕДОВАНИЕ НЕКОТОРОЙ МОДЕЛИ РАЗВИТИЯ МИРА. Рейнфелд А. А., Калис Х. Э., Крикис В. В. // Математическое моделирование. Прикладные задачи математической физики. - Рига: ЛУ, 1992. - Вып. 3.

Рассмотрен частный случай модели Форрестера - Медузы развития социально-экономической системы. Предполагается, что индустрия развивается монотонно, и изучается взаимное влияние



индустрии, естественных и человеческих ресурсов. Найдены необходимые значения параметров, при которых развитие стремится к устойчивому положению равновесия.

Ил. 2, библиогр. 5 назв., табл. 3.

KĀLA PASAULES ATTĪSTĪBAS MODEĻA KVALITATĪVA ĪZPĒTĒ.  
Reinfelds A.A., Kalis H.E., Kriķis J.J. // Matemātiskā modelēšana. Matemātiskās fizikas lietotības problēmas. - Rīga: LU, 1992.  
- 3. sēj.

Apskatīts Forrestera - Medouza sociāli - ekonomiskās sistēmas modeļa speciālgadījums. Aplūkots gadījums, kad rūpniecība monotonī attīstās un pēlītis rūpniecības, dabas un cilvēku resursu savstarpējā mijiedarbība. Atrastas parametru vērtības, kuras nodrošina stablu attīstību.

2 zīm., 3 tabulas, bibl. 5 nosauk.

MSC 34C05, 90A58

QUALITATIVE INVESTIGATION OF SOME WORLD EVOLUTION MODEL. Reinfelds A.A., Kalis H.E., Kriķis J.J. // The mathematical simulation. Applied problems of mathematical physics. - Riga: LU, 1992. - Vol. 3.

The special case of Forrester - Meadows social-economic systems model is analyzed. The interaction of industrial, human and natural resources at monotonous industrial development are investigated. The necessary values of parameters which guarantee that evolution tends to the stable equilibrium are found.

2 figures, 3 tables, 5 references.

И.У.Райтумс

ОБ ОДНОМ АЛГОРИТМЕ ЧИСЛЕННОГО РЕШЕНИЯ КРАЕВОЙ  
ЗАДАЧИ ДЛЯ ОБЫКНОВЕННОГО ДИФФЕРЕНЦИАЛЬНОГО  
УРАВНЕНИЯ ВТОРОГО ПОРЯДКА

Введение. При разработке численных методов решения краевых задач для дифференциальных уравнений большой интерес вызывает конструкции точных разностных схем, т.е. таких схем решения которых в узловых точках совпадают с решением исходной краевой задачи. Одним из первых такие схемы ввел и исследовал А.М.Ильин /1/.

В настоящей работе рассматривается построение разностной схемы для линейного уравнения второго порядка на прямой, которая является точной в классе кусочно-постоянных коэффициентов.

1. На заданном интервале рассмотрим краевую задачу

$$(Lu)(x) \equiv \epsilon u''(x) + a(x)u'(x) - b(x)u(x) = f(x), \quad (1.1)$$

$$c < x < d, \quad u(c) = \mu_1, \quad u(d) = \mu_2$$

где  $\epsilon > 0$ ,  $\mu_1, \mu_2$  - заданные константы,  $a, b$  и  $f$  - заданные непрерывные функции. Предполагается, что  $0 < c < d < 1$  и что функция  $b$  является неотрицательной.

Зафиксируем натуральное число  $N \geq 2$  и определим неравномерную сетку

$$W_h = \{x_i \mid i = \overline{0, N}, x_0 = c, x_N = d\}$$

с точками

$$c = x_0 < x_1 < x_2 < \dots < x_N = d$$

и вектором шагов

$$h = (h_1, \dots, h_N), \quad h_i = x_i - x_{i-1}, \quad i = \overline{1, N}.$$



Функции на сетке будем обозначать через  $y$  с

$$y_i = y(x_i), \quad i = \overline{0, N}$$

2. В первом шаге построения разностной схемы функции  $a$ ,  $b$  и  $f$  заменяются на кусочно-постоянные на интервалах из  $W_h$  функций.

Для произвольной пары интервалов  $(x_{i-1}, x_i) \cup (x_i, x_{i+1})$  из  $W_h$  мы можем применять следующие три аппроксимации  $\bar{a}$  функции  $a$ :

$$1) \quad \bar{a}(x) = a\left(\frac{x_{i+1} + x_i}{2}\right) \quad \text{в} \quad (x_i, x_{i+1})$$

$$\bar{a}(x) = a\left(\frac{x_i + x_{i-1}}{2}\right), \quad \text{в} \quad (x_{i-1}, x_i)$$

$$2) \quad \bar{a}(x) = \frac{1}{2}(a(x_i) + a(x_{i+1})) \quad \text{в} \quad (x_i, x_{i+1})$$

$$\bar{a}(x) = \frac{1}{2}(a(x_{i-1}) + a(x_i)) \quad \text{в} \quad (x_{i-1}, x_i)$$

$$3) \quad \bar{a}(x) = \frac{1}{h_{i+1}} \int_{x_i}^{x_{i+1}} a(x) dx \quad \text{в} \quad (x_i, x_{i+1})$$

$$\bar{a}(x) = \frac{1}{h_i} \int_{x_{i-1}}^{x_i} a(x) dx \quad \text{в} \quad (x_{i-1}, x_i)$$

Для любой из этих аппроксимаций и фиксированного  $i$ ,  $x_i$  - внутренняя точка  $W_h$ , обозначим:

$$a_i^- \equiv \bar{a}(x), \quad x \in (x_{i-1}, x_i) \equiv \mathcal{J}_i^-$$

$$a_i^+ \equiv \bar{a}(x), \quad x \in (x_i, x_{i+1}) \equiv \mathcal{J}_i^+$$

Аналогичные аппроксимации и обозначения определяем для функций  $b$  и  $f$ . Введем еще также обозначения:

$$u_i^- \equiv u(x), \quad x \in \mathcal{J}_i^-$$

$$u_i^{\pm} \equiv u(x), \quad x \in \bar{J}_i^{\pm}$$

В этих обозначениях краевая задача (I.1) (с функциями  $\bar{a}, \bar{b}, \bar{f}$  вместо  $a, b, f$ ) в интервале записывается как:

$$\begin{cases} L u_i^{\pm} \equiv \varepsilon (u_i^{\pm})''(x) + a_i^{\pm} (u_i^{\pm})'(x) - b_i^{\pm} u_i^{\pm}(x) = f_i^{\pm} \\ u_i^{-}(x_{i-1}) = y_{i-1}, \quad u_i^{+}(x_{i+1}) = y_{i+1} \\ u_i^{-}(x_i) = u_i^{+}(x_i), \quad (u_i^{-})'(x_i) = (u_i^{+})'(x_i), \end{cases} \quad (2.1)$$

где значения  $y_{i-1}$  и  $y_{i+1}$  также неизвестны.

Корни  $\lambda_{i,2}^{\pm}$  характеристического уравнения для краевой задачи (2.1) являются вещественными числами, так как дискриминант

$$D_i^{\pm} \equiv (a_i^{\pm})^2 + 4\varepsilon b_i^{\pm} \geq 0$$

и  $\lambda_{i,2}^{\pm}$  равны

$$\lambda_{i,2}^{\pm} = \frac{-a_i^{\pm} \pm \sqrt{D_i^{\pm}}}{2\varepsilon},$$

где, как выше и в дальнейшем, верхний знак " - " указывает на соответствие интервалу  $(x_{i-1}, x_i)$ , а " + " - интервалу  $(x_i, x_{i+1})$ .

Если обозначить

$$\frac{-a_i^{-}}{2\varepsilon} = \alpha_i^{-}, \quad \frac{-a_i^{+}}{2\varepsilon} = \alpha_i^{+}$$

$$\frac{\sqrt{D_i^{-}}}{2\varepsilon} = \beta_i^{-}, \quad \frac{\sqrt{D_i^{+}}}{2\varepsilon} = \beta_i^{+}$$

то решение  $u^{\pm}$  в  $(x_{i-1}, x_i) \cup (x_i, x_{i+1})$  краевой задачи имеет представление:



$$\begin{cases} U^-(x) = e^{\alpha_i^-(x-x_i)} \cdot (C_1 \operatorname{ch} \beta_i^-(x-x_i) + \\ \quad + C_2 \operatorname{sh} \beta_i^-(x-x_i)) + U_p^-(x-x_i), \\ U^+(x) = e^{\alpha_i^+(x-x_i)} \cdot (C_3 \operatorname{ch} \beta_i^+(x-x_i) + \\ \quad + C_4 \operatorname{sh} \beta_i^+(x-x_i)) + U_p^+(x-x_i), \end{cases} \quad (2.2)$$

где константы  $C_1, C_2, C_3$  и  $C_4$  пока неизвестны (они зависят от  $i$ ), а частное решение  $U_p^\pm$  имеет представление:

$$U_p^\pm(x-x_i) = \begin{cases} -\frac{f_i^\pm}{b_i^\pm}, & b_i^\pm \neq 0, \\ \frac{f_i^\pm}{a_i^\pm} \cdot (x-x_i), & b_i^\pm = 0 \text{ и } a_i^\pm \neq 0, \\ \frac{f_i^\pm}{2\varepsilon} \cdot (x-x_i)^2, & b_i^\pm = 0 \text{ и } a_i^\pm = 0 \end{cases}$$

Для определения констант  $C_1, C_2, C_3$  и  $C_4$  рассмотрим граничные условия и условия сопряжения для  $U^-(x)$  и  $U^+(x)$  в точке  $X_i$ . Эти условия дают систему уравнений:

$$\begin{cases} U^-(x_i) = U^+(x_i), \\ (U^-)'(x_i) = (U^+)'(x_i), \\ U^-(x_{i-1}) = y_{i-1}, \\ U^+(x_{i+1}) = y_{i+1} \end{cases}$$

Константы  $C_1$  и  $C_3$  можно выразить через  $C_2$  и  $C_4$ , что (после подстановки полученных выражений в граничных условиях) приводит к системе уравнений относительно  $C_2$  и  $C_4$ :

$$\begin{cases} \operatorname{ch} \beta_i^- h_i (\beta_i^- C_4 - \beta_i^- C_2 - \alpha_i^+ (A_0^+ - A_0^-) + (B^+ - B^-)) - \\ - (\alpha_i^- - \alpha_i^+) C_2 \operatorname{sh} \beta_i^- h_i = (\alpha_i^- - \alpha_i^+) e^{\alpha_i^- h_i} (y_{i-1} - A_{i-1}^-), \\ \operatorname{ch} \beta_i^+ h_i (\beta_i^+ C_4 - \beta_i^+ C_2 - \alpha_i^- (A_0^+ - A_0^-) + (B^+ - B^-)) + \\ + (\alpha_i^- - \alpha_i^+) C_4 \operatorname{sh} \beta_i^+ h_i = (\alpha_i^- - \alpha_i^+) e^{\alpha_i^- h_i} (y_{i+1} - A_{i+1}^+), \end{cases}$$

где  $A_{i-1}^- = U_{\rho}^-(h_i^-)$ ,  $A_{i+1}^+ = U_{\rho}^+(h_i^+)$ ,  
 $A_0^{\pm} = U_{\rho}^{\pm}(0)$ ,  $B_0^{\pm} = (U_{\rho}^{\pm})'(0)$

Следовательно,

$$C_2 = \frac{1}{h} \cdot [ e^{-\alpha_i^+ h_i^+} (y_{i+1} - A_{i+1}^+) \beta_i^+ \bar{r} - e^{-\alpha_i^- h_i^-} (y_{i-1} - A_{i-1}^-) \cdot \\ \cdot (\beta_i^+ \bar{r}^+ + (\alpha_i^- - \alpha_i^+) \bar{q}^+) + A_{\rho}^- (\beta_i^+ \bar{r}^+ - \alpha_i^+ \bar{q}^+) + (B^+ - B^-) \bar{r} \bar{q}^+ ],$$

$$C_4 = \frac{1}{h} [ e^{-\alpha_i^+ h_i^+} (y_{i+1} - A_{i+1}^+) \cdot ((\alpha_i^- - \alpha_i^+) \bar{q}^+ + \beta_i^- \bar{r}^-) - \\ - e^{-\alpha_i^- h_i^-} (y_{i-1} - A_{i-1}^-) \beta_i^- \bar{r}^+ + A_{\rho}^+ (\alpha_i^- \bar{q}^+ + \beta_i^- \bar{r}^-) - (B^+ - B^-) \bar{r} \bar{q}^+ ],$$

где

$$\bar{r}^{\pm} = \operatorname{ch} \alpha_i^{\pm} h_i^{\pm}, \quad \bar{q}^{\pm} = \operatorname{sh} \beta_i^{\pm} h_i^{\pm},$$

$$\bar{x} = \beta_i^+ \bar{r} \bar{q}^- + (\alpha_i^- - \alpha_i^+) \bar{q}^- + B_i^- \bar{r} \bar{q}^+.$$

Последующие простые вычисления с использованием условия сопряжения дают искомые выражения и для констант  $C_1$  и  $C_3$ :

$$C_1 = \frac{1}{h} [ e^{-\alpha_i^+ h_i^+} (y_{i+1} - A_{i+1}^+) \beta_i^+ \bar{q}^- + e^{-\alpha_i^- h_i^-} (y_{i-1} - A_{i-1}^-) \beta_i^- \bar{q}^+ + \\ + A_{\rho} \bar{q} (\beta_i^+ \bar{r}^+ - \alpha_i^+ \bar{q}^+) + \bar{q} \bar{q}^+ (B^+ - B^-) ],$$

$$C_3 = \frac{1}{h} [ e^{-\alpha_i^+ h_i^+} (y_{i+1} - A_{i+1}^+) \beta_i^+ \bar{q}^- + e^{-\alpha_i^- h_i^-} (y_{i-1} - A_{i-1}^-) \beta_i^- \bar{q}^+ - \\ - A_{\rho} \bar{q} (\alpha_i^- \bar{q}^- + \beta_i^- \bar{r}^-) + \bar{q} \bar{q}^+ (B^+ - B^-) ],$$

$$A = A_0^+ - A_0^-.$$

Полученные выражения для констант  $C_1, C_2, C_3$  и  $C_4$  и формула (2.2) дают представление для точного решения  $U^{\pm}$  краевой задачи (2.1) во всем интервале  $[x_{i-1}, x_{i+1}]$

(с неизвестными пока значениями  $y_{i-1}, y_i, y_{i+1}$  функции  $U^{\pm}$  в узловых точках  $x_{i-1}, x_i, x_{i+1}$ ).



3. Точную разностную схему для краевой задачи (I.1) с кусочно-постоянными в  $W_h$  коэффициентами будем искать в виде

$$\begin{cases} \Lambda y_i \equiv \tilde{A}_i y_{i-1} - \tilde{C}_i y_i + \tilde{B}_i y_{i+1} = F_i, \\ y_0 = M_1, \quad y_N = M_2, \quad i = \overline{1, N-1}. \end{cases} \quad (3.1)$$

Неизвестные величины  $\tilde{A}_i$ ,  $\tilde{C}_i$ ,  $\tilde{B}_i$  и  $F_i$  легко определяются из условий

$$U^-(x_i) = U^+(x_i) = y_i,$$

$$C_2 + U_p^-(0) = C_3 + U_p^+(0) = y_1.$$

В итоге получаем окончательное представление для коэффициентов разностной схемы (3.1):

$$\begin{aligned} \tilde{A}_i &= e^{-\alpha_i^- h_i^-} \cdot \beta_i^- \gamma^+, \quad \tilde{C}_i = \kappa, \quad \tilde{B}_i = e^{-\alpha_i^+ h_i^+} \cdot \beta_i^+ \gamma^-, \\ F_i &= A_{i+1}^+ e^{-\alpha_i^+ h_i^+} \cdot \beta_i^+ \gamma^+ + A_{i-1}^- e^{\alpha_i^- h_i^-} \cdot \beta_i^- \gamma^- - \\ &- A \gamma^- (\beta_i^+ \gamma^+ - \alpha_i^+ \gamma^+) - \gamma^- \gamma^+ (B^+ - B^-) - A_0 \kappa. \end{aligned} \quad (3.2)$$

Для сравнения полученной разностной схемы с уже известными рассмотрим случай схемы Ильина [1] в ситуации, где  $b=0$ ,  $a_i^+ = a_i^- = a_i \neq 0$ ,  $f_i^+ = f_i^- = f_i$ ,  $h_i^+ = h_i^- = h$ .

В этих условиях схема Ильина имеет вид:

$$e^{\frac{\alpha h}{2\varepsilon}} \cdot y_{i-1} - 2ch \frac{\alpha h}{2\varepsilon} y_i + e^{\frac{\alpha h}{2\varepsilon}} \cdot y_{i+1} = -\frac{2fh}{a_i} \operatorname{sh} \frac{\alpha h}{2\varepsilon} \quad (3.3)$$

В свою очередь, схема (3.1) имеет коэффициенты

$$A_i^+ = 0, \quad A_{i-1}^- = -\frac{f_i h}{a_i}, \quad A_{i+1}^+ = \frac{f_i h}{a_i}, \quad B^+ - B^- = 0.$$

После несложных преобразований получаем, что схема (3.1) переходит в

$$e^{-\frac{a \cdot h}{2\epsilon}} y_{i-1} - 2 \operatorname{ch} \frac{a \cdot h}{2\epsilon} y_i + e^{\frac{a \cdot h}{2\epsilon}} y_{i+1} = -\frac{2 f_i \cdot h}{a_i} \operatorname{sh} \frac{a \cdot h}{2\epsilon}, \quad (3.4)$$

что совпадает со схемой (3.2). Таким образом, в рассмотренной ситуации предложенная схема (3.1) совпадает с известной схемой Ильина из [1].

#### СПИСОК ЛИТЕРАТУРЫ

1. Ильин А.М. Разностная схема для дифференциального уравнения с малым параметром при старшей производной // Мат. заметки. - 1969. - № 6, вып. 2. - С. 237-248.
2. Самарский А.А. Теория разностных схем. - М.: Наука, 1977. - 654 с.
3. Калис Х. Приближенные методы решения дифференциальных уравнений. - Рига: Звайгзне, 1986. - 416 с.

УДК 519.6

ОБ ОДНОМ АЛГОРИТМЕ ЧИСЛЕННОГО РЕШЕНИЯ КРАЕВОЙ ЗАДАЧИ ДЛЯ ОБЫКНОВЕННОГО ДИФФЕРЕНЦИАЛЬНОГО УРАВНЕНИЯ ВТОРОГО ПОРЯДКА. Райтумс И.У. // Математическое моделирование. Прикладные задачи математической физики. - Рига, 1992. - Вып. 3.

В работе предложена разностная схема для решения краевых задач для обыкновенных дифференциальных уравнений второго порядка. Схема является точной в случае линейного уравнения с кусочно-постоянными коэффициентами.

Библ. 3 назв.



AN ALGORITHM FOR NUMERICAL SOLUTION OF BOUNDARY VALUE PROBLEMS FOR SECOND ORDER ORDINARY DIFFERENTIAL EQUATIONS. Raitums I. // The mathematical simulation. Applied problems of mathematical physics - Riga:LU, 1992. - vol.3.

The paper discuss a finite difference scheme for ordinary differential equations which is precise in the case of piece wise constant coefficients.

Ref. 3.

PAR KĀDU OTRĀS KĀRTAS PARASTO DIFERENCIĀLVIENĀDOJUMU ROBEŽPROBLĒMU SKAITLISKĀS RISINĀŠANAS METODI. Raitums J. // Matemātiskā modelēšana. Matemātiskas fizikas lietiskās problēmas. - Riga:LU, 1992. - 3.sēj.

Darbā aplūkots viena galīgo diferencu shēma otrās kārtas parasto diferenciālvienādojumu robežproblēmu skaitliskai risināšanai. Shēma ir precīza gabaliskā konstantu koeficientu gadījumā.

Bibl. 3 nos.

И. М. Володко  
РГУ, Рига

СВОБОДНАЯ ТЕПЛОВАЯ МГД КОНВЕКЦИИ ОКОЛО  
ВЕРТИКАЛЬНОЙ ПЛАСТИНЫ В СИЛЬНОМ МАГНИТНОМ ПОЛЕ

В работе /1/ найден класс внешних магнитных полей, оставляющих автономной задачу свободной тепловой конвекции около вертикальной пластины. В данной работе для частного вида такого внешнего поля (см. /2/)

$$\vec{B}^e = B_0 (l/x)^{-1/4} \vec{e}_y \quad (1)$$

(ось  $x$  направлена вертикально вверх, ось  $y$  — горизонтально) получена точная асимптотика решения этой задачи при  $Z = Na^2 / \sqrt{Gr} \rightarrow \infty$  ( $Na$  — число Гартмана,  $Gr$  — число Грасгофа). Уже при  $Z \geq 4$  найденное асимптотическое решение мало отклоняется от точного решения этой задачи, найденного численно, методом стрельбы.

Если скорость жидкости  $\vec{v}$  и внешнее магнитное поле  $\vec{B}^e$  имеют вид:

$$\vec{v} = \{u(x, y), v(x, y)\}, \quad \vec{B}^e = \{B_x(x, y), B_y(x, y)\}, \quad (2)$$

то пограничные уравнения свободной тепловой конвекции в безиндукционном приближении имеют вид (см. /3/, /4/):

$$u \frac{\partial u}{\partial x} + v \frac{\partial u}{\partial y} = \nu \frac{\partial^2 u}{\partial y^2} + g\beta(T - T_\infty) + \frac{\sigma}{\rho}(vB_x - uB_y)B_z, \quad (3)$$

$$u \frac{\partial T}{\partial x} + v \frac{\partial T}{\partial y} = a \frac{\partial^2 T}{\partial y^2}; \quad \frac{\partial u}{\partial x} + \frac{\partial v}{\partial y} = 0, \quad (4), (5)$$

$$y=0: u=0, v=0, T=T_w; \quad y=\infty: u=0, T=T_\infty, \quad (6)$$

где  $\nu, a$  — коэффициенты кинематической вязкости и теплопроводности жидкости,  $g$  — ускорение силы тяжести,  $\beta$  — коэффициент теплового расширения,  $\sigma$  — проводимость,  $\rho$  — плотность жидкости.

Для перехода к автономной задаче в случае поля (1) введем функцию тока  $\psi(x, y)$  ( $v = \psi_y, u = -\psi_x$ ), автономную переменную  $\eta$  и безразмерную температуру  $\theta$  (см. /3/):



$$\eta = \kappa y x^{-1/4}; \quad \psi = 4\sqrt{\kappa} x^{3/4} f(\eta); \quad \kappa^4 = Gr / (4e^3);$$

$$\theta = (T - T_\infty) / (T_w - T_\infty); \quad Gr = \nu^2 g \beta (T_w - T_\infty) l^3. \quad (7)$$

После перехода к переменным (7) задача (3)-(6) становится автомодельной и принимает вид (штрих означает дифференцирование по  $\eta$ ):

$$f''' + 3ff'' - 2f'^2 + \theta - Zf' = 0, \quad (8)$$

$$\theta'' + 3Pr f \theta' = 0, \quad (9)$$

$$\eta = 0: f = 0, f' = 0, \theta = 1; \quad \eta = \infty: f' = 0, \theta = 0, \quad (10)$$

где  $Z = Na^2 / \sqrt{Gr}$ ,  $Na = Bl \sqrt{\frac{\sigma}{\rho \nu}}$  - число Гартмана,  $Pr = \nu / \alpha$  - число Прандтля.

Отметим, что в [2] найдена асимптотика решения задачи (8)-(10) при  $Z \rightarrow \infty$  лишь в ядре течения, в то время как в данной работе определяется асимптотика как в ядре, так и в динамическом пограничном слое при  $Z \rightarrow \infty$ .

Для получения асимптотики в ядре течения положим в (8) и (9)

$$\theta = Z \tilde{\theta} \quad (11)$$

и перейдем к пределу при  $Z \rightarrow \infty$ . Получим систему:

$$\tilde{\theta} - f' = 0, \quad \tilde{\theta}'' + 3Pr f \tilde{\theta}' = 0. \quad (12), (13)$$

Подставляя  $\tilde{\theta} = f'$  из (12) в (13), получим задачу

$$f''' + 3Pr f f'' = 0 \quad (14)$$

$$\eta = 0: f = 0, f' = Z^{-1}; \quad \eta = \infty: f' = 0, \quad (15)$$

причем условие  $f' = Z^{-1}$  при  $\eta = 0$  следует из (11) и (12).

Чтобы исключить из (14) и (15) параметры  $Pr$  и  $Z$ , положим:

$$\xi = \frac{1}{\sqrt{Z\rho_c}} F, \quad \eta = \sqrt{\frac{Z}{\rho_c}} \eta_1. \quad (16)$$

Получим задачу:

$$F''' + 3FF' = 0, \quad ( ' = d/d\eta_1) \quad (17)$$

$$\eta_1 = 0: F = 0, F' = 1; \quad \eta_1 = \infty: F' = 0. \quad (18)$$

В /2/ приводится результат численного решения задачи (17), (18), из которого следует, что

$$F''(0) = -1,087. \quad (19)$$

Решим задачу (17), (18) методом интегральных соотношений (см. /5/), видоизменив его так, чтобы получить не только  $F''(0)$ , близкое к (19), но и сами кривые  $F(\eta_1)$  и  $\theta(\eta_1)$ , близкое к точному численному решению. Для этого вместо обычно используемого приближения полиномами (см. /5/) используем приближение с помощью показательных функций:

$$F(\eta_1) = a_0 + a_1 e^{-\eta_1} + a_2 e^{-2\eta_1} + a_3 e^{-3\eta_1}, \quad (20)$$

где  $a_0 - a_3$  неизвестные коэффициенты. Функция (20) уже удовлетворяет условию на бесконечности в (18). Для определения четырех коэффициентов  $a_0 - a_3$  используем первые два граничных условия в (18), а также условие

$$F'''(0) = 0, \quad (21)$$

которое получается из уравнения (17) и условия  $F(0) = 0$ . Проинтегрируем уравнение (17) по  $\eta$  от  $\eta = 0$  до  $\eta = \infty$ , получим

$$F''(0) + 3 \int_0^{\infty} F'^2(\eta_1) d\eta_1 = 0. \quad (22)$$

Используя первые два граничных условия в (18) и условие (21), удается коэффициенты  $a_1 - a_3$  выразить через  $a_0$ , а соотношение (22) приводит к квадратному уравнению для  $a_0$ , в котором надо выбрать корень  $a_0 > 0$  (т. к. должно быть  $a_0 = f'(\infty)$ ).



В результате получим

$$a_0 = 0,7158; a_1 = -0,2063;$$

$$a_2 = -0,7349; a_3 = 0,2254; F''(0) = -1,117, \text{ что } \quad (23)$$

менее чем на 3% отличается от точного значения  $F''(0)$  в (19).

Подстановка (20) в (16) и (12) дает решение задачи в ядре течения в виде:

$$f(\eta) = \frac{1}{\sqrt{ZPr}} \sum_{k=0}^3 a_k e^{-k\eta^2}, \quad \eta = \sqrt{\frac{Pr}{Z}}, \quad (24)$$

$$\theta(\eta) = Z f'(\eta) = - \sum_{k=1}^3 k a_k e^{-k\eta^2}, \quad (25)$$

где  $a_0, a_1, a_2, a_3$  определяются из (23).

Так как условие  $f'(0) = Z^{-1}$  в (15) противоречит условию  $f'(0) = 0$  в (10), то в окрестности точки  $\eta = 0$  должен быть пограничный слой, компенсирующий эту неувязку. Для построения решения в этом погранслое предположим, что число Прандтля  $Pr \ll 1$ , так что в пределах толщины динамического погранслоя температура остается постоянной и равной 1. Положим в уравнениях (8) и (9)

$$\eta = \frac{\xi}{\sqrt{Z}}, \quad \theta = Z^{3/2} \theta_1, \quad f = f_1 \quad (26)$$

и перейдем к пределу при  $Z \rightarrow \infty$ . Получим задачу:

$$\frac{d^3 f_1}{d\xi^3} + \theta_1 - \frac{d f_1}{d\xi} = 0, \quad \frac{d^2 \theta_1}{d\xi^2} = 0 \quad (27), (28)$$

$$\xi = 0: f_1 = f_1' = 0, \quad \theta_1 = Z^{-3/2}. \quad (29)$$

В силу того, что  $Pr \ll 1$ , из (28), (29) следует, что

$$\theta_1 = Z^{-3/2}, \quad (30)$$

так что для неизвестной функции  $f_1$  получается уравнение:

$$\frac{d^3 f_1}{d\xi^3} + Z^{-3/2} - \frac{d f_1}{d\xi} = 0. \quad (31)$$

Решение уравнения (31), удовлетворяющее граничным условиям (29) и имеющее ограниченную производную при  $\xi \rightarrow \infty$ , имеет вид (после перехода к переменной  $\eta$ ):

$$\phi_1(\eta) = Z^{-3/2} (e^{-\eta\sqrt{Z}} - 1 + \eta\sqrt{Z}), \quad \theta = 1. \quad (32)$$

Из (32) следует, что

$$\lim_{\eta \rightarrow \infty} \phi_1'(\eta) = -\frac{1}{Z}, \quad (33)$$

что совпадает с пределом в ядре течения (см. (24))

$$\lim_{\eta \rightarrow 0} \phi_1'(\eta) = -\frac{1}{Z}, \quad (34)$$

т. е. условия согласования выполнены. Для построения составного разложения (см. /6/) нужно взять сумму решения в ядре и в погранслое и вычесть общий предел (т.е.  $Z^{-1}$ ), это дает:

$$\phi(\eta) = Z^{-3/2} (e^{-\eta\sqrt{Z}} - 1) + \sum_{k=0}^3 a_k e^{-k\eta}. \quad (35)$$

Формулы (35), (25) дают асимптотическое решение задачи (8)-(10) при  $Z \rightarrow \infty$  и  $Pe \ll 1$ . Из (35) следует

$$\phi'(\eta) = -Z^{-1} e^{-\eta\sqrt{Z}} - Z^{-1} \sum_{k=1}^3 k a_k e^{-k\eta}. \quad (36)$$

На рисунке I приведены результаты расчета функций  $\phi'(\eta)$  и  $\theta(\eta)$  по формулам (25), (36); на этом же рисунке приведены результаты точного численного решения задачи (8)-(10), полученного методом стрельбы при  $Pe = 0,0525$ ,  $Z = 4$  и  $Z = 10$ . Как видно из рисунка, асимптотика (25) и (36) практически сливается с точным численным решением при  $Z = 10$  и дает малое отклонение от него при  $Z = 4$ .



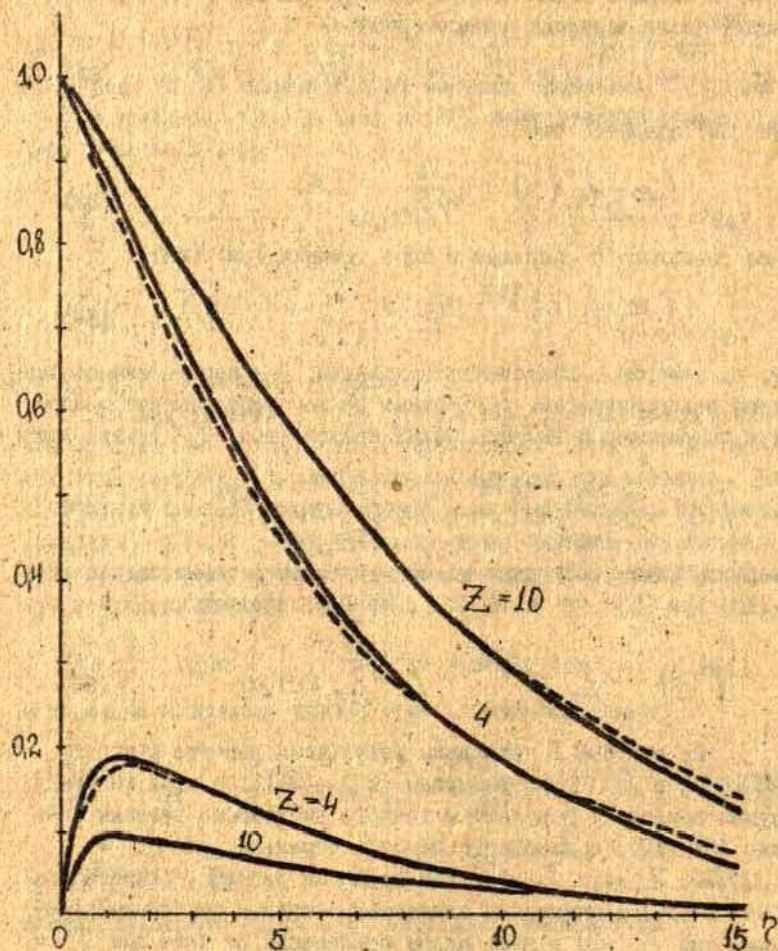


Рис. I. Сравнение точного численного (—) и асимптотического (---) решений для вертикальной пластины при  $Pr = 0,9625$ ,  $Z = 4$  и  $Z = 10$ . Верхние кривые —  $\theta(z)$ , нижние —  $\phi'(z)$ .

## СПИСОК ЛИТЕРАТУРЫ

1. Антимиров М.А., Володко И.М., Жирнов О.В., Подвысоцкий А.Ю. О классе магнитных полей, оставляющих автомо-дельными задачи свободной тепловой МГД конвекции// Магнитная гидродинамика.-1991.-№3.-С.75-81.
2. Likoudis P.S..Natural convection of an electrically conducting fluid in the presence of a magnetic field//Intern. J.Heat a..mass Transfer.-1968.-Vol.II,№9.-P.1385-1391.
3. Джалурия И. Естественная конвекция.-М.,1983.-399с.
4. Гельфгат Ю.А., Лиелаусис О.А., Щербинин Э.В. Жидкий металл под действием электромагнитных сил.-Рига,1976.-231с.
5. Блум Э.А., Михайлов Ю.А., Озолс Р.Я. Тепло- и мас-сообмен в магнитном поле.-Рига,1980.-355с.
6. Найфэ А. Методы возмущений.-М.,1976.-455с.

УДК 537.84

СВОБОДНАЯ ТЕПЛОВАЯ МГД КОНВЕКЦИЯ ОКОЛО ВЕРТИКАЛЬНОЙ ПЛАСТИНЫ В СИЛЬНОМ МАГНИТНОМ ПОЛЕ. Володко И.М.// Математическое моделирование. Прикладные задачи математической физики: ЛУ, 1992.- Вып.3.

Получена точная асимптотика решения автомо-дельной задачи о свободной тепловой МГД конвекции около вертикальной полубесконечной пластины при  $Z = Ha^2/\sqrt{Gr} \rightarrow \infty$  ( $Ha$  - число Гартмана,  $Gr$  - число Грасгофа). Внешнее магнитное поле имеет вид  $\vec{B}^e = B_0(l/x)^{-1/4} \vec{e}_y$  (ось  $x$  направлена вертикально вверх). При  $Z = 10$ ,  $Pr = 0,0625$  найденная асимптотика поля скоростей и температур практически совпадает с точным численным решением, а при  $Z = 4$  дает малое отклонение от него.

Ил. 1. Библиогр. 6 назв.



NATURAL MHD CONVECTION NEAR A VERTICAL PLATE IN A STRONG MAGNETIC FIELD. I.M.Volodko// The mathematical simulation. Applied problems of mathematical physics. Riga: LU, 1992.- Vol.3.

An exact asymptote of the self-similar problem about MHD natural convection near a vertical semi-infinite plate, if  $Z = Ha^2/\sqrt{Gr} \rightarrow \infty$  is given ( $Ha$  - Hartman number,  $Gr$  - Grashof number). The external magnetic field is  $\vec{B}^e = B_0(l/x)^{-1/4} \vec{e}_y$  ( $x$  axes direction is vertical up). The asymptotic solution of a velocity and temperature fields practically coincide with exact numerical solution of the problem if  $Z = 10$ ,  $Pr = 0,0625$  and has small deviation from them if  $Z = 4$ .

Bibliogr. 6 title, 1 figure.

BRĪVĀ MHD SILTUMKONVERCIJA PIE VERTIKĀLĀS PLĀTES STIPRĀ MAGNĒTISKĀ LAUKĀ. Volodko I.M.// Matemātiskā modelēšana. Matemātiskās fizikas lietišķās problēmas.-Rīga: 1992.- 3 izl.

Darbā izstrādāta brīvās MHD siltumkonvekcijas pie vertikālās plātes automodeļa uzdevuma risināšanas precīza asimptotika, kad  $Z = Ha^2/\sqrt{Gr} \rightarrow \infty$  ( $Ha$  - Hartmana skaitlis,  $Gr$  - Gragofa skaitlis). Arējais magnētiskais lauks ir  $\vec{B}^e = B_0(l/x)^{-1/4} \vec{e}_y$  ( $x$  ass vērsta vertikāli uz augšu). Gadījumā  $Z = 10$ ,  $Pr = 0,0625$  ātruma un temperatūras lauku atvasināšana praktiski sakrīt ar precīzo skaitlisko atvasinājumu, bet gadījumā  $Z = 4$  starpība ir neliela.

Zīm. 1, bibliogr. 6 nos.

JĀnis VUCĀNS  
University of Latvia

Approximation of the third order to effective  
thermoconductivity of the quadratic lattice structure

First let's introduce quadratic lattice structure

$$B = B(\tau) \equiv \bigcup_{k=-\infty}^{+\infty} \left\{ (x_1, x_2) : (|x_1 - k| < \tau/2) ; (|x_2 - k| < \tau/2) \right\}$$

depending on the width of a strip equal to  $\tau \in (0, 1)$ .

Let's introduce also the crest

$$Q = Q(\tau) \equiv B(\tau) \cap (-1/2, 1/2)^2.$$

This paper refers to homogenization theory for the Laplacian on  $B$  with homogenous Neumann boundary conditions. In order to find for this problem the homogenized matrix, which is due to the symmetry equal to  $\hat{K} \delta_{ij}$ , we have to solve the auxiliary homogenization problem:

$$\Delta u = 0 \text{ in } Q(\tau), \quad \frac{\partial u}{\partial n} = 0 \text{ in } \partial Q(\tau) \setminus (-1/2, 1/2)^2, \quad (1)$$

( $U - x_1$ ) being 1-periodic in both of the variables  $x_1$  and  $x_2$ .

Then homogenized coefficient which is in this case effective thermoconductivity is equal to

$$\hat{K} = \hat{K}(\tau) = \left\langle \frac{\partial u}{\partial x_1} \right\rangle = \iint_Q \frac{\partial u}{\partial x_1} dx_1 dx_2. \quad (2)$$

In the article [1] we (together with S.M.Kozlov) have proved for this problem the following

Theorem 1. The effective thermoconductivity  $\hat{K} = \hat{K}(\tau)$  is given by the two equivalent formulae

$$\hat{K} = \tau \left\{ 1 + I_2(\alpha) \left[ I_1(\alpha) \ I_2(\alpha) \right]^{-1} \right\} \quad (3^1)$$

$$\text{and} \quad \hat{K} = 1 - (1-\tau) \left\{ I_2(\alpha) \left[ I_1(\alpha) \ I_2(\alpha) \right]^{-1} \right\}, \quad (3^2)$$

where  $\alpha = \alpha(\tau)$ ,  $\tau \in (0, 1)$ , is the unique solution of the equation

$$\tau = I_1(\alpha) \left[ I_1(\alpha) + I_2(\alpha) \right]^{-1} \quad (4)$$

from the interval  $(1, +\infty)$  and for  $\alpha > 1$  the functions

$I_1(\alpha) - I_2(\alpha)$  are given by the following integrals:



$$I_1(\alpha) = \int_0^{\alpha} \frac{t}{\sqrt{(t^2-1)(\alpha^2-t^2)}} dt.$$

$$I_2(\alpha) = \int_0^1 \frac{t}{\sqrt{(1-t^2)(\alpha^2-t^2)}} dt.$$

$$I_3(\alpha) = \int_0^1 \frac{z}{\sqrt{(1-z^2)(\alpha^2-z^2)}} \int_z^{\alpha} \frac{t}{\sqrt{(t+1)(\alpha^2-t^2)}} dt dz.$$

$$I_4(\alpha) = \int_0^1 \frac{z}{\sqrt{(1-z^2)(\alpha^2-z^2)}} \int_{-1}^z \frac{t}{\sqrt{(t+1)(\alpha^2-t^2)}} dt dz.$$

$$I_5(\alpha) = \int_{-1}^{\alpha} \frac{t}{\sqrt{(t+1)(\alpha^2-t^2)}} dt = \int_0^{\frac{\alpha}{2}} K\left(\sqrt{\frac{\alpha+1}{2\alpha}}\right).$$

where  $K(\cdot)$  is complete Legendre elliptic integral of the first kind.

In the proof of this theorem in the note [1] we used conformal mapping and elliptic integrals and finally we obtained the explicit solution of the problem (1). That allowed to write down the formulae (3<sup>1,2</sup>). We note that for implicit function  $\alpha = \alpha(\tau)$ ,  $\tau \in (0, 1)$  given by (4) are true the limiting properties

$$\lim_{\tau \rightarrow 0} \alpha(\tau) = 1, \quad \lim_{\tau \rightarrow 1} \alpha(\tau) = +\infty. \quad (5)$$

Using the theorem 1 in the article [1] we obtained also the following asymptotic formulae

$$\hat{\kappa}(\tau) = 1 - (1-\tau)^2 \frac{\Gamma^4(\frac{1}{4})}{8\pi^2} + o((1-\tau)^2), \quad \tau \rightarrow 1. \quad (6)$$

and

$$\hat{\kappa}(\tau) = \tau + k_2 \tau^2 + o(\tau^2), \quad \tau \rightarrow 0. \quad (7)$$

where  $\Gamma(\cdot)$  is Euler's Gamma function and

$$k_2 = \frac{4}{\pi^2} \int_0^{\operatorname{arcsch} 1} t \sqrt{\operatorname{cosech}^2 t - 1} dt \approx 0.27936. \quad (8)$$

Earlier with others methods formula (6) is obtained in the paper [2], but formula (7) - in the [3]. The advantage of the Theorem 1 is its applicability for more detailed investigations of the effective thermoconductivity  $\hat{\kappa}$  in the all interval  $(0, 1)$ .

The main results of this paper are the graphical illustration of the effective thermoconductivity  $\hat{\kappa}(\tau)$ ,  $\tau \in (0, 1)$ ,

( look Figures 1 and 2 ) and the improvement of the asymptotic formula (7) given by

**Theorem 2.** For the problem (1)-(2) is true the asymptotic formula

$$\hat{K}(\tau) = \tau + k_2 \tau^2 + k_3 \tau^3 + o(\tau^3), \quad \tau \rightarrow 0_+, \quad (9)$$

where  $k_2$  is given by (8), but

$$k_3 = -k_2 \left\{ \frac{1}{2\pi} \left[ 5 \ln 2 + 4 \operatorname{arctg}(2^{-1/4}) \right] - \frac{5}{2} \right\} \approx \\ \approx -k_2 \cdot 0,0131 \approx -3,661 \cdot 10^{-2}. \quad (10)$$

In order to obtain these results the more accurate study of the functions  $I_j(\alpha)$  and their derivatives  $I_j'(\alpha) = \frac{d}{d\alpha} I_j(\alpha)$ ,  $j=1,2,3,5$ , is necessary. We transform these functions of  $\alpha$  in the forms without the singularities in the integrals. We abandon the transformations and write down here only the final expressions.

So, for  $I_1(\alpha)$  we obtain:

$$I_1(\alpha) = 2^{-3/4} \frac{\pi}{2} \int_{-1/2}^2 \left[ (\alpha^2 - t) \sin z + \alpha^2 + t \right]^{-1/4} ds, \quad (11)$$

$$I_1(\alpha) = \frac{\pi}{2} + o(1), \quad \alpha \rightarrow t_+, \quad (12)$$

$$I_1'(\alpha) = -\frac{\pi}{8} + o(1), \quad \alpha \rightarrow t_+. \quad (13)$$

For the function  $I_2(\alpha)$  is true the equality

$$I_2(\alpha) = \left[ 2(\alpha+1) \right]^{-1/2} \left[ -\ln(\alpha-1) + g_2(\alpha) \right], \quad (14)$$

where

$$g_2(\alpha) = \ln \left[ \left( \frac{\sqrt{4\alpha} + \sqrt{\alpha+1}}{\sqrt{2} + \sqrt{\alpha+1}} \right)^2 \left( \frac{2\sqrt{\alpha} + \alpha+1}{\sqrt{2} + \sqrt{\alpha+1}} \right) \right] + \\ + 2 \operatorname{arctg} \sqrt[4]{2(\alpha+1)} - 2 \operatorname{arctg} \sqrt[4]{2\alpha(\alpha+1)^2} + \quad (15)$$

$$+ \sqrt{2} \int_0^{\sqrt{2(\alpha+1)}} \left[ \frac{1}{1+s} + \frac{s-1}{1+s^2} \right] \sqrt{\frac{1-s^4}{4\alpha - (\alpha+1)^2 s^4}} ds.$$

Since in every interval  $(1, \alpha^*)$ ,  $\alpha^* > 1$ , the function  $g_2(\alpha)$  and its derivative  $g_2'(\alpha)$  are bounded we have the following limiting properties:



$$I_2(\alpha) = -\frac{1}{2} \ln(\alpha-1) + \frac{1}{3} g_2(1) + o(1), \quad \alpha \rightarrow 1_+, \quad (16)$$

where  $g_2(1) = \frac{5}{2} \ln 2 + \frac{\pi}{2} - 2 \operatorname{arctg}(2^{-1/4})$ , (17)

$$I_2'(\alpha) = -\frac{1}{2} \frac{1}{\alpha-1} + \frac{1}{3} \ln(\alpha-1) + o(\ln(\alpha-1)), \quad \alpha \rightarrow 1_+. \quad (18)$$

For the function  $I_3(\alpha)$  we obtain the expressions :

$$\begin{aligned} I_3(\alpha) &= f_{30}(\alpha) - \int_0^1 \int_0^1 \sqrt{1-y} \int_0^1 \frac{\sqrt{z} (\alpha-z)(1+\alpha y+2zy+2z(1-y))}{1-z f_{32}(\alpha, z) f_{33}^3(\alpha, y, z)} dz dy = \\ &= f_{30}(\alpha) - \frac{\pi}{2\alpha^2} \int_0^1 f_{31}(\alpha, y) \sqrt{1-y} [(1+\alpha y)(1+y)]^{-3/2} dy - \\ &- \int_0^1 \sqrt{1-y} \int_0^1 \left\{ \frac{\sqrt{z(1-z)} (3-\alpha+2y(2\alpha-1)+2z(1-y))}{f_{32}(\alpha, z) f_{33}^3(\alpha, y, z)} - \right. \\ &- \frac{1}{2} f_{31}(\alpha, y) \frac{\sqrt{z(1-z)} + \operatorname{arctg} \sqrt{z(1-z)}/z}{f_{32}(\alpha, z) f_{33}^3(\alpha, y, z)} \left\{ (1+\alpha+2z) f_{33}^2(\alpha, y, z) + \right. \\ &\left. \left. + 3(1-y) [1+\alpha+2zy+2z(1-y)] f_{32}^2(\alpha, z) \right\} \right\} dz dy, \quad (19) \end{aligned}$$

where  $f_{30}(\alpha) = \frac{\sqrt{2}\pi}{\alpha+1 + \sqrt{2\alpha(\alpha+1)}}$ ,

$$f_{31}(\alpha, y) = (\alpha-1) [3+\alpha+2y(\alpha-1)],$$

$$f_{32}(\alpha, z) = \sqrt{(1+z)(\alpha+z)},$$

$$f_{33}(\alpha, y, z) = \sqrt{[1+\alpha y+z(1-y)][\alpha(1+y)+z(1-y)]}.$$

From these expressions we get

$$I_3(\alpha) = \sqrt{2} \int_0^{\operatorname{arctg} 1} \sqrt{\operatorname{cosech}^2 t - 1} dt + o(1), \quad \alpha \rightarrow 1_+, \quad (20)$$

$$I_3'(\alpha) = -\frac{\sqrt{2}\pi}{2\alpha} [4 + 5\pi - 10 \ln 2] + o(1), \quad \alpha \rightarrow 1_+. \quad (21)$$

The limiting properties for the function  $I_3(\alpha)$ , when  $\alpha \rightarrow 1_+$ , immediately follow from the Legendre elliptic integral  $K(\cdot)$  representation in form of the row given by the formula (8.113.3) from [4] :

$$I_3(\alpha) = \sqrt{\frac{2}{10}} \left[ -8 \ln(\alpha-1) + 40 \ln 2 + 3(\alpha-1) \ln(\alpha-1) \right] + o((\alpha-1) \ln(\alpha-1)), \quad \alpha \rightarrow 1_+ \quad (22)$$

$$I_2'(\alpha) = \sqrt{\frac{2}{10}} \left[ -\frac{8}{\alpha-1} + 3 \ln(\alpha-1) \right] + o(\ln(\alpha-1)), \quad \alpha \rightarrow 1_+ \quad (23)$$

From the (4), (5), (12), (13), (16) and (18) we acquire the identities

$$\alpha'(\tau) = \frac{d\alpha(\tau)}{d\tau} = \left[ \frac{d}{d\alpha} \frac{I_1(\alpha)}{I_1(\alpha) + I_2(\alpha)} \right]^{-1}$$

$$= \left[ I_1(\alpha) + I_2(\alpha) \right]^2 \left[ I_1'(\alpha) I_2(\alpha) - I_1(\alpha) I_2'(\alpha) \right]^{-1}, \quad (24)$$

$$\lim_{\tau \rightarrow 0_+} \tau \ln(\alpha(\tau) - 1) = -\pi, \quad (25)$$

$$\lim_{\tau \rightarrow 0_+} \tau^2 (\alpha(\tau) - 1)^{-1} \alpha'(\tau) = \pi, \quad (26)$$

Now using the obtained formulae (11)-(26) we shall prove the Theorem 2.

Proof of Theorem 2. First let's introduce the function

$$F(\tau) = \frac{I_1(\alpha(\tau))}{\tau \left[ I_1(\alpha(\tau)) + I_2(\alpha(\tau)) \right]}, \quad \tau \in (0, 1). \quad (27)$$

Then from (5), (12), (20), (22) and (25) follows the equality

$$\lim_{\tau \rightarrow 0_+} F(\tau) = h_2 \quad (28)$$

Now let's consider the derivative

$$\begin{aligned} \frac{d}{d\tau} F(\tau) &= \frac{1}{\tau^2 I_1^2 I_2^2} \left\{ \tau \alpha'(\tau) I_2 \left[ I_1 I_2' - I_1' I_2 \right] - \right. \\ &\quad \left. - I_1 I_2 \left[ \tau \alpha'(\tau) I_2' + I_2 \right] \right\}. \end{aligned} \quad (29)$$

From the properties (5), (12), (13), (16), (20), (21), (22), (25) and (25) we have

$$\lim_{\tau \rightarrow 0_+} \tau^2 I_1^2(\alpha(\tau)) I_2^2(\alpha(\tau)) = \frac{\pi^2}{8} \quad (30)$$

$$\lim_{\tau \rightarrow 0_+} \alpha'(\tau) I_2(\alpha(\tau)) \left[ I_1(\alpha(\tau)) I_2'(\alpha(\tau)) - I_1'(\alpha(\tau)) I_2(\alpha(\tau)) \right] = 0 \quad (31)$$

From (4) and (24) we obtain



$$\begin{aligned} \tau \alpha'(\tau) I_2' + I_3 &= \frac{I_1}{I_1 + I_2} \frac{C(I_1 + I_2)^2}{I_1' I_2' - I_1 I_2} I_2' + I_3 = \\ &= \frac{I_1' I_2' I_3 + I_1^2 I_2' + I_1 C I_2 I_3 - I_2' I_3}{I_1' I_2' - I_1 I_2}. \end{aligned} \quad (32)$$

The equalities (12), (13), (16), (17), (18), (22), (23) give us the following formulae

$$\begin{aligned} I_1 (I_2 I_3' - I_2' I_3) &= \frac{\sqrt{2} \pi}{2(\alpha-1)} \left[ \frac{\pi}{2} \ln 2 - \frac{1}{2} \varepsilon_2 C(1) \right] + o\left(\frac{1}{\alpha-1}\right) = \\ &= \frac{\sqrt{2} \pi}{2(\alpha-1)} \left[ 10 \ln 2 - \pi + 8 \operatorname{arctg}(\varepsilon^{-1/4}) \right] + o\left(\frac{1}{\alpha-1}\right), \quad \alpha \rightarrow 1, \\ I_1' I_2' I_3 &= o\left(\frac{1}{\alpha-1}\right), \quad \alpha \rightarrow 1, \end{aligned}$$

$$I_1' I_2' = -\frac{\sqrt{2} \pi^2}{2(\alpha-1)} + o\left(\frac{1}{\alpha-1}\right), \quad \alpha \rightarrow 1,$$

$$I_1' I_2' - I_1' I_2' = \frac{\pi}{2(\alpha-1)} + o\left(\frac{1}{\alpha-1}\right), \quad \alpha \rightarrow 1,$$

These formulae according to (32) imply

$$\begin{aligned} \tau \alpha' I_2' + I_3 &= \left[ \frac{\pi}{2(\alpha-1)} + o\left(\frac{1}{\alpha-1}\right) \right]^{-1} \cdot \left\{ -\frac{\sqrt{2} \pi^2}{2(\alpha-1)} + \right. \\ &+ \frac{\sqrt{2} \pi}{2(\alpha-1)} \left[ 10 \ln 2 - \pi + 8 \operatorname{arctg}(\varepsilon^{-1/4}) \right] + o\left(\frac{1}{\alpha-1}\right) \left. \right\} = \\ &= \frac{\sqrt{2} \pi}{8} \left[ 10 \ln 2 - 5\pi + 8 \operatorname{arctg}(\varepsilon^{-1/4}) \right] + o(1), \quad \tau \rightarrow 0. \end{aligned} \quad (33)$$

Then from the (5), (8), (12), (20), (29), (30), (31) and (33) we obtain

$$\lim_{\tau \rightarrow 0} \frac{d}{d\tau} \tau \alpha'(\tau) = -\kappa_2 \left\{ \frac{1}{2\pi} \left[ 5 \ln 2 + 4 \operatorname{arctg}(\varepsilon^{-1/4}) \right] - \frac{\pi}{8} \right\} = \kappa_3. \quad (34)$$

So from the (3'), (27) and (34) follows the equality (9). The Theorem 2 is proved.

Now we stress that our formulae (11), (14), (15) and (19) haven't singularities in the integrals, therefore they can be used for approximately calculation of functions  $I_1(\alpha)$ ,  $I_2(\alpha)$  and  $I_3(\alpha)$  by formulae of quadratures. The function  $I_2(\alpha)$  can be approximately calculated by the formula (B.113.3) from [4]. That allows us to calculate approximately the effective thermoconductivity  $\kappa_{\text{eff}}$  in the

all interval  $(0,1)$ . In the Figure 1 we represent the graph of the effective thermoconductivity  $\hat{\kappa}(\tau)$ ,  $\tau \in (0,1)$ . In the Figure 1 we give also the graphs of approximations to  $\hat{\kappa}(\tau)$  given by formulae (6), (7) and (9). The graphs of approximations (7) and (9) are practically congruous. For more detailed illustration of function  $\hat{\kappa}(\tau)$  and its approximations (6), (7) and (9) in the Figure 2 we represent the graph of the difference  $\hat{\kappa}(\tau) - \tau$ ,  $\tau \in (0,1)$ , and the graphs of the corresponding differences for the approximations (6), (7) and (9). We note that from Figures 1 and 2 we can see that formulae (7) and (9) give good approximation to  $\hat{\kappa}(\tau)$  for  $\tau \in (0; 0,6)$ , but (6) gives good approximation to  $\hat{\kappa}(\tau)$  for  $\tau \in (0,65; 1)$ .

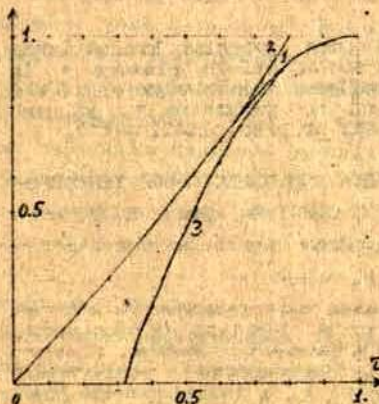


Figure 1. 1 - graph of the  $\hat{\kappa}(\tau)$ ; 2 - graphs (practically congruous) of approximations (7) and (9) to  $\hat{\kappa}(\tau)$ ; 3 - graph of approximation (6) to  $\hat{\kappa}(\tau)$ .

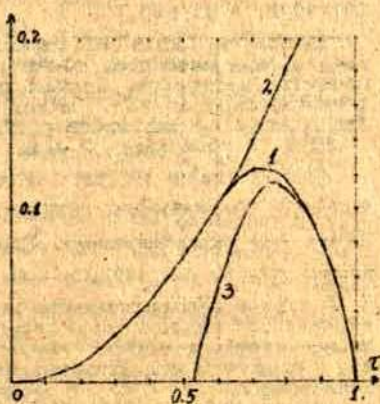


Figure 2. 1 - graph of the  $\hat{\kappa}(\tau) - \tau$ ; 2 - graphs (practically congruous) of the  $\frac{1}{2}\tau^2$  and  $\frac{1}{2}\tau^2 + \frac{1}{2}\tau^3$ ; 3 - graph of the  $\left[ (\tau - (1-\tau)^2) \frac{\tau^2(1+\tau)}{2n^2} \right] - \tau$ .

#### List of references

1. S.M.Kozlov and J.Vučens, *Explicit formula for effective thermoconductivity on the quadratic lattice structure*. C.R.Acad.Sci.Paris, t.314, Serie I, 1992, p.281-286.



2. E.M.Kozlov, *Geometric aspects of homogenization*. Russian Mathematical Surveys, 1989. № 2, p.91-120.
3. E.M.Kozlov and G.P.Panasenko, *Corrections to the strength materials theory for the lattice structure*. Publication du laboratoire d'Analyse Numerique de l'Universite Pierre et Marie Curie (Paris 6), 1991. 8 p.
4. И.С.Градштейн и И.М.Ризик, *Таблицы интегралов, сумм, рядов и произведений*-М,1967-1100 с.

UDC 517.946

KĒĶĒTĪVĀS TĒRĪVOVĀDĪTĒRĒJAS TĒRĒSĀS KĀRTĀS APROKSIMĀCIJA KVADRĀTISKAI RĒZĒVEIDA STRUKTŪRAI. Vučins J. // *Matemātiskā modelesana. Matemātiskās fizikas lietiskās problēmas*. Rīga: LU, 1992. - 3. sēj.

Rakstā aplūkots siltumvadīšanas uzdevums kvadrātiskai režēveida struktūrai plaknē. Rēžģa šķiots platums  $\tau$  ir uzdevuma parametrs. Iegūta grafiska ilustrācija efektīvās termovadītspējas  $K_{eff}$  atkarībai no parametra  $\tau$ , kā arī funkcijas  $K_{eff}$  Maklorāna polinoms ar precizitāti  $O(\tau^3)$ .

Bibl. 4 nosaukumi, 2 zīm.

APPROXIMATION OF THE THIRD ORDER TO EFFECTIVE THERMOCONDUCTIVITY OF THE QUADRATIC LATTICE STRUCTURE. Vučins J. // *Matemātiskā modelesana. Priekšdarbi matemātiskajai fizikai*. Rīga: LU, 1992. - sēj. 3.

In the article the problem of thermal conductivity for the periodic quadratic lattice structure in plane is discussed. The width  $\tau$  of a strip of the lattice is the parameter of the problem. The graphical illustration for the dependence of the effective thermal conductivity  $K_{eff}$  from the parameter  $\tau$  is obtained. The polynomial of Maclaurin with the precision  $O(\tau^3)$  for  $K_{eff}$  is got.

Bibl. 4 items, 2 fig.

APPROXIMATION OF THE THIRD ORDER TO EFFECTIVE THERMOCONDUCTIVITY OF THE QUADRATIC LATTICE STRUCTURE. Vučins J. // *The Mathematical Simulation. Applied Problems of Mathematical Physics*. - Rīga, 1992. - Vol. 3.

In the article the problem of thermal conductivity for the periodic quadratic lattice structure in plane is discussed. The width  $\tau$  of a strip of the lattice is the parameter of the problem. The graphical illustration for the dependence of the effective thermal conductivity  $K_{eff}$  from the parameter  $\tau$  is obtained. The polynomial of Maclaurin with the precision  $O(\tau^3)$  for  $K_{eff}$  is got.

Ref. 4, Fig. 2.

А. Земитис

И. Риекстиня

Латвийский университет, Рига

Технический университет, Рига

## О ПРИМЕНЕНИИ МЕТОДА ГАЛЕРКИНА ДЛЯ РЕШЕНИЯ

## ОДНОЙ НЕЛИНЕЙНОЙ ЗАДАЧИ

При решении задач математической физики в последнее время широко распространение получили методы типа взвешенных невязок /1/. Так, применение полиномиальных аппроксимаций для решения различных задач химической технологии обсуждается в /2/. Оказывается, что во многих задачах достаточно брать лишь несколько базисных функций, чтобы получить для решения приемлемую точность.

Интересно заметить, что развитие самой вычислительной техники способствует не только развитию новых математических методов, но и нахождение новых решений в применении известных. Например, при использовании однопроцессорных компьютеров эффективными являются однородные алгоритмы (однородные разностные схемы, метод финитик, области итд. /3/) дающие возможность записать методы решения задач в сложных областях со сложной структурой решения единообразно и целостно. Появление многопроцессорной техники заставляет думать и в другом направлении — как разбить одну задачу на семейство относительно независимых подзадач, которые можно решать одновременно. Так, в /4/ обосновываются методы разделения задачи на подзадачи, соответствующие геометрическим подобластям исходной области. В данной работе разбиение осуществляется по характеру решения.



### 1. Постановка задачи.

В качестве примера рассмотрим модельную нелинейную задачу в прямоугольнике, которая фактически соответствует стационарной задаче Стефана [3], когда скрытым теплом плавления можно пренебречь. В качестве подобласти будем брать области постоянства коэффициентов в уравнении. Напомним, что речь идет о нахождении решения в относительно тонком слое. Поэтому размер области в вертикальном направлении, как правило, будет считаться намного меньше размера её в горизонтальном направлении. Итак, будем искать приближенное решение задачи:

$$\frac{\partial}{\partial x} (\lambda(u) \frac{\partial u}{\partial x}) + \frac{\partial}{\partial y} (\lambda(u) \frac{\partial u}{\partial y}) = 0, \quad \begin{matrix} 0 < x < 1, \\ 0 < y < 1. \end{matrix} \quad (1)$$

$$\begin{aligned} u(x, 0) &= 0, & 0 < x < 1, \\ u(x, 1) &= u(x), & 0 < x < 1, \end{aligned} \quad (2)$$

$$\frac{\partial u}{\partial x} \Big|_{x=0} = \frac{\partial u}{\partial x} \Big|_{x=1} = 0, \quad 0 < y < 1, \quad (3)$$

где

$$\lambda(u) = \begin{cases} \lambda_1, & 0 \leq u(x, y) < u_0, \\ \lambda_2, & u_0 \leq u(x, y). \end{cases} \quad (4)$$

$u(x)$  — заданная функция.

Так как функция  $\lambda(u)$  разрывна, то тогда на линии разрыва (предположим, что линия разрыва может быть представлена  $y = \varphi(x)$ , где  $\varphi(x)$  — неизвестная функция) должны выполняться условия непрерывности потока и самой функции (квадратная скобка означает разность предельных значений с обеих сторон в линии).

$$\left[ \lambda(u) \frac{\partial u}{\partial n} \right]_{y=\varphi(x)} = 0, \quad (u)|_{y=\varphi(x)} = 0, \quad (5)$$

где  $\frac{\partial}{\partial n}$  — производная по нормали к линии разрыва.

Здесь и в дальнейшем предполагается, что  $P(x)$  дана такая, которая гарантирует, что  $0 < \varphi(x) < 1$  при  $0 < x < 1$ , то есть линия  $y = \varphi(x)$  пересечет границу прямоугольной области только на боковых сторонах. При этих предположениях задачу можно переформулировать в виде:

$$u|_{x=0} = 0, \quad 0 < x < 1, \quad 0 < y < \varphi(x), \quad (6)$$

$$\Delta v = 0, \quad 0 < x < 1, \quad \varphi(x) < y < 1, \quad (7)$$

$$u(x, 0) = 0, \quad 0 < x < 1, \quad (8)$$

$$u(x, \varphi(x)) = u_0,$$

$$v(x, \varphi(x)) = v_0, \quad 0 < x < 1, \quad (9)$$

$$v(x, 1) = P(x).$$

$$\left. \frac{\partial u}{\partial x} \right|_{x=0} = \left. \frac{\partial v}{\partial x} \right|_{x=0}, \quad \left. \frac{\partial u}{\partial x} \right|_{x=1} = \left. \frac{\partial v}{\partial x} \right|_{x=1} = 0, \quad (10)$$

$$\lambda_1 \left. \frac{\partial u}{\partial n} \right|_{y=\varphi(x)} = \lambda_2 \left. \frac{\partial v}{\partial n} \right|_{y=\varphi(x)}, \quad 0 < x < 1, \quad (11)$$

где оператор Лапласа,



## 2. Метод решения

Для решения задачи (6)-(11) будем использовать комбинацию разностного метода и метода Галеркина с полиномиальными базисными функциями. Итан, решение системы (6)-(11) будем искать в виде параболы по направлению оси Y.

$$U(x, y) \approx A_0(x) + A_1(x) * y + A_2(x) * y^2, \quad (12)$$

$$V(x, y) \approx B_0(x) + B_1(x) * y + B_2(x) * y^2. \quad (13)$$

Ясно, что такого рода разложение будет более точным, если ширина слоя небольшая. Требуя выполнения граничных условий (8), (9) в представлении (12), (13), легко исключить четыре функции:

$$A_0(x) = 0, \quad (14)$$

$$A_1(x) = \frac{10}{\varphi(x)} A_2(x) * \varphi(x), \quad (15)$$

$$B_0(x) = \frac{10 * [1 - \varphi(x) * P(x)]}{1 - \varphi(x)} + B_2(x) * \varphi(x) * P(x) \quad (16)$$

$$B_1(x) = \frac{P(x) - 10}{L - \varphi(x)} B_2 * (1 + \varphi(x)). \quad (17)$$

Систему для определения оставшихся неизвестных можно получить, если потребовать выполнения уравнений (6), (7) и граничных условий (10) в среднем по ширине слоя. После вычисления производных для  $U(x, y)$  и  $V(x, y)$ , подставив их в (6), (7) и интегрируя по вертикальному направлению, будем иметь:

$$A_2''(x) \varphi^2(x) + 6A_2'(x) \varphi(x) \varphi'(x) - 3A_2(x) (4 \varphi(x) \varphi''(x) - 3 \frac{10}{\varphi^2(x)} (2\varphi^2(x) - \varphi(x) \varphi''(x))) = 0. \quad (18)$$

$$\begin{aligned}
 & B_2^{*1}(x)(1-\varphi(x))^2 - 6B_2'(x)(1-\varphi(x))\varphi'(x) - 3B_2(x) * \\
 & * (4 + (1-\varphi(x))\varphi''(x)) - 3\varphi''(x) - \frac{6*\varphi'(x)P'(x)}{1-\varphi(x)} + \\
 & \frac{3*(U_0 - P(x))'}{(1-\varphi(x))^2} - (2*\varphi'^2(x) + \varphi''(x)*(1-\varphi(x))). \quad (19)
 \end{aligned}$$

$$A_2'(0) - A_2'(L) - B_2'(0) - B_2'(L) = 0. \quad (20)$$

Для нахождения функции  $\varphi(x)$  необходимо использовать также условие сопряжения (11), которое после преобразования принимает вид:

$$\begin{aligned}
 & \lambda_1 \left[ \left( \frac{U_0}{\varphi(x)} \varphi'(x) + A_2(x)\varphi(x)\varphi'(x) \right) \varphi'(x) + \frac{U_0}{\varphi(x)} + A_2(x)\varphi(x) \right] - \\
 & - \lambda_2 \left[ \left( (1*B_2'(x)\varphi(x) + B_2(x)\varphi(x)\varphi'(x) - \frac{P(x)\varphi'(x) - U_0\varphi'(x)}{1-\varphi(x)}) * \right. \right. \\
 & \left. \left. * \varphi'(x) + B_2(x)(\varphi(x) - 1) + \frac{P(x) - U_0}{1-\varphi(x)} \right) \right]. \quad (21)
 \end{aligned}$$

Полученная задача для  $A_2, B_2, \varphi$  решается разностным методом на сетке  $\omega_h = \{h, 1 \leq i \leq N-1, h = 1/N\}$ ; для аппроксимации производных в (18), (19) и (21) используются центральные разности. Аппроксимацию условий (20) получим, исходя из разностной аппроксимации условия (10):

$$\left. \frac{\partial u}{\partial x} \right|_{x=0} = \frac{u(h, y) - u(0, y)}{h} + \frac{1}{2} h \left. \frac{\partial^2 u}{\partial x^2} \right|_{x=0} + O(h^2). \quad (22)$$

Подставляя вместо  $u(x, y)$  представление (12) и



интегрируя (22) в пределах от 0 до  $\varphi(0)$ , будем иметь:

$$\frac{U_0}{2H} (\varphi(H) - \varphi(0)) - \frac{1}{6H} (A_2(H)\varphi^3(H) - A_2(0)\varphi^3(0)) + H A_2(0)\varphi(0) = 0, \quad (23)$$

Аналогично получаются остальные формулы для граничных условий:

$$\frac{1}{H} \left[ \frac{U_0 + P(H)}{2} (L - \varphi(H)) - \frac{U_0 + P(0)}{2} (L - \varphi(0)) - \frac{1}{6} B_2(H) (L - \varphi(H))^3 + \frac{1}{6} B_2(0) (L - \varphi(0))^3 \right] + H B_2(0) (L - \varphi(0)) = 0, \quad (24)$$

$$\frac{U_0}{2H} (\varphi(1) - \varphi(1-H)) - \frac{1}{6H} (A_2(1)\varphi^3(1) - A_2(1-H)\varphi^3(1-H)) - H A_2(1) A_2(1) = 0, \quad (25)$$

$$\frac{1}{H} \left[ \frac{U_0 + P(1)}{2} (L - \varphi(1)) - \frac{1}{6} B_2(1) (L - \varphi(1))^3 - \frac{U_0 + P(1-H)}{2} (L - \varphi(1-H)) + \frac{1}{6} B_2(1-H) (L - \varphi(1-H))^3 \right] + H B_2(1) (L - \varphi(1)) = 0. \quad (26)$$

В результате получается нелинейная разностная задача, так как  $\varphi(H)$ ,  $1, 2, \dots, N$  также являются неизвестными. Для решения разностной задачи использовался следующий метод.

1. При заданном  $\varphi^k$  определяется  $A_2^{k+1}$ , решив методом прогонки разностные уравнения, соответствующие уравнению (18), и используя граничные условия (23), (25).

2. С тем же  $\varphi^k$  решаются сеточные уравнения, соответствующие (19), граничные условия (24) и (26). Отметим, что здесь также можно воспользоваться методом прогонки.

3. Вычисляются  $\varphi^{k+1}$  во всех точках  $u_n$

$$\varphi^*(1H) = \varphi^k(1H) + D_1 \sin^k(1H), \quad 0 \leq 1 \leq N,$$

$$\varphi^{k+1}(1H) = \omega \varphi^*(1H) + \varphi^k(1H) * (1 - \omega),$$

где

$D_1$  - невязка в разностном аналоге условия сопряжения (21),  
 $\omega$  - итерационный параметр,

$N_2^k$  - косинус угла между нормалью и осью  $Y$  в соответствующей точке линии  $v = \varphi^k(x)$ ,

$\omega$  - параметр релаксации.

Итерации продолжаются до тех пор, пока не станет

$$\max_l |\varphi^{k+1}(1H) - \varphi^k(1H)| < \epsilon. \quad (27)$$

### 3. Результаты расчетов

В качестве теста берется решение уравнения Лапласа в прямоугольнике

$$U(x, y) = (e^{0.25xy} - e^{-0.25xy}) \cos(0.25\pi x). \quad (28)$$

Как видно, функция (28) не полностью удовлетворяет граничным условиям (10), так как производная по  $X$  на правой границе прямоугольника не равна нулю. Но это не мешает нам использовать эту функцию в качестве граничной на верхней границе.

Итак, при  $l=0.25$ ,  $\lambda_1 = \lambda_2 = 1$ ,  $\alpha_0 = 0.1$  функция  $v = \varphi(x)$  фактически должна дать изолинию решения краевой задачи для уравнения Лапласа. В таблице 1 даны значения названной функции  $\varphi(x)$  и  $U(x, \varphi(x))$ .



Координаты изолинии  $u_0 = 0.1$ 

$x_1$	$\varphi(x_1)$	$U(x_1, \varphi(x_1))$
0.0	0.0637	0.1001
0.1	0.0639	0.1001
0.2	0.0645	0.1001
0.3	0.0655	0.1001
0.4	0.0669	0.1001
0.5	0.0689	0.1006
0.6	0.0714	0.1000
0.7	0.0742	0.0999
0.8	0.0783	0.0995
0.9	0.0817	0.0977
1.0	0.0817	0.0908

Как видно из третьего столбца таблицы, несовпадение с  $u_0$  наблюдается в окрестности правой границы, где у функции  $U(x, y)$  производная по  $x$  не равна нулю. Для получения этих результатов использовалась 21 сеточная точка. Отличие от результатов, полученных при 41 точке, не превосходит 1%.

Интересной является зависимость количества итераций от величины релаксационного параметра  $\omega$ . Если обычно эта величина находится между нулем и двойкой, то в данном случае экспериментально найдено оптимальное значение  $\omega$  может быть и больше 3. Так, при  $P(x) = 0.5 \cos(\pi x) + 1$ ,  $M=1$ ,  $M^2=2$ ,  $u_0 = 0.1$ ,  $\varepsilon = 10^{-5}$ , если не пользоваться релаксацией ( $\omega=1$ ), то необходимо 99 итераций. С  $\omega = 1.9$  число итераций 59, а при  $\omega = 3.2$  число итераций 38. Этот факт следовало бы более тщательно изучить.

Если при фиксированных граничных условиях и конкретном  $u_0$  менять параметры  $M, M^2$ , то характер расположения линии разрыва следующий. Увеличение  $M$  ведет к перемещению линии разрыва к верхней границе, а уменьшение  $M$  к перемещению к

противоположном направлении. Число итераций, как правило, в этом случае меньше, чем при разных  $\lambda$ . Так, с предыдущим  $P(x)$  и с  $M=4$ ,  $N=1$ ,  $\omega=3$  после 20 итераций получим  $\varphi(x)$ , как показано в таблице 2.

Таблица 2

Координаты линии разрыва

$x$	0.0	0.2	0.4	0.6	0.8	1.0
$\varphi$	0.1494	0.1549	0.1704	0.1951	0.2220	0.2348

Проведенные расчеты показали, что метод работает достаточно хорошо, если условия задачи гарантируют размещение линии разрыва таким образом, чтобы образовались два слоя переменной толщины.

## Список литературы

1. Слетчер К. Численные методы на основе метода Галеркина. — М., 1988.
2. Villardsen J., Michelsen M.L. Solution of Differential Equation Models by Polynomial Approximation. Englewood Cliffs, N. J.: Prentice Hall (1978).
3. Вабищевич П. Н. Численные методы решения задач со свободной границей. — М., 1987.
4. Quarteroni A., Sacchi L.C. Iteration by Subdomains in Numerical Fluid Dynamics // Proc. 3rd Germ.-Ital. Symp. "Appl. Math. Ind. and Technol.", Siena, June 18-22, 1988. Stuttgart, 1989, p. 54-70.



О ПРИМЕНЕНИИ МЕТОДА ГАЛЕРКИНА ДЛЯ РЕШЕНИЯ ОДНОЙ НЕЛИНЕЙНОЙ ЗАДАЧИ. Земитис С., Риекстиня И. // Математическое моделирование. Прикладные задачи математической физики. - Рига: ЛУ, 1993. - Вып. 3.

В работе рассматривается эллиптическая задача с кусочно постоянными коэффициентами, когда место разрыва коэффициента зависит от решения задачи. Численный метод построен на основе комбинации методов Галеркина и конечных разностей. Приводятся результаты расчетов.

THE APPLICATION OF GALERKIN METHOD FOR SOLUTION OF ONE NONLINEAR PROBLEM. Zemitis A., Riekstina // The Mathematical Modelling. Applied problems of mathematical physics. - Riga: LU, 1993. - Vol. 3.

The numerical solution of nonlinear elliptical problem with piecewise constants coefficients is given. The interruption line is dependent of solution. The numerical method is derived of the basis Galerkin and finite difference methods. The numerical examples are discussed.

PAR GALERKINA METODES PIĻĪĒTĪJUMU KĀDAS NEĻĒNĀRAS PROBLEMAS RĪŠINĀŠANAI. Zemītis S., Riekstina I. // Matemātiskā modelēšana. Matemātiskās fizikas lietotās problēmas. Rīga: LU, 1993. - 3. sēj.

Darbā aplūkots eliptiska robežproblēma ar nepārīgu konstantu koeficientiem, kad pārtraukuma līnija atkarīga no atrisinājuma. Skaitliskā metode izveidota uz Galerkina un galīgo diferencu metožu bāzes. Lūk analizēti aprēķinu rezultāti.

A. Zemītis

Latvijas Universitāte, Rīga

DAŽI SKAITLISKI EKSPERIMENTI AR  
NELINEĀRU ELASTĪGU MATERIĀLU

Darbā /1/ ar polinomiālas aproksimācijas palīdzību viena no koordinātu virzieniem tika uzkonstruēta "ātra" risināšanas metode Singulīnai problēmai, kas savukārt ļāva apskatīt arī inverso problēmu. Šajā darbā tiek turpināts modelē cieta šķēršļa un elastīga materiāla kontakts, kad materiāls pakļaujas nelineāram materiāla likumam.

Klasiskais Huka likums /2/, kas ir pamatā lineārajai elastības teorijai, garantē lineāru atbilstību starp deformējošo spēku un pārvietojumiem. Jaču daudzos gadījumos šī atbilstība ir izteikti nelineāra, piemēram, porolonam /3/. Šajā sakarībā radās nepieciešamība ar pēc iespējas vienkāršiem līdzekļiem atklāt galvenās kāda nelineāra materiāla likuma īpašības. Tas ir, noskaidrot, kādu iespaidu uz šķēršļa problēmas atrisinājumu atstāj ģeometriskās nelinearitātes ieviešana, kādu fizikālā nelinearitāte, salīdzinot ar lineāro gadījumu.

1. Iļdevuma nostādne.

Ir zināms, ka vispārīgā gadījumā homogēnam, izotropam materiālam sprieguma tenzors izsakās /4/:

$$\sigma = C_1(I_1, I_2, I_3)E + C_2(I_1, I_2, I_3)0 + C_3(I_1, I_2, I_3)0^2 \quad (1)$$



kur  $Q$ -deformācijas tenzors, kura komponentes galīgu deformāciju gadījumā atrodamas,

$$q_{ij} = \frac{1}{2} \left[ \frac{\partial u_j}{\partial x_j} + \frac{\partial u_j}{\partial x_j} + \frac{\partial u_i}{\partial x_j} \frac{\partial u_k}{\partial x_j} \right], \quad i, j, k=1, 2, \quad (2)$$

$$I_1 = q_{ij}$$

$$I_2 = q_{ij} q_{ij}$$

$$I_3 = q_{ij} q_{ik} q_{jk} \quad (\text{tātad } I_1, I_2, I_3 \text{ - trīs tenzora } U \text{ invarianti}).$$

$E$ -vienības tenzors,  $U_i, i=1, 2$  - pārvietojumi  $X_i$  virzienā.

Sīti un arī turpmāk pēc atkārtotiem vienādiem indeksiem jāsumē, ja nav tieši apgalvots pretējais.

Atgādināsim, ka tā saucamajam San-Venana-Kirchofa materiālam sakarība (1) ir uzrakstāma formā:

$$\sigma = \lambda I_1 \epsilon + 2\mu \epsilon, \quad (3)$$

kur  $\lambda, \mu$ -lambē koeficienti. Ja  $q_{ij}$  izteiksmē (2), neieiet kvadrātiskie locekļi, tad formula (3) atbilst lineārajai elastības teorijai. Ja tiek pilnībā izmantota formula (2), tad šai gadījumā runā par ģeometrisko nelinearitāti. Kāds no formulām (3) vispārinājumiem varētu būt:

$$\sigma = \lambda I_1 \epsilon + 2\mu \epsilon + \gamma \epsilon^2, \quad (4)$$

kur  $\gamma$ -vai nu konstante vai invariantu funkcija.

Pieņemim, ka tenzors  $U^2$  var neievērot pārvietojumu atvasinājumu pakāpes, kas ir augstākas par 2. Tad gadījumā:

$$(U^2)_{11} = \left( \frac{\partial u_1}{\partial x_1} \right)^2 + 0.25 \left( \frac{\partial u_1}{\partial x_1} + \frac{\partial u_2}{\partial x_1} \right)^2,$$

$$(u^2)_{12} = (u^2)_{21} = 0.5 \left( \frac{\partial u_1}{\partial x_1} + \frac{\partial u_2}{\partial x_2} \right) \left( \frac{\partial u_1}{\partial x_2} + \frac{\partial u_2}{\partial x_1} \right),$$

$$(u^2)_{22} = 0.25 \left( \frac{\partial u_2}{\partial x_1} + \frac{\partial u_1}{\partial x_2} \right)^2 + \left( \frac{\partial u_2}{\partial x_2} \right)^2.$$

Konstanta  $\gamma$  gadījumā līdzsvara vienādojums, kas atbilst sprieguma tenzoram (4), varam uzrakstīt šekojoši:

$$\begin{aligned} & \lambda \frac{\partial}{\partial x_1} \left( \frac{\partial u_1}{\partial x_1} + \frac{\partial u_2}{\partial x_2} + 0.5 \left( \left( \frac{\partial u_1}{\partial x_1} \right)^2 + \left( \frac{\partial u_2}{\partial x_1} \right)^2 + \left( \frac{\partial u_1}{\partial x_2} \right)^2 + \left( \frac{\partial u_2}{\partial x_2} \right)^2 \right) \right) + 2\mu \frac{\partial}{\partial x_1} \left( \frac{\partial u_1}{\partial x_1} + \frac{1}{2} \left( \left( \frac{\partial u_1}{\partial x_1} \right)^2 + \left( \frac{\partial u_2}{\partial x_1} \right)^2 \right) \right) + 2\mu \frac{\partial}{\partial x_2} \left( 0.5 \left( \frac{\partial u_1}{\partial x_1} + \frac{\partial u_2}{\partial x_2} \right) + \frac{1}{2} \left( \frac{\partial u_1}{\partial x_2} \frac{\partial u_1}{\partial x_1} + \frac{\partial u_2}{\partial x_1} \frac{\partial u_2}{\partial x_2} \right) \right) + \\ & \gamma \frac{\partial}{\partial x_1} \left( \left( \frac{\partial u_1}{\partial x_1} \right)^2 + 0.25 \left( \frac{\partial u_1}{\partial x_2} + \frac{\partial u_2}{\partial x_1} \right)^2 \right) + \gamma \frac{\partial}{\partial x_2} \left( 0.5 \left( \frac{\partial u_1}{\partial x_1} + \frac{\partial u_2}{\partial x_2} \right) \left( \frac{\partial u_1}{\partial x_2} + \frac{\partial u_2}{\partial x_1} \right) \right) = 0. \end{aligned} \quad (5)$$

$$\begin{aligned} & \lambda \frac{\partial}{\partial x_2} \left( \frac{\partial u_1}{\partial x_1} + \frac{\partial u_2}{\partial x_2} + 0.5 \left( \left( \frac{\partial u_1}{\partial x_1} \right)^2 + \left( \frac{\partial u_2}{\partial x_1} \right)^2 + \left( \frac{\partial u_1}{\partial x_2} \right)^2 + \left( \frac{\partial u_2}{\partial x_2} \right)^2 \right) \right) + 2\mu \frac{\partial}{\partial x_1} \left( 0.5 \left( \frac{\partial u_2}{\partial x_2} + \frac{\partial u_1}{\partial x_2} \right) + 0.5 \left( \frac{\partial u_1}{\partial x_1} \frac{\partial u_1}{\partial x_2} + \frac{\partial u_2}{\partial x_1} \frac{\partial u_2}{\partial x_2} \right) \right) + 2\mu \frac{\partial}{\partial x_2} \left( \frac{\partial u_2}{\partial x_2} + 0.5 \left( \left( \frac{\partial u_1}{\partial x_2} \right)^2 + \left( \frac{\partial u_2}{\partial x_2} \right)^2 \right) \right) + \\ & \gamma \frac{\partial}{\partial x_1} \left( 0.5 \left( \frac{\partial u_1}{\partial x_1} + \frac{\partial u_2}{\partial x_2} \right) \left( \frac{\partial u_1}{\partial x_2} + \frac{\partial u_2}{\partial x_1} \right) \right) + \gamma \frac{\partial}{\partial x_2} \left( 0.25 \left( \frac{\partial u_2}{\partial x_1} + \frac{\partial u_1}{\partial x_2} \right)^2 + \left( \frac{\partial u_2}{\partial x_2} \right)^2 \right) = 0. \end{aligned} \quad (6)$$

Tā ir nelineāra diferencālvienādojumu sistēma  $u_1, u_2$  noteiktāmai līdzīgai kā darbā [1] arī šeit var tikt noteikta šķēršļa problēma, tikai tradicionālo lēm



vienādojumu vietā jāņem vienādojumi (5), (6).

Iztad meklēsim funkcijas  $U_1, U_2$ , kas apgabala  $G = \{(X_1, X_2) | 0 < X_1 < 1, -\delta < X_2 < \delta\}$  apmierina vienādojumus (5), (6), un bez tam izpildīs nosacījumi:

$$U_1(0, X_2) = U_2(0, X_2) = U_1(1, X_2) = U_2(1, X_2) = 0, X_2 \in [-\delta, \delta] \quad (7)$$

$$U_1(X_1, -\delta) = U_2(X_1, -\delta) = 0, X_1 \in [0, 1] \quad (8)$$

$$\delta U_2(X_1, \delta) \leq \varphi(X_1) U_1(X_1, \delta), X_1 \in [0, 1] \quad (9)$$

$$\sigma_t|_{S_1} = 0 \quad (10)$$

$$\sigma_n|_{S_1} \geq 0 \quad (11)$$

kur  $X_2 = \varphi(X_1)$  - uzdota eksplīcīta funkcija,  $S_1$  - taisnstūra  $G$  robeža  $X_2 = \delta$  deformētiā stāvoklī,  $\sigma_n|_{S_1} (\sigma_t|_{S_1})$  - normālais (tangenciālais) spriegums uz robežas  $S_1$  deformētiā stāvoklī. Jāatzīmē, ka autoram nav zināmi uzdevuma (5-11) korektības pētījumi.

## 2. Risināšanas metode un aprēķinu rezultāti.

Īs kā darbā /1/ lietotā metode sevi ļoti parādīja gan no ātrdarbības, gan arī no precizitātes viedokļa, tad tika mēģināts to lietot arī šoreiz. Ja lineāro lamē vienādojumu gadījumā, meklējot atrisinājumu kā kubiskas funkcijas  $X_2$  virzienā ( $\delta \ll 1$ ), varēja iegūt parasto diferenciālvienādojumu sistēmu ar labu struktūru, tad šeit radot nelineāru sistēmu, kuras struktūrai īpašas priekšrocības nav. Ņemot vērā formulu lielo apjomu, tās šeit netiek parādītas. Iedomā bētišķi, ka nelineāro sistēmu ir iespējams linearizēt, tā, ka linearizētajai sistēmai saglabājas iepriekšējā lineārā varianta struktūra, un bez tam iterāciju metode konverģē noteiktās  $\gamma$  vērtībās. Tādā vienā iterācijā, kas jāveic nākamā ar vienādojumu (5), (6) nelinearitāti, veicama ar četrām faktorizācijām  $X_1$  virzienā

(jāatceras, ka vēl ir ārējās ierobeģijas, kas saistītas ar kontaktzonas noteikšanu).

Rezultāti tiks analizēti noteiktam šķērslim, kad funkcija  $\varphi$  ir uzrakstīta formā :

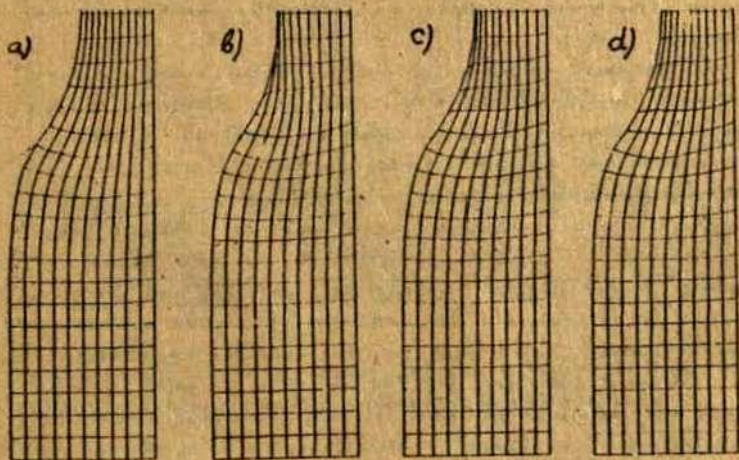
$$\varphi(X_1) = \delta - D + \sqrt{9\delta^2 - (X_1 - 0.5)^2},$$

kur

$2\delta$  - apašabala  $G$  biezums,

$D$  - parametrs, kas raksturo šķēršļa iegroģimšanas dziļumu.

Konkrētie aprēģini tika veikti pie  $\delta = 0.08$ ,  $\lambda = 1$ ,  $\mu = 1.36$ .



1.ģim. Taisnstūra izskats pēc deformācijas:

a) lineģrģ teorģja, b)  $\gamma = 0$ , c)  $\gamma = 0.5$ , d)  $\gamma = 2$ .

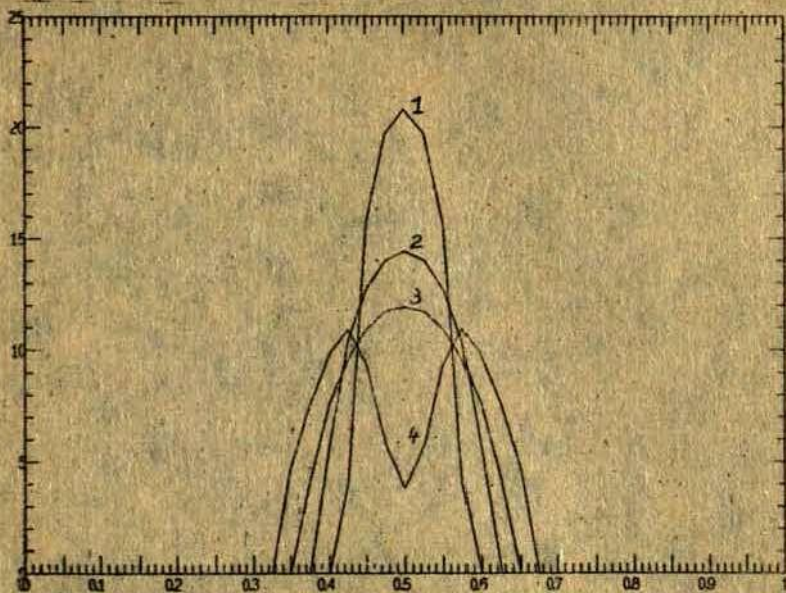
1. zīmģjumģ redzams, kģ izskats taisnstģris pēc deformģcijas (simetrijas dģģ attģlota tikai puse no apašabala) atkarģba no  $\gamma$ , v.ģ materiģla lineģrs, ģeometrģiski nelineģrs ( $\gamma = 0$ ) vai



nelineāra ( $\gamma \neq 0$ ). Šai piemēram D-8, kas atbilst 50% deformācijai centrālajā daļā, kā redzams (a), neskatoties uz samērā lielo deformāciju, lineāra problēma var tikt atrisināta un rezultāti ir ticami. Pievienojot šim pašam variantam ģeometrisko nelinearitāti (b), var konstatēt savdabīgu efektu, kas neatbilst fizikālajai realitātei - centrālajā daļā elastīgā materiāla daļiņas apvēršas. Tas ir, augšējo slāņu savstarpējais novietojums pēc deformācijas var mainīties. No pārējiem variantiem c), d) var izsecināt, ka  $U^2$  var spēlēt regularizatora lomu. Parametram  $\gamma$  dilstot negatīvajā apgabālā, rezultāti pamazām kļūst fizikāli jēdzīgi. Jāatzīmē, ka variants  $\gamma = -2$  ir samērā tuvs lineārajam gadījumam (spriežama sadalījumu atšķirība kontakta zonā nepārsniedz 2-3%).

2. Zīmējumā redzams spriediena sadalījuma raksturs ģeometriskās nelinearitātes gadījumā pie dažādiem šķēršļa iegrūšanas dziļumiem. Šādā gadījumā nefizikālajai situācijai atbilst spriežama kritums šķēršļa centrālajā daļā, kur ir lielākas deformācijas.

Skaidrs, ka šo novērojumu secinājumus var uzskatīt tikai par hipotēzēm, jo aprēķinu rezultātiem no paša sākuma ir ierobežota precizitāte. Salīdzinot šai gadījumā iegūtos rezultātus ar citiem, kas būtu rēķināti pēc citas metodikas, autoram neizdevās. Xatnā ziņā var secināt, ka kvadrātiskais lokālais deformācijas tenzors (4) un  $U^2$  spriežama tenzora izteiksmē (1) var ļoti būtiski ietekmēt aprēķinu rezultātus. 13. piemēram, veikta jomā skaitliskā jomā eksperimentos rezultātošā spēka atšķirība starp lineāro un nelineāro gadījumu varēja sasniegt 60 - 70%, kad centrālajā šķēršļa daļā deformācija ir 15% no nedeformētās izmēra vertikālajā virzienā. Dabīgi, ka pilnīgākai nelinearitāšu izvērtēšanai



2. att. Spiediena sadalījums ( $Z$ ) kontakta zonā atkarībā no šķērslā ieviršanas dziļuma ( $x$ ): a) 12,5, b) 25, c) 37,5, d) 56,25.

nepieciešams veikt aprēķinus arī pēc citām metodikām, kā arī izdarīt salīdzinājumus ar eksperimentu rezultātiem.

#### LITERĀTURAS SARAKSTS

1. А. Земитис О численном решении обратной задачи Сильборина // Математика: Научные труды. - Рига: ЛУ, 1991. - С. 103-114.
2. A. Sommerfeld, Mechanik der deformierbaren Medien. Harri Deutsch, Thun, Frankfurt/M., 1978.
3. G. Wiener. Zur werkstofflichen Beurteilung von PUR Schaumstoffpolstern für Automobilverfuchungsmittel // Automobiltechnische Zeitschrift 93 (1981) 3.



A. M. Staat, J. Ballmann, Zur Problematik tensorieller  
Vergleichen von einachsiger nichtlinearer  
Materialgesetze // Z. angew. Math. Mech. 69(1989) 2, P. 73-81.

DAŽI SKAITLISKI EKSPERIMENTI AR NEĻINEĀRU ELASTĪGU MATERIĀLU.  
A. Zemītis // Matemātiskā modelēšana. Matemātiskā fizikas  
lietišķās problēmas. - Rīga: LU, 1993. 3. sēj.

Darbā analizēti skaitlisko eksperimentu rezultāti, kas  
rādīja, lietojot neļineāru elastīgu materiālu (materiāla  
likums satur Koči Greina tenzora kvadrātu). Aprādīti rādā, ka  
kvadrātiskajam loceklim var būt regulatora loma.

НЕКОТОРЫЕ ЧИСЛЕННЫЕ ЭКСПЕРИМЕНТЫ С НЕЛИНЕЙНЫМ ЭЛАСТИЧНЫМ  
МАТЕРИАЛОМ. Земитис А. // Математическое моделирование.  
Прикладные задачи математической физики. - Рига: ЛУ, 1993.  
Вып. 3.  
УДК 518.63

В работе анализируются результаты численных  
экспериментов, когда закон материала содержит квадрат  
тензора Коши-Грина. Расчеты показывают, что квадратичный член  
может играть роль регулятора.

SOME NUMERICAL EXPERIMENTS WITH NONLINEAR ELASTIC MATERIAL.  
Zemītis A. // The Mathematical Simulation, Applied Problems of  
Mathematical Physics. Riga: LU, 1993. Vol. 3.  
AMS Subject classification 65N, 78L.

In the paper is analyzed results of numerical  
experiments with nonlinear elastic material (the law of  
material holds the second power of Kocho Green tensor). The  
computation results show that quadratic term can be a  
regularizer of the problem.